

**INSTITUTO DE BIOCIÊNCIAS
PROGRAMA DE PÓS-GRADUAÇÃO EM BIOLOGIA ANIMAL**

DIEGO JANISCH ALVARES

**PADRÕES DE DISTRIBUIÇÃO, BIOGEOGRAFIA E CONSERVAÇÃO DE ANFÍBIOS E
RÉPTEIS DA ECORREGIÃO SAVANA URUGUAIA.**

PORTEO ALEGRE
2019

DIEGO JANISCH ALVARES

**PADRÕES DE DISTRIBUIÇÃO, BIOGEOGRAFIA E CONSERVAÇÃO DE ANFÍBIOS E
RÉPTEIS DA ECORREGIÃO SAVANA URUGUAIA.**

Tese apresentada ao Programa de Pós-Graduação
em Biologia Animal, Instituto de Biociências da
Universidade Federal do Rio Grande do Sul, como
requisito parcial à obtenção do título de Doutor em
Biologia Animal.

Área de concentração: Biologia Comparada

Orientador(a): Prof. Dr. Márcio Borges-Martins

PORTE ALEGRE
2019

DIEGO JANISCH ALVARES

**PADRÕES DE DISTRIBUIÇÃO, BIOGEOGRAFIA E CONSERVAÇÃO DE ANFÍBIOS E
RÉPTEIS DA ECORREGIÃO SAVANA URUGUAIA.**

Aprovada em ____ de _____ de _____.

BANCA EXAMINADORA

Dr/a. Avaliador/a 1

Dr/a. Avaliador/a 2

Dr/a. Avaliador/a 3

Agradecimentos

Essa tarefa talvez esteja entre as mais agradáveis e mais complicadas ao mesmo tempo. Aqui os principais passos que nos trouxeram até aqui são recordados e uma boa dose de saudosismo invade o peito. Meu receio é não ser justo com todos que de alguma forma contribuíram nessa trajetória.

Em primeiro lugar agradeço minha família, meu maior suporte para que eu chegassem aqui. Toda a paciência e compreensão de vocês foi essencial para que eu conseguisse me dedicar aquilo que acredito que pode ajudar a criar um mundo melhor. A Carlinha que sempre segurou essa e outras broncas comigo, essa conquista é tão tua quanto minha.

A Márcio Borges-Martins, meu orientador, sou eternamente grato pela primeira oportunidade na herpetologia, por enxergar potencial em mim e ser peça fundamental para meu crescimento. Agradeço por toda amizade, auxílio e apoio ao longo de todo esse tempo.

A Augusto Ferrari pela amizade desenvolvida nesses quatro anos, pelas inúmeras discussões enriquecedoras e principalmente incentivos pode ter certeza que tens parte muito importante no meu crescimento como cientista. A Caroline Zank pela paciência, aprendizado e parceria ao longo da minha trajetória, muito obrigado prima.

Aos colegas do laboratório de herpetologia: Foram 12 anos de convivência com muitos colegas que ajudaram a moldar minha breve carreira científica. Talvez precisasse colocar como material suplementar uma lista com todos vocês e provavelmente esqueceria alguns. Muito obrigado a todos vocês.

Aos muitos colegas “interdisciplinares” que tive a oportunidade de colaborar e muito acrescentaram a minha construção como cientista. Principalmente o Labsmar nas figuras da Karina Bohrer do Amaral e Elisa Ilha e o NERF na figura da Larissa Oliveira. Nossas colaborações de vida transcendem nossas colaborações científicas, muito obrigado por todo apoio, todas conversas e a amizade verdadeira.

Ao CNPq, pela concessão da bolsa de doutorado que custeou parte deste estudo.

A todos que ajudaram de alguma forma na realização deste estudo.

Dedico esse trabalho ao grande amigo Rafael Bortolin. Nego, tua ida precoce desse mundo só me faz ter gratidão por poder ter convivido contigo. Onde quer que esteja, garanto que esse lugar agora é melhor. A saudade é grande, mas o orgulho é maior.

“THERE IS NO PART OF NATURAL HISTORY MORE INTERESTING OR INSTRUCTIVE,
THEN THE STUDY OF THE GEOGRAPHICAL DISTRIBUTION OF ANIMALS.”

ALFRED RUSSELL WALLACE (1823-1913)

Sumário

| | |
|---|-----|
| AGRADECIMENTOS | 4 |
| RESUMO..... | 8 |
| ABSTRACT | 9 |
| APRESENTAÇÃO..... | 10 |
| INTRODUÇÃO GERAL..... | 11 |
| CAPÍTULO 1..... | 17 |
| SHARED GEOGRAPHIC DISTRIBUTION PATTERNS OF AMPHIBIANS AND REPTILES FROM THE URUGUAYAN SAVANNA ECOREGION | |
| CAPÍTULO 2..... | 54 |
| O QUE OS PADRÕES ESPACIAIS ESCONDEM? UMA VISÃO DOS CORÓTIPOS EM BIOGEOGRAFIA BASEADA EM COMPARAÇÕES DE NICHO ECOLÓGICO. | |
| CAPÍTULO 3..... | 76 |
| ÁREAS PRIORITÁRIAS PARA A CONSERVAÇÃO DE ANFÍBIOS E RÉPTEIS NO PAMPA BRASILEIRO. | |
| CONCLUSÕES | 106 |
| REFERÊNCIAS BIBLIOGRÁFICAS..... | 107 |
| APÊNDICES..... | 110 |

Resumo

A ecorregião Savana Uruguaia está posicionada em uma região de transição climática e biogeográfica. Sua vegetação é composta predominantemente por gramíneas, que apesar dessa aparente homogeneidade paisagística abriga uma das formações campestres mais ricas do mundo. Ao mesmo tempo a Savana Uruguaia foi caracterizada como Criticamente Ameaçada devido ao seu precário sistema de unidades de conservação, fragmentação e altas taxas de conversão de habitats. A observação de padrões de distribuição são a base para o reconhecimento de unidades biogeográficas e são interpretadas como resultado da existência de eventos em comum que alteram de modo similar a distribuição de diferentes táxons. Portanto a distribuição geográfica dos organismos se torna ferramenta chave para resolução de questões de biogeografia e consequentemente de conservação. Anfíbios e Répteis representam pelo menos 25% da diversidade de tetrápodes, e apesar de tradicionalmente estudados juntos, não fazem parte dos principais esquemas de regionalização biogeográfica e de priorização espacial. Neste sentido, nosso estudo buscou reconhecer e preencher algumas das lacunas do conhecimento sobre a distribuição geográfica de anfíbios e répteis, da ecorregião Savana Uruguaia. A tese está composta por três artigos. O primeiro utiliza a distribuição geográfica de anfíbios e répteis para identificar e descrever padrões de distribuição geográfica compartilhada da Savana Uruguaia fornecendo subsídios para entender a relação da Savana Uruguaia com outras ecorregiões adjacentes. O segundo artigo utiliza ferramentas de quantificação de nicho ecológico com o objetivo de refinar essas áreas e permitir *insights* sobre processos que podem estar envolvidos na sua geração. O terceiro artigo utiliza ferramentas de modelagem de distribuição geográfica buscando identificar áreas prioritárias para conservação de anfíbios e répteis do bioma Pampa, analisando a efetividade de unidades de conservação e ranqueando diferentes sistemas ecológicos de acordo com as ameaças.

Abstract

The Uruguayan Savanna ecoregion is positioned in the climate and biogeographical transition zone. Besides its apparent homogeneity, nestling one of the most richness grasslands zone of the world. At the same time, Uruguayan Savanna was categorized as Critically Endangered based on this precarious protected area system associated with high conversion rates and fragmented natural remnants. The identification of geographic distribution shared patterns is the basis of biogeographical units' recognition and are interpreted as result of common events that shaped similarly different taxa geographic distribution. Therefore, the geographical distribution of organisms becomes a key tool for solving biogeography and consequently conservation issues. Amphibians and reptiles represent at least 25% of tetrapod diversity, and although traditionally studied together, are not part of the major biogeographic regionalization and spatial prioritization schemes. This thesis comprises three articles. The first one uses geographic distribution os amphibians and reptiles to identify and describe shared patterns inside Uruguayan Savanna providing support to understand their relationship with adjacent ecoregions. Second, apply ecological niche quantifying tools aiming to refine areas allowing insights about processes involved in generated patterns. Third, uses species distribution models and a spatial conservation prioritization framework to identify priority areas for amphibians and reptile's conservation inside Pampa biome analyzing conservation units effectiveness and ranking ecological systems according to their threats.

Apresentação

Essa tese é resultado de um trabalho desenvolvido como parte de esforços muito mais extensos do que o período protocolar de um doutorado. Desta forma, dezenas de estudantes de diversos níveis acadêmicos contribuíram na geração e aperfeiçoamento da base de dados que subsidiou este trabalho. O escopo mais amplo em que se encaixa essa tese busca descrever diversos padrões de diversidade de Anfíbios e Répteis, associadas a ecorregião Savana Uruguaia e do Sul da Mata Atlântica. O objetivo da geração de conhecimento básico e de qualidade é contribuir para medidas efetivas para a conservação da biodiversidade. Desta forma a Tese busca preencher lacunas no conhecimento de Anfíbios e Répteis em uma região com grande diversidade biológica e até bem pouco tempo negligenciada em relação a conservação da biodiversidade.

Sendo assim, essa tese está estruturada em três artigos, sendo que cada um representa um capítulo do trabalho. O primeiro artigo se intitula: “*Shared geographic distribution patterns of amphibians and reptiles from the Uruguayan Savanna ecoregion*”, utilizando métodos de busca de padrões espaciais procura compreender como os anfíbios e répteis estão distribuídos na Savana Uruguaia, fornecendo insights sobre a relação dessa região com outras regiões campestres/savanóides do sul da América do Sul. O segundo artigo é “*O que os padrões espaciais escondem? Uma visão dos corótipos em biogeografia baseada em comparações de nicho ecológico*”, demonstra como métodos espacialmente explícitos na busca de áreas podem estar agrupando espécies com diferentes graus de sobreposição de nicho. A maior vantagem dessas abordagens é a possibilidade de refinar áreas encontradas, fornecendo insights de processos biogeográficos atuando na geração desses padrões. Por fim, o terceiro artigo “*Áreas prioritárias para a conservação de anfíbios e répteis no Pampa brasileiro*” onde buscamos analisamos a distribuição geográficas de anfíbios e répteis do Pampa (*sensu* IBGE) com objetivo de compreender onde estão localizadas áreas mais importantes para conservação dos vertebrados ectotérmicos terrestres do bioma.

Introdução Geral

A América do Sul é um extenso continente com grande variação latitudinal (desde 12°N até 56°S), cortado por dois trópicos (equador e capricórnio) e costeado à oeste pela mais extensa cadeia montanhosa do mundo, a Cordilheira dos Andes. Essa posição permite em apenas uma massa continental uma grande variedade de climas, que são intimamente associados com a diversidade de formações vegetais. Essa variedade de habitats vai desde as mais diversas florestas tropicais do mundo (i.e. Amazônia e Mata Atlântica) até o deserto mais alto e seco conhecido (i.e. Atacama) até as planícies Sub-Antárticas da patagônia austral. Esse espectro de diversidade climática e geomorfológica torna o continente sul-americano detentor de cinco dos maiores ‘hotspots’ de diversidade do mundo (Myers et al. 2000). Em torno do paralelo 23º (Trópico de Capricórnio) ocorre a transição do clima tropical, na porção norte do continente, para um clima subtropical, coincidindo grosseiramente com o limite sul da distribuição de algumas formações tropicais abertas como o Cerrado com o limite norte dos Campos Sulinos (*sensu* Overbeck et al. 2010). Esta região inclui ainda, a porção sul da Mata Atlântica *lato sensu* composta por diversos tipos florestais (e.g. Floresta Ombrófila Mista, Floresta Ombrófila Densa, Floresta Estacional Decidual e Floresta Estacional Semidecidual) formando grande extensões de paisagens em mosaico com campos. Na altura do paralelo 30°S, existe uma nova conformação no mosaico floresta-campo, com o predomínio de formações campestres naturais (pertencentes ao Pampa), que se estendem pela metade sul do Rio Grande do Sul, Uruguai e nordeste da Argentina. Portanto em uma escala de Bioma (e ecorregião), formações de campo acabam classificadas ora como Pampa, ora como Mata Atlântica. Apesar de baseadas em princípios biogeográficos, tanto a classificação de biomas terrestres (IBGE, 2004) quanto as ecorregiões propostas por Olson et al. (2001) não são resultado de um método de regionalização explícita. Apesar disso a ecorregião Savana Uruguai historicamente vem sendo reconhecida como uma unidade biogeográfica distinta, por vezes chamada de distrito Uruguai como parte da Província Pampeana (Cabrera & Willink, 1973) ou como sub-região de Campos inserida nos *Pastizales del Rio de la Plata* (Soriano et al. 1992). Entretanto, diferentes esquemas de regionalização biogeográfica são conflitantes quando consideram a relação da Savana Uruguai com as demais áreas abertas da região neotropical (Cabrera & Willink, 1973; Morrone, 2017; Olson et al. 2001). Baseados na distribuição de organismos animais e vegetais, Cabrera & Willink (1973) propõem essa região como parte da província Pampeana e relacionado, portanto, a porção temperada do Pampa, ideia compartilhada por Morrone (2017). Entretanto, essas classificações diferem do proposto por Olson et al. (2001) que define a Savana Uruguai como pertencendo a um esquema que inclui formações

como o Cerrado e o Chaco, mas separados dos campos temperados que compreendem o Pampa Argentino.

As relações entre as áreas biogeográficas são resultado de regionalizações que agrupam áreas geográficas de forma hierárquica em relação a seus táxons endêmicos e compartilhados (Morrone 2017). Portanto as espécies, e consequentemente, sua distribuição geográfica são as unidades básicas na biogeografia comparada. Registrar a diversidade taxonômica e os padrões de distribuição de qualquer grupo de organismos é uma das atividades básicas, porém essenciais, no estudo da biodiversidade de qualquer região. Contudo, em regiões de grandes dimensões e com alta diversidade biológica, como as áreas tropicais e subtropicais do Brasil esta é uma tarefa demorada e dispendiosa (Mittermeier et al. 1997). A escassez de dados, influencia diretamente a descrição de padrões e processos gerando lacunas em todos os domínios da ecologia e da evolução. O conhecimento e a compreensão dessas lacunas ajudam a ciência a identificar questões pertinentes bem como direcionar pesquisas futuras (ver Hortal et al. 2015). Devido ao cunho multidisciplinar da biogeografia esses déficits afetam diretamente a acurácia dos dados disponíveis e necessários para as diferentes abordagens. Nossa incapacidade de descrever a diversidade biológica é identificado como déficit Linneano e se pode ser resumido como a discrepância entre o número de espécies formalmente descritas e as que existem atualmente (Lomolino 2004). Esse déficit reúne duas categorias distintas de desconhecimento de espécies: aquelas que ainda não foram amostradas e as depositadas em museus e não formalmente descritas (Hortal et al. 2015). As falhas no conhecimento sobre a distribuição geográfica das espécies são conhecidas como déficit Wallaceano. A maioria dessas distorções tem origem no viés de dados de distribuição geográfica das espécies, não sendo incomum mapas de distribuição geográfica se assemelhem a mapas que representem o esforço amostral (Hortal et al. 2007).

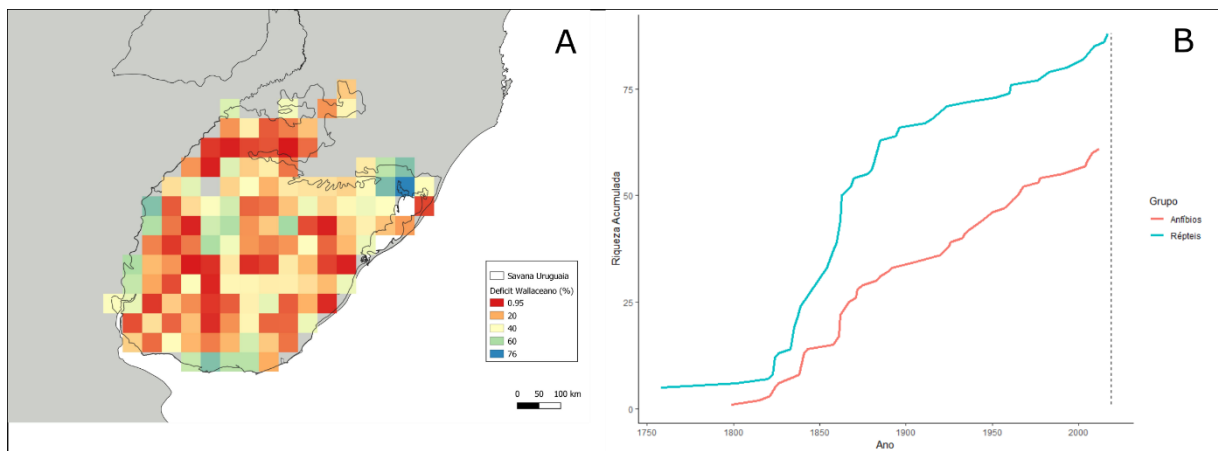


Figura 1: Representação gráfica dos dois déficits do conhecimento de anfíbios e répteis da Savana Uruguaia; A) Diferença entre a riqueza de espécies observada a partir de dados brutos de distribuição geográfica e a riqueza modelada a partir de modelos de distribuição geográfica. B) Curva de acumulação de espécies conhecidas com ocorrência na Savana Uruguaia.

No último diagnóstico sobre a biodiversidade brasileira realizado pelo Ministério do Meio Ambiente, o grau de coleta da fauna de anfíbios e répteis dos campos sulinos foi considerado ruim, ao passo que o grau de conhecimento foi considerado ruim para anfíbios, mas razoável para répteis (Sabino, 2006). Um dos principais motivos do conhecimento deficiente sobre a composição de espécies e, sobretudo, dos padrões de distribuição da herpetofauna no sul do Brasil é a existência de extensas falhas na amostragem. Tanto no Uruguai como no Rio Grande do Sul, a maior parte dos dados em coleções são oriundos de coletas ocasionais ou de terceiros (Carreira et al. 2012; Observação pessoal), e, portanto, apresentam claras tendências espaciais e taxonômicas (e.g. proximidade com centros urbanos e predomínio de serpentes peçonhentas de maior porte). O conhecimento sobre a composição e distribuição da fauna de anfíbios e répteis que ocorrem na porção subtropical da Argentina, do Brasil e no Uruguai, ainda que longe de completo, vêm sendo incrementado nos últimos anos. Isso pode ser evidenciado por publicações recentes de diversos estudos descritivos a nível regional (e.g. Giraudo 2001; Lema 1994). Recentemente foi realizado um esforço para compilar a informação sobre a fauna neotropical austral, onde padrões de distribuição de anfíbios (Garcia et al. 2007) e répteis (Bérnails et al. 2007) foram descritos com base em unidades biogeográficas previamente reconhecidas. Anfíbios e Répteis representam pelo menos 25% da diversidade de vertebrados representando todos os ectotérmicos terrestres. Apesar da grande diversidade morfológica, ecológica e de padrões de distribuição esses grupos frequentemente não são considerados em esquemas de priorização para conservação. Apesar disso, os anfíbios são o grupo de vertebrados com maior porcentagem de espécies ameaçadas enquanto os répteis têm uma das menores porcentagens de espécies avaliadas (Tabela 1).

Tabela 1. Número total de espécies descritas, porcentagem de espécies ameaçadas e porcentagem que foi avaliada em relação ao total. Fonte: *International Union for Conservation of Nature and Natural Resources* (IUCN).

| | Nº spp. | % ameaçadas | % avaliadas |
|------------------|---------|-------------|-------------|
| Mamíferos | 5536 | 21.8 | 100 |
| Aves | 10424 | 13.2 | 100 |
| Répteis | 10450 | 9.5 | 49 |
| Anfíbios | 7538 | 27.4 | 87 |
| Peixes | 33300 | 7.0 | 46 |

Cinco critérios são utilizados para avaliações de risco de extinção da IUCN. Esses critérios são baseados em diferentes aspectos do risco de extinção com objetivo de determinar a qual categoria de ameaça deve ser aplicada aos táxons. Apesar desses critérios serem independentes entre si, o conhecimento detalhado da distribuição geográfica é fundamental na aplicação dos critérios B e D (detalhes: *IUCN guidelines* disponível em: <https://portals.iucn.org/library/sites/library/files/documents/RL-2001-001-2nd.pdf>) e formam a maioria dos dados utilizados para a avaliação do grau de ameaça dos táxons (Tabela 2).

Tabela 2. Porcentagem do total de espécies avaliadas (animais e vegetais) utilizando critério B. Fonte: IUCN

| Categoria | % Critério B | Total |
|-----------|--------------|-------|
| CR | 74.6 | 6130 |
| EN | 84.4 | 9181 |
| VU | 43.3 | 12073 |

Desta forma, a distribuição geográfica das espécies é considerada peça fundamental nos diferentes campos de pesquisa que compõem, não só a biogeografia, como também a biologia da conservação. Por outro lado, a distribuição geográfica é um fenômeno intuitivo, dependente da detecção de uma espécie (ou população) em uma determinada área, sendo, portanto, extremamente dependente do esforço e da escala espacial. Podemos definir a distribuição geográfica de uma espécie como o subconjunto do espaço geográfico em que a presença de indivíduos ou populações de uma espécie podem ser detectadas (Peterson et al. 2011). Essa área ocupada é resultado da interação de três fatores básicos que atuam em diferentes escalas espaciais e temporais e suas relações podem ser resumidas pelo diagrama “BAM” (Figura 2). Os fatores abióticos (A) atuam em escalas espaciais maiores, representando o conjunto de condições ambientais favoráveis ao estabelecimento, reprodução e sobrevivência. Esse atributo da distribuição também é chamado de

nicho Grinelliano (ver Soberón 2007, Peterson et al. 2011) ou nicho fundamental (Hutchinson, 1957; ver também Colwell & Rangel 2009) e prediz que uma espécie pode ocupar qualquer lugar no espaço geográfico cujas condições ambientais sejam fisiologicamente adequadas aos indivíduos (Soberón & Peterson 2005). As interações bióticas (B) atuam em uma escala espacial menor e representam as relações ecológicas que favorecem (e.g. mutualismo, comensalismo) e que limitam a ocorrência das espécies (e.g. competição, predação). A parte do nicho fundamental que a espécie realmente ocupa após as restrições de relações bióticas negativas é chamada de nicho realizado (Begon et al. 2006). Essas interações mudam com o tempo de acordo com as espécies que entram e saem da comunidade, levando o nicho realizado a expressar, portanto, a porção do nicho fundamental disponível para a espécie em um único instante. Isso torna sua mensuração quase impossível em grandes escalas. A capacidade de dispersão (M) atua limitando o acesso das espécies a locais ambientalmente favoráveis e sem interações desfavoráveis.

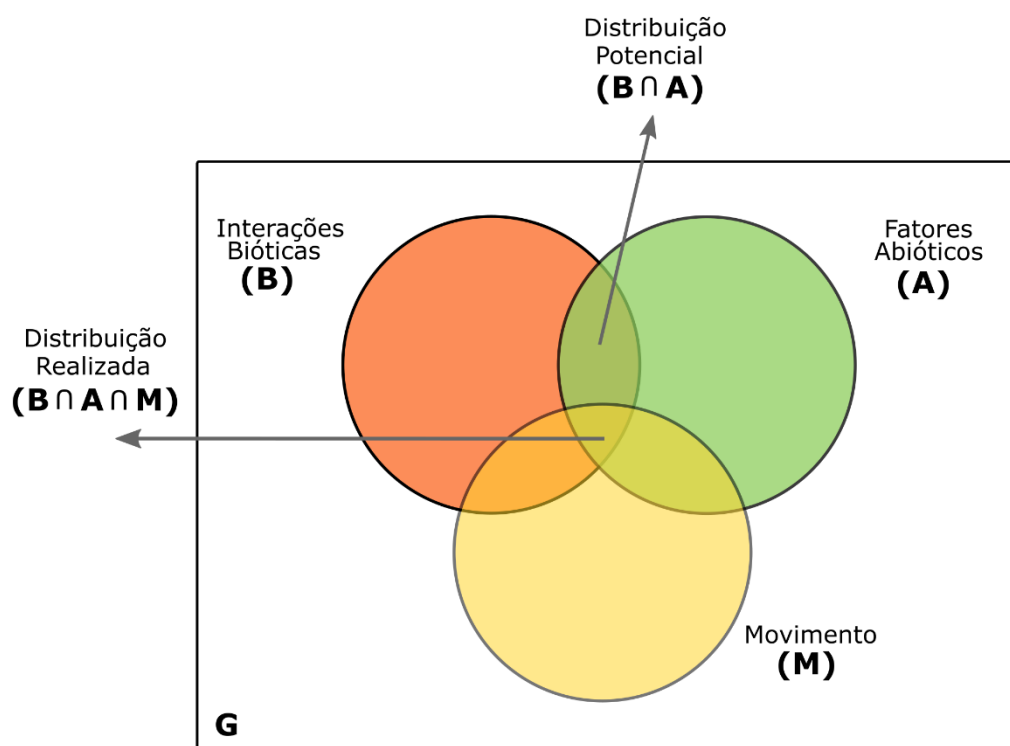


Figura 2. Representação esquemática dos fatores fundamentais que afetam a distribuição geográfica de uma espécie. G representa todo o espaço geográfico de interesse. B representa o espaço geográfico onde a espécie pode ocorrer, dadas as restrições impostas pelas interações bióticas. A

representa toda a região com condições ambientais (ou fatores abióticos) favoráveis ao estabelecimento, sobrevivência e reprodução dos indivíduos que são estabelecidas pelo nicho fundamental. A interseção de B e A representa, portanto, a região geográfica refletida pelo nicho realizado. M representa toda região acessível à espécie conforme sua capacidade de dispersão. Modificado de Peterson et al. 2011.

Portanto podemos dizer que as necessidades ecológicas da espécie (nicho) são expressas no espaço geográfico e medidas por nós como a distribuição geográfica. Essa visão permite extrapolar a distribuição geográfica das espécies por meio de ENMs a partir de conceitos baseados na teoria do nicho ecológico (Soberón 2007, Soberón & Nakamura 2009, Colwell & Rangel 2009, e Peterson et al. 2011). Sendo assim, podemos obter informações sobre a tolerância fisiológica das espécies (extraídas a partir dos dados de ocorrência) a partir de variáveis ambientais ou preditoras e métodos analíticos que relacionam a distribuição das espécies com essas variáveis (representados pelos modelos correlativos). É importante ter em mente, entretanto, que a distribuição geográfica normalmente obtida por esses modelos de nicho ecológico não reflete os efeitos da dispersão e das interações bióticas (ver críticas em Soberón 2010), importantes principalmente para previsões em escalas espaciais finas.

Essa contextualização se faz importante, apresentando o grau de conhecimento taxonômico e de distribuição geográfica dos anfíbios e répteis da Savana Uruguaia. Da mesma forma apresentamos questões relativas a incertezas entre o relacionamento das ecorregiões adjacentes do Sul da América do Sul. A definição das unidades biogeográficas é dependente de conceitos complexos como distribuição geográfica e padrões compartilhados entre diferentes grupos. A compreensão desses conceitos permite empregar ferramentas de modelagem de nicho ecológico com o devido conhecimento de seus pressupostos e limitações. Essas ferramentas se fazem importantes ao permitir a produção de mapas de distribuição geográfica de forma menos empírica do que simplesmente a união de pontos no espaço geográfico. Ainda permitem análises espaciais complexas que envolvem a identificação de áreas prioritárias para conservação e a avaliação da efetividade de unidades de conservação para anfíbios e répteis e formam a base do conhecimento desenvolvido ao longo desse trabalho.

Capítulo 1

SHARED GEOGRAPHIC DISTRIBUTION PATTERNS OF AMPHIBIANS AND REPTILES FROM THE URUGUAYAN SAVANNA ECOREGION

Formated according to the
Biological Journal of the Linnean Society guidelines.

SHARED GEOGRAPHIC DISTRIBUTION PATTERNS OF AMPHIBIANS AND REPTILES FROM THE URUGUAYAN SAVANNA ECOREGION

Alvares¹, Diego Janisch; Ferrari², Augusto, Borges-Martins¹, M.

¹ Programa de Pós-Graduação em Biologia Animal, Departamento de Zoologia, Instituto de Biociências, Universidade Federal do Rio Grande do Sul, Porto Alegre, Rio Grande do Sul, Brasil.

² Instituto de Ciências Biológicas, Universidade Federal do Rio Grande, FURG, Campus Carreiros, Rio Grande, Rio Grande do Sul, Brasil.

Correspondence: Diego Janisch Alvares, Programa de Pós-Graduação em Biologia Animal, Laboratório de Herpetologia, Avenida Bento Gonçalves 9500, 91501-970, Porto Alegre, RS, Brasil. E-mail: diego.jalvares@gmail.com.

Abstract:

We accessed the geographic distribution of Amphibians and Reptiles occurring in the Uruguayan Savanna ecoregion (USE) searching for shared distributional patterns, in order to identify chorotypes and enlighten the conflicting regionalization of the Pampa province. We compiled nearly 83,000 collection records of complete geographic distributions of the 144 species of amphibians and reptiles with occurrence in the Uruguayan Savanna throughout South America. Endemicity analysis (NDM/VNDM) was implemented to identify shared geographic distribution patterns (chorotypes). General diversity patterns for the Uruguayan Savanna was also described in terms of endemic species and the degree of species shared with other ecoregions. Five amphibians (anurans) and nine reptiles (six lizards, two amphisbaenians, and one snake) are endemic to the USE. Most species from the Uruguayan Savanna ecoregion are shared with other ecoregions, even from different Major Habitats.

We recovered 38 consensus areas from 68 individual areas resulting in 17 chorotypes after a cluster analysis. Our results indicated a complex pattern of shared geographic distributions. The limits of the ecoregion were coincident with some chorotypes, however, the traditional limits of the Pampa were not corroborated by any chorotypes. The tropical affinity of the USE was evidenced in two levels, the degree of species shared, and the pattern of chorotype recovered. Species that occurs on temperate pampa and USE were widely distributed in other ecoregions.

Keywords: Endemicity analysis, NDM/VNDM, pattern biogeography, Pampa, southern grasslands

Introduction:

At least a quarter of all terrestrial Earth surface is covered by grasslands (Bilence & Miñarro, 2004), and traditionally little attention has been given to the conservation of grassland formations, especially when compared to forested biomes (Bond & Parr, 2010). The temperate grasslands have the lowest protection level among world's biomes, with less than 0.7% of its superficies under some kind of legal protection (Bilence & Miñarro, 2004). The apparently uninterrupted open areas known as *Pastizales del Río de La Plata* are formed by at least two different ecoregions, Pampas from Central Argentina and Savannas of Uruguay, containing complex grasslands ecosystems (Dinnerstein 1995, Bilence & Miñarro 2004). Only in its northern portion (equivalent to Brazilian Pampa Biome) it is estimated that occurs about 3000 plant species, with less than 1% of their area under effective protection, featuring as one of the richest and threatened grassland biomes (MMA, 2008). Ecoregions delimitation was explicitly designed to support conservation planning of global biodiversity (Olson et al., 2001). Although based on biogeographic fundamentals, terrestrial ecoregions of the world are not the result of an explicit regionalization method. These areas has been used as analytical units in several conservational, evolutive and biogeographic studies (e.g. Duarte et al., 2014; Zank et al., 2014; Saura et al., 2017; Antonelli et al., 2018) even without been designed for

this purpose. Therefore, the adequacy of the ecoregions as biogeographic research units was not tested for many taxa.

The Uruguayan Savanna ecoregion (USE) extends along the southern half of the State of Rio Grande do Sul in Brazil, the entire territory of Uruguay, and part of the province of Entre Ríos in Argentina (WWF, 2001). Recently, these grassland areas have been occupied by agriculture and silviculture activities (Overbeck et al., 2007). This, combined with the extremely small and fragmented protection areas, categorizes the ecoregion as Critically Endangered (WWF, 2001). Besides its apparently homogeneity, grassland and savanna formations usually form mosaics with forested habitats along the tropics (Bond & Parr, 2010). Several factors, can influence this pattern, for instance the climate, historical factors and human activity (Pinillos et al., 2009).

USE is positioned in the transition between tropical and temperate climates and it is limited by Atlantic Forest formations on the north, by Southern Temperate Grasslands on the south, by maritime coast line on the east and by Argentinean Mesopotamia in the confluence of Uruguay and Paraná rivers on the west (WWF, 2001). This region has been historically recognized as a distinct biogeographic unit, as the Uruguayan District from the Pampean Province (Cabrera & Willink, 1973), or the Campos Subregion from the Rio de La Plata Grasslands (Soriano et al., 1992). However, different biogeographical classifications are in part conflicting as about USE relationship with others Neotropical open areas (Cabrera & Willink, 1973; Morrone, 2017). Based on existing phytogeographical and zoogeographical studies, Cabrera & Willink (1973) proposed Pampean province as belonging to Chacoan dominion, related to temperate pampas of Argentina. This way, it ended closely related to formations as Chaco, Caatinga and Espinal provinces. Morrone (2014) regionalization corroborates classic Cabrera & Willink (1973) view (Figure 1b). However, these classifications differs from Olson et al. (2001) which defines USE as one ecoregion belonging to Tropical and subtropical grasslands, which includes Cerrado and Humid Chaco, but not the

Temperate grasslands that comprises the Argentinean Pampa's (Figure 1c). These discordances are mainly related to the USE position in a biogeographical transitional zone, were recent climate changes has been changed the limits between tropical and temperate biotas. It is an area with complex characteristics and shared biota between, apparently, many different biogeographical zones. Recently, a study tested the biogeographical position of Uruguay based on Mayflies distribution (Dos Santos et al., 2015), and author hypothesis placed Uruguay (or meridional USE) as the southern limit of tropical affinities. This classification corresponds with Olson et al. (2001) findings, but disagrees with Cabrera & Willink (1973) and Morrone (2014).

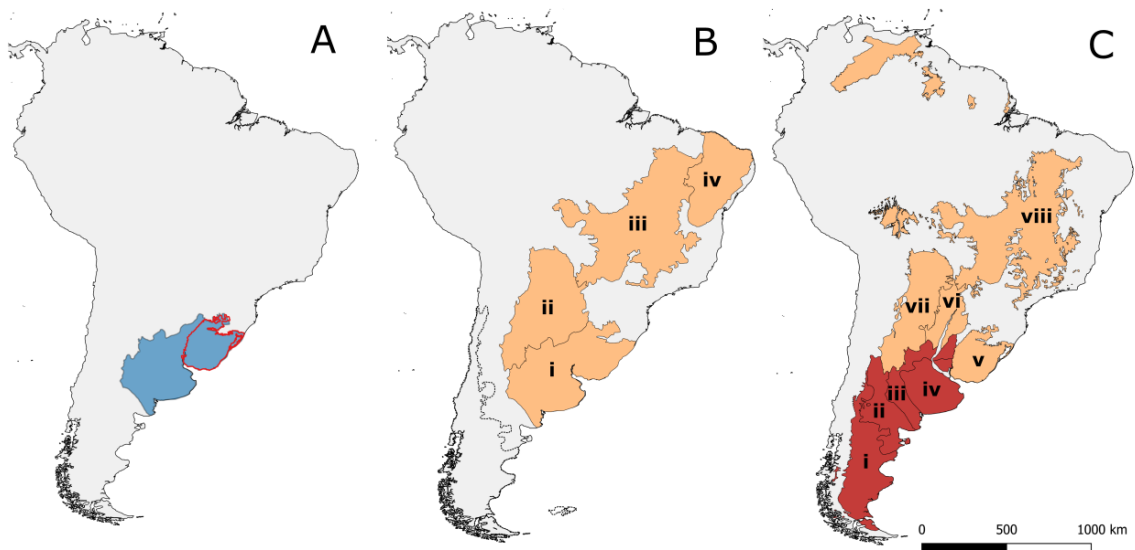


Figure 1. Location of the Rio de la Plata Grasslands and relevant biogeographical classification schemes. A) Location of the Pampean province (blue filling) and the limits of the Uruguayan Savanna Ecoregion (red line); B) Chacoan Provinces sensu Morrone (2014), i - Pampean, ii – Chacoan, iii – Cerrado, iv - Caatinga; C) Ecoregions from Temperate (red filling) and Tropical and Subtropical (orange filling) Grasslands, Savannas & Shrublands Main Habitats, sensu Olson et al. (2001), i- Patagonian steppe, ii - Low Monte, iii – High Monte, iv – Humid Pampas, v – Uruguayan Savanna, vi – Humid Chaco, vii – Dry Chaco, viii - Cerrado.

Biogeographical units are the basis for pattern description and their identification is one of the most controversial and discussed topics in the biogeography field (Passalacqua, 2015). Nowadays, several methods and criteria are used to identify distribution patterns (e.g. generalized tracks, biotic elements, chorotypes, areas of endemism, bioregions, etc.) and according to different assumptions, distinct units are operationally defined in biogeography (Ferrari 2017). Several authors recommend the use of Areas of Endemism (AE) as fundamental unit (Morrone, 1994; Deo & DeSalle, 2006; Escalante, 2015). Nevertheless, the definition of AE is until today a controversial topic (see Hausdorf, 2002; Fattorini, 2016). Hausdorf (2002) argues that concept of AE's only can be applied when vicariance is the processes which generates endemic areas. Hence, he suggested a Biotic Element (BE) approach, where BE are groups of taxa whose ranges are significantly more similar to each other than to those of taxa of other groups (Hausdorf, 2002). Fattorini (2016) argues that element is an ambiguous category that has been used to identify both a group of species defined according to the biogeographic areas they occupy and a group of species with similar biogeographic history. Therefore, chorotype categories are more appropriated term when propose to indicate groups of species merely based on their similar geographical distribution, when any assumption about their biogeographic history is made (Fattorini, 2016).

Not all methods for pattern distribution identification encompass notions of endemism (see Ferrari 2017), leading to different interpretations of their biological meaning and, consequently, their use in biogeography. Aiming to identify areas of endemism, Szumik et al., (2002) and Szumik & Goloboff (2004) proposed an optimality criterion (NDM/VNDM) based in the congruence among species distributions. Although designed explicitly to search for areas of endemism, NDM/VNDM was used to find distributional concordance among different groups of species and it was successful to recover and refining many biogeographical areas previously proposed (see Szumik et al., 2012). Those areas eventually can be interpreted as areas of endemism in a primary homology concept (see

Morrone, 2001) or even as to group species with similar ranges like in the chorotype concept (*sensu* Fattorini, 2016).

Amphibians and reptiles are important components of biological diversity, corresponding to about 25% of all known vertebrate species (Wilson & Reeder, 2011; del Hoyo et al., 2014, 2016; Frost, 2018; Uetz et al., 2018). These groups represent deeply distinct lineages separated by at least 370 my which represent all remaining terrestrial ectothermic vertebrates. Accordingly, these distinct groups present a wide range of morphological, ecological and geographic range characteristics, including from microendemic to widely distributed species (Vitt & Caldwell, 2013). Notwithstanding, those groups traditionally are not considered on most biogeographic regionalization schemes (e.g. Cabrera & Yepes, 1940; Fittkau, 1969; Cabrera & Willink, 1973; Olson et al. 2001; Cardoso da Silva et al., 2004). Even poorly represented in global network of protected areas, reptiles increases the conservation value of temperate grasslands, which enhances the importance of this group to recognize them (Roll et al., 2017). Information about species composition of Amphibians and Reptiles from USE come, principally, from species lists compilations from Uruguay (Achaval & Olmos, 2003; Carreira & Maneyro, 2012; Maneyro & Carreira, 2012) and the State of Rio Grande do Sul in Brazil (Lema, 1994; Kwet, 2001; Di-Bernardo et al., 2004). Geographic distribution patterns of amphibians and reptiles in the region are reasonably known, making then good models for biogeographic analyzes.

In this study we accessed the geographic distribution of amphibians and reptiles occurring in the Uruguayan Savanna ecoregion searching for shared distributional patterns, in order to identify chorotypes and to enlighten the conflicting regionalization of the Pampean province. We characterized the distribution, composition and richness of Uruguayan Savanna's amphibians and reptiles aiming to (1) compare the composition sharing levels with other related ecoregions; (2) select the best methodological approach in the NDM/VNDM (scale of analysis and parameters) given

our dataset; (3) identify chorotypes; and (4) confront them to conflicting biogeographic classifications. If the Pampean province is a relevant biogeographical unit for amphibians and reptiles, we expected to find chorotypes in conformity with its general limits. Otherwise we expect that shared Pampean species are more widely distributed, occurring also in other biogeographic units being thus part of more general biogeographic patterns. Given the small geographic range of many amphibians and reptiles, we also expect to recover restricted chorotypes which can indicate local biogeographic processes.

MATERIAL AND METHODS

Study Area

This study is focused on the Uruguayan Savanna Ecoregion (USE), one of the 867 terrestrial areas proposed by Olson et al. (2001), which occupies 363,000 km² of southern South America (Figure 1c.v). It is characterized by extensive grassland areas, some with gallery forests and palm trees savannas. These grasslands encompass many physiognomies, with different floristic composition principally influenced by geomorphology, climate and land use (Figure 2b). These properties make it one of the most diverse grassland regions of the world with about 4000 plant species (Bilanca & Miñarro, 2004). Despite its apparently homogeneity, USE is formed by at least 13 ecological systems, demonstrating a complex composition and history (Hasenack et al., 2010).

This ecoregion is characterized by its uneven climate with annual precipitation which ranges between 1000 mm in the southern part, and 1300 mm in the northern part of the ecoregion. The annual average temperature is 16 °C in the south and higher, 19°C, in the north. The landscape is relatively flat, ranging from sea level in the east coast, to elevations of about 500 meters in some areas (Figure 2a). Based on these differences Soriano et al., (1992) proposed that USE could be subdivided in northern and southern grasslands. The geological history of USE is complex coexisting

granitic formations, most of them with origin in Precambrian period, to sedimentary formations along Atlantic coastal plain formatted along last 20kys. (Bilenca & Miñarro, 2004; Da-Silva, 2009). For practical purposes, we included in the USE limits (Olson et al., 2001) the sandy fields of restinga's formations along southeastern Santa Catarina and Rio Grande do Sul (Brazil), and eastern Uruguayan Flatlands, which are part of the Atlantic Coast Restingas Ecoregion (sensu Hasenack et al., 2010)

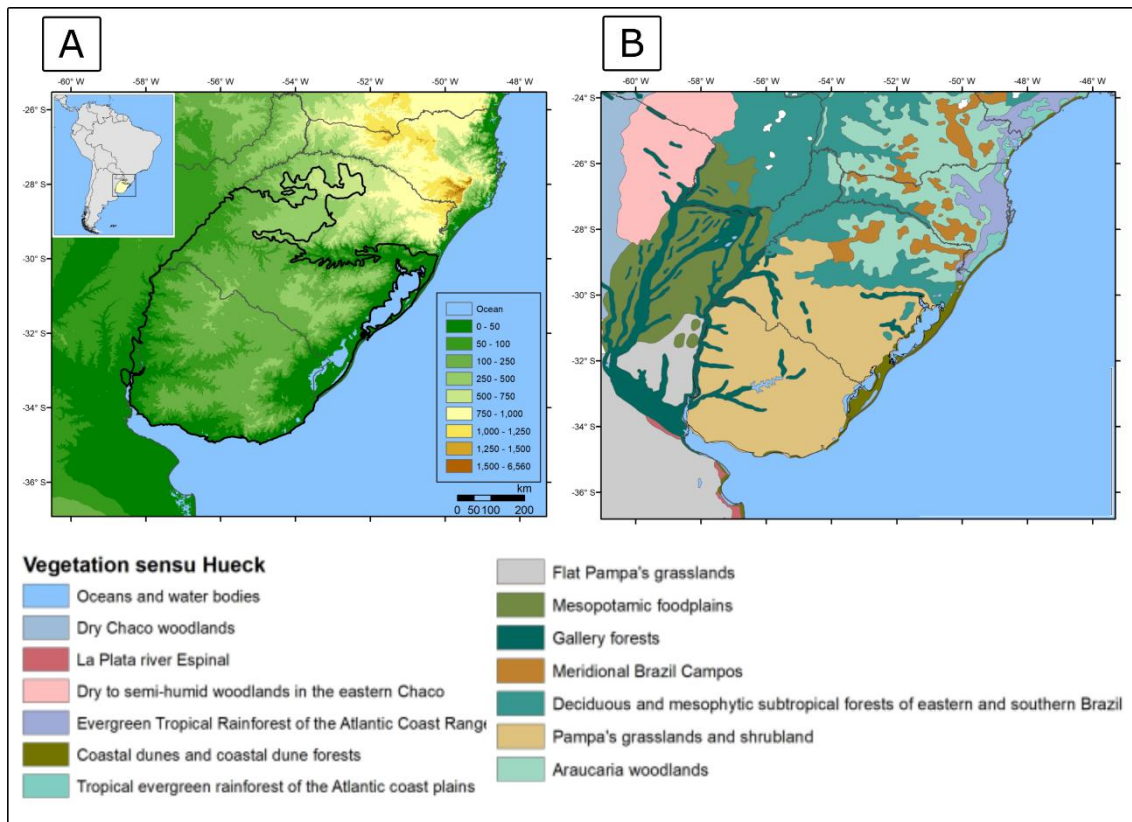


Figure 2. Map representing the study area. A, altitude variation. B, vegetation *sensu* Hueck & Siebert (1981) including adjacent formations.

Species Distribution data

Based on preliminary efforts to describe patterns of reptiles (Bérnails et al., 2008) and amphibians (Garcia et al., 2007) of subtropical and temperate portions of the neotropical region, we compiled a list of all species which occurs in the Uruguayan Savanna ecoregion (USE) (Appendix I, in Supporting

Information). Taxonomic treatment follows Frost (2018) for amphibians and Costa & Bérnls (2018) for reptiles.

Distributional records were compiled from most representative scientific collections of the region (Museu de Ciências e Tecnologia da Pontifícia Universidade Católica do Rio Grande do Sul (MCP), Museu de Ciências Naturais /SEMA (MCN), Universidade Federal do Rio Grande do Sul (UFRGS), and Sección de Zoología de Vertebrados da Facultad de Ciencias de Montevideo (ZVCB)), and literature selecting studies after the following criteria: (1) studies of taxonomic revision that contained ‘supporting information’; (2) verified records from major herpetological collections from Brazil, Uruguay, and Argentina; (3) maps from atlas to complement distribution outside USE when necessary. In many cases GPS coordinate of collection site were not available, and coordinates were retrieved at a more specific level from gazetteers and software: SpeciesLink – GeoLoc (available on <http://splink.cria.org.br/geoloc>) and Google Earth PRO (Google, 2018).

Amphibian richness on USE were represented by 61 species of two orders (59 Anura and 2 Gymnophiona), ten families (Alsodidae, Bufonidae, Ceratophryidae, Hylidae, Leptodactylidae, Microhylidae, Odontophrynidae, Phyllomedusidae, Siphonopidae and Typhonectidae), and 23 genera. Hylidae and Leptodactylidae were the most richly represented families with 33% ($N = 20$) and 28% of the species ($N = 17$), respectively. Concerning reptiles, 91 species were recorded, representing three orders (85 Squamata, 5 Testudines and 1 Crocodylia), 20 families (Alligatoridae, Amphisabaenidae, Anguidae, Anomalepididae, Boidae, Dipsadidae, Elapidae, Gymnophthalmidae, Leiosauridae, Leptotyphlopidae, Liolaemidae, Mabuyidae, Phyllodactylidae, Teiidae, Tropiduridae, Typhlopidae, Viperidae, Chelidae, Emydidae) and 44 genera. Dipsadidae and Colubridae were the most richly represented families with 44% ($N = 40$) and 8% ($N = 7$) of the species, respectively.

All species occurring in the USE had its total geographic distribution considered even outside ecoregion limits. Aiming to minimize analytical noises, seven species (see Appendix I, in Supporting

Information) with explicitly taxonomy problems (e.g. species complex) were excluded from NDM analysis. However, they still contributed to composition and richness descriptions. So, our analytical database to chorotype analysis includes 82,830 georeferenced records of 58 Amphibians and 86 Reptiles species.

Composition, Richness and Endemic species

To access richness patterns and shared composition, we used the package SpeciesGeoCoder version 1.04 (Zizka, 2015) in R environment version 3.3.1 (R Core Team, 2018). The study region limits (48–60° W; 27–35° S) was divided into multiple grid-sizes from 0.5° to 2° by 0.1° steps and for each size it was computed the species richness, no data cells and total number of cells. The function SpeciesGeoCoder was used to access shared USE Amphibians and Reptiles composition between adjacent ecoregions. Operationally, we considered endemic those species with distributional records fully or largely coincident with USE limits (e.g. Da Silva 1997; Nogueira *et al.* 2011). Smallest grid-sizes have graticules with richness between 1 and 94 species and almost 13% of grids with species absence, while largest grid-sizes have richness varying between 62-108 and just 6.25% of grids with absences (Figure 3).

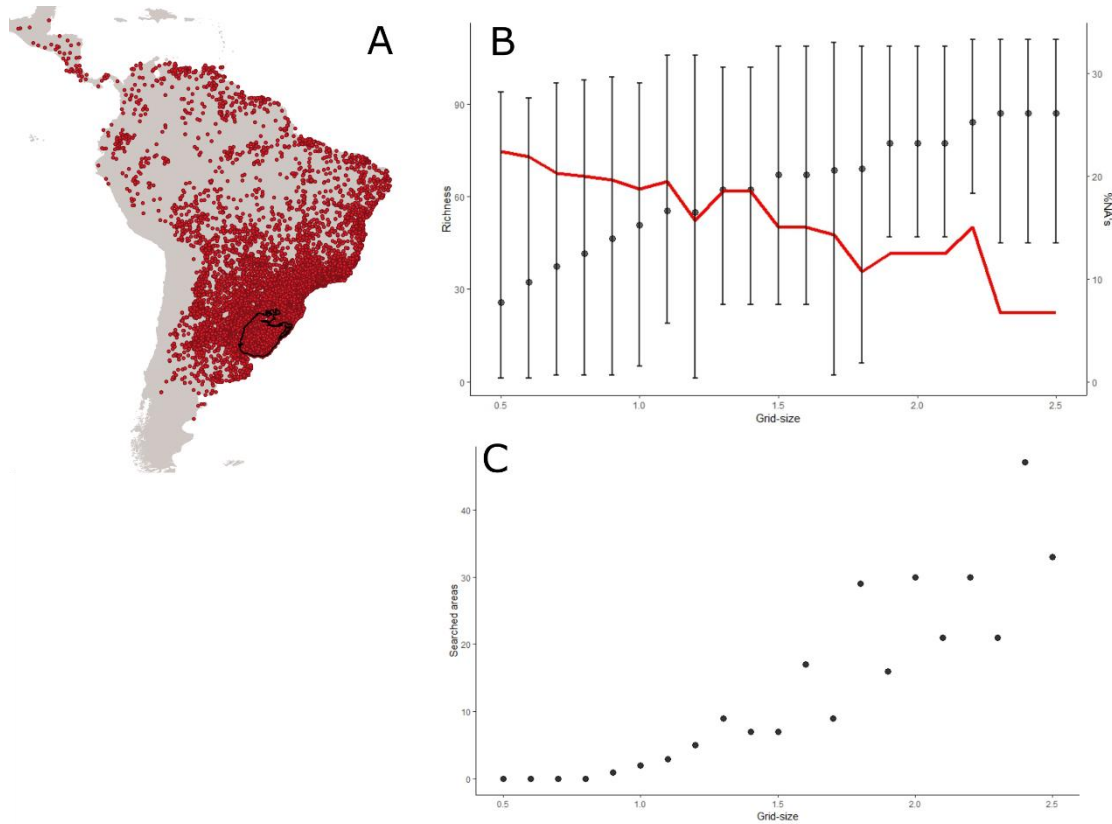


Figure 3. Grid-size effects under different analytical aspects. A) General map showing records density on South America. B) Grid-size influence on species richness and cells without amphibians and reptiles' records; Dark-gray points represent mean richness and bars represents minimum and maximum ranges, Red line show percentage of pixels without any record. C) Grid-size influence on searched areas applying Ribeiro et al. (2014) approach.

Endemicity analysis (NDM/VNDM)

Grid-size is a parameter pre-defined by each author before analysis. Finer scales provide most detailed areas and can help to recover disjunct and local areas of endemism, whereas larger grid scales identify broad patterns but can lead to artificial congruence between species and areas (Casagranda et al., 2009). A lack of clear criterion for choosing beforehand grid size leads most

authors to test more than one option and consider endemic areas those that appear in all grid sizes as more robust hypotheses of endemism (Aagesen et al., 2009; Hoffmeister & Ferrari, 2016). Here we apply a method based on sequential consensus tests using default settings on NDM/VNDM seeking to define the best grid-size value before analysis (Ribeiro et al., 2014).

In a first step we defined squared grid sizes from 0.5° to 2.5° , with steps of 0.1° ; for each grid size, we computed consensus areas provided by cut-off values from 5% to 100% with steps of 5% and each value was divided by the total search areas. To these values we fitted an exponential function saving one exponential growth rate, named here as “ b ”, to each grid size. To all b values we fitted a sigmoid function looking for the saturation point of such logistic curve. This value was defined as an integer grid size whose value corresponds to less than 3% of the upper asymptote for the slope exponent. Grid-size pre-analysis selection indicated a value between 2.3 and 2.4 degrees as best grid-size choice (asymptote of sigmoid function = 0.2375), however this result makes impossible to compare AE's inside ecoregion (Appendix II, in Supporting Information). So here we made exploratory measures (Figure 3b) from many grid-sizes and chose to compare two grid sizes (latitude/longitude): $1^\circ \times 1^\circ$ and $1.5^\circ \times 1.5^\circ$ aiming to capture AE's with different characteristics.

Although the large number of records in our database, sampling effort is not equally distributed on space. Besides that, some species are rarer and harder to sample. In this way, the absence of a species in a determinate place may not reflect the truth absence of it, which could lead to biases. Aiming to overcome such bias, NDM offers two grid-filling options: “Radius fill/Radius assumed” were a user-defined radius (expressed a percentage) is used to extrapolate the species distribution (points) to adjacent grid cells and; “Auto-fill”, which define a maximum polygon for each species aiming transform species distribution points into continuous distribution (automatically filled by NDM) (Szumik & Goloboff, 2004). “Radius fill/Radius assumed” option was employed here with two different values (see Figure 4 for details).

Endemicity analysis can generate numerous areas of endemism, often differentiated only in few cells and/or species. Different user-defined parameters combinations increase the number of potential areas making an area comparison extremely difficult. Thus, NDM implement two consensus rules; the strict consensus and flexible consensus. The strict consensus rule is the most appropriate option once it guarantees that at least some species will be shared between all individual areas (Hoffmeister & Ferrari, 2016).

The search was run with permutation of two grids at a time, with 50 replicates, holding areas that contained at least 50% of exclusive endemic species. The edge proportions option was employed, and the strict consensus was estimated combining areas that share at least 50% of species. The NDM/VNDM input file is provided in the Supporting information (Appendix II, in Supporting Information). Aiming to find Individual Areas with different characteristics and principally to lead with spatial sampling bias we used Hoffmeister & Ferrari (2016) metaconsensus approach with modifications (Figure 4). We performed six analyses named with letters in alphabetical order (A,B...) were each grid size ($1^{\circ} \times 1^{\circ}$ or $1.5^{\circ} \times 1.5^{\circ}$) are combined with each Radius fill/Radius assumed possibility (no fill/assume, 50/100 and 100/100). Each consensus associated with a specific analysis received a number (e.g. A2 refers to analysis A, consensus area 2). Search parameters remained the same, except when using Radius fill/Radius assumed. Areas with at least two endemic species and an endemicity index >1 were saved, and only species with minimum species score >0.3 contributed to a potential endemic area. Grid origin was fixed in $x = -96.859$ and $y = -22.664$.

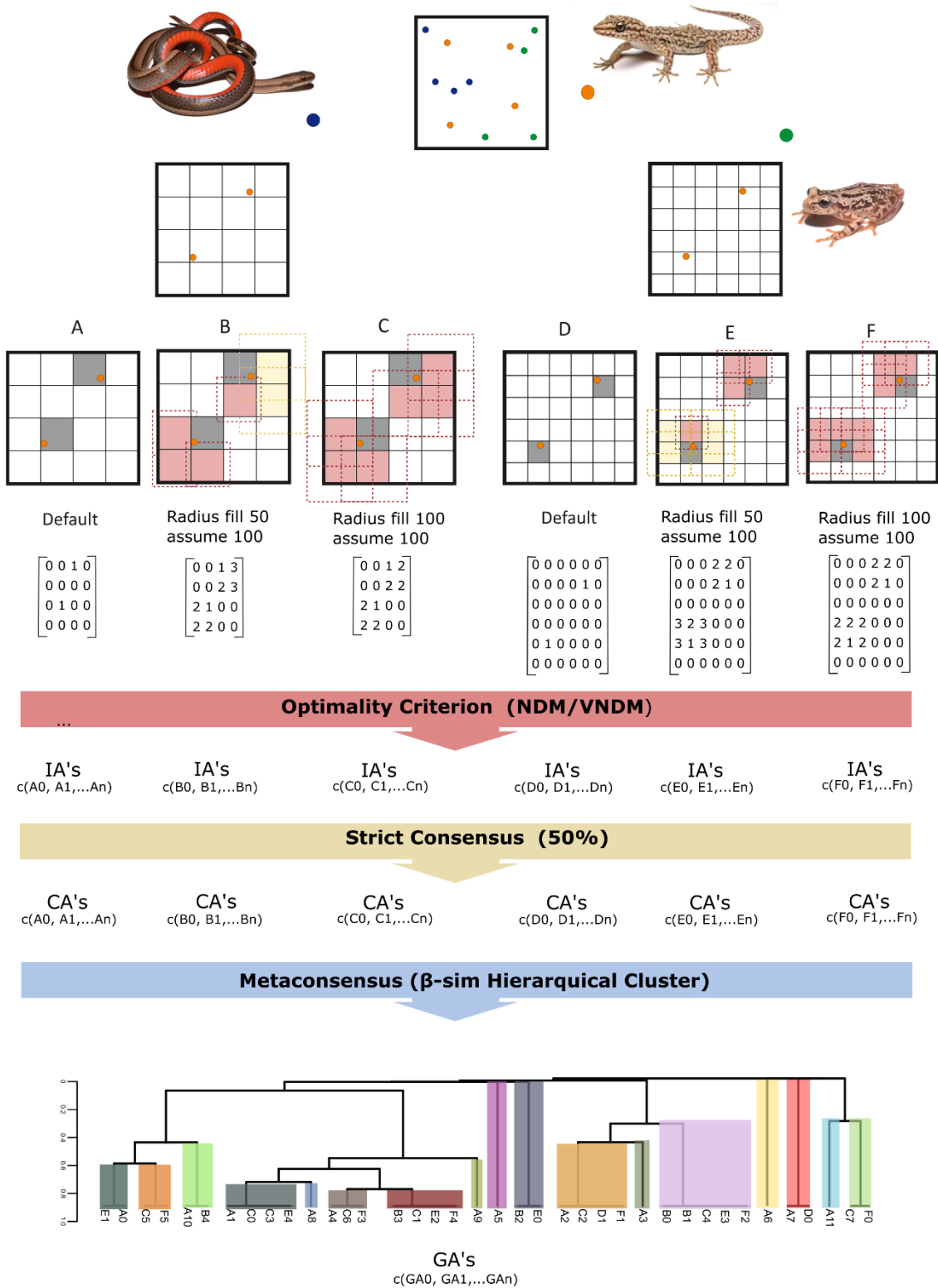


Figure 4. General overview of the NDM/VNDM analyses performed to recover amphibian and reptiles chorotypes in the Uruguayan Savannas, following Hoffmeister & Ferrari (2016) approach with

modifications. IA, Individual Area; CA, Consensus Area; GA, Group of Consensus Areas. Lizard, *Homonota uruguayensis*; Snake, *Psomophis obtusus*; Toad, *Julianus uruguayus*.

Defining Chorotypes

The metanalysis approach lead to find Consensus Areas (CA) with different characteristics, at the same time many equal areas are recovered in more than one analysis, artificially increasing the number of resulting areas (Hoffmeister & Ferrari, 2016). Aiming to compare these six analyses and principally, to deal with redundant areas we calculated pairwise Simpson dissimilarity index (β -sim), with the species that contribute to each consensus. This index does not take species absence into account and, unlike other similarities index (like Jaccard and Sørensen) is not sensitive to major differences in species richness (Kreft & Jetz, 2010, Linder et al. 2012). Each consensus area was clustered by applying the hierarchical unweighted pair-group method with arithmetic averages (UPGMA) classification algorithm to β -sim similarity matrix. Analyses were conducted in R environment version 3.3.1 (R Development Core Team, 2018), using the packages vegan (Oksanen et al., 2011), cluster (Maechler et al., 2011) and raster (Hijmans et al. 2013).

RESULTS

Endemism and Shared species

We detected five amphibians (anurans) and nine reptiles (six lizards, two amphisbaenians, and one snake) endemic to the Uruguayan Savannas Ecoregion: *Melanophryniscus langonei*, *Melanophryniscus montevidensis*, *Melanophryniscus pachyrhynus*, *Melanophryniscus sanmartini*, *Phylomedusa iheringii*, *Amphisabena munoai*, *Amphisbaena darwini*, *Anisolepis undulatus*, *Calamodontophis paucidens*, *Contomastix charrua*, *Homonota uruguayensis*, *Liolaemus*

arambarensis, *Liolaemus gardeli*, and *Ophiodes enso*. Most species from the USE are shared with other ecoregions, even from different Major Habitats. About 81% of the USE amphibians and reptiles also occurs in the Alto Parana Atlantic Forest (APAF), which is the ecoregion that shares more species with the Uruguayan Savanna (48 amphibians and 76 reptiles). However, other 10 ecoregions also share more than 50% of the USE amphibians (9 ecoregions) or reptiles (7 ecoregions) species, including the Humid Pampas and the Espinal (Figure 5).

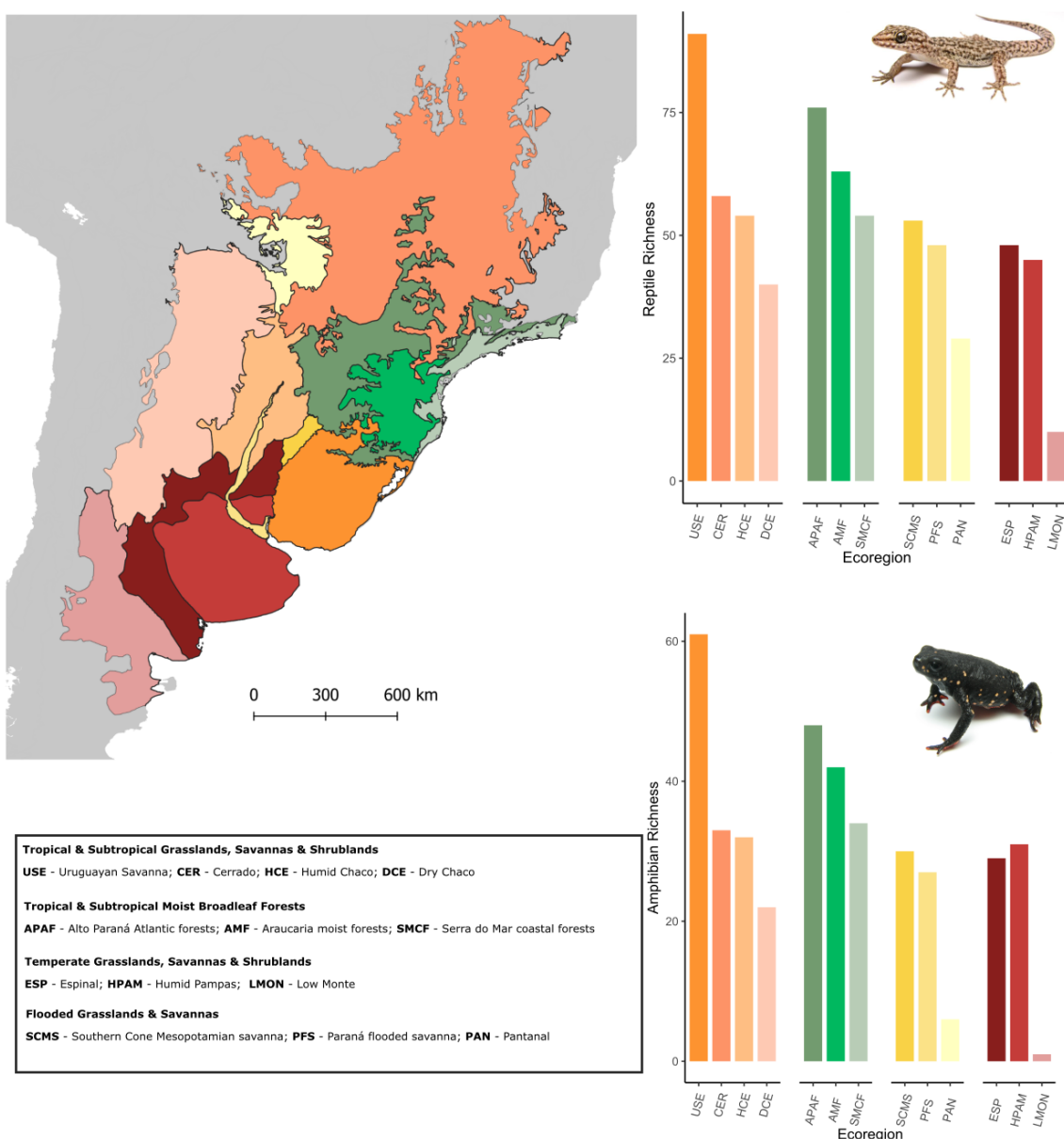


Figure 5. Richness of Amphibians and Reptiles from the Uruguayan Savanna Ecoregion and the similarity with other relevant ecoregions based on the absolute number of shared species (USE species occurring in other ecoregions). Ecoregions are grouped by Major Habitats and colors in bar chart correspond to respective ecoregions on the map. Lizard, *Homonota uruguayensis*; Toad, *Melanophrynniscus montevidensis*.

NDM/VNDM

The six analyses resulted on 38 consensus areas from 68 individual areas (Appendix IV in Supporting Information). The index of endemism (IE) of consensus areas vary from 1.193 to 6.087, including between two to nine species defining them (Table 1). From 143 species included, only 43 (30%) support at least one area. The number of Individual Areas (IA) from each analysis ranged from 4 to 24 and was greater in the larger grid-size, except for analysis with fill option 100/100 (C and F), which generated the same number of areas (Table 1). The Number of cells per IA ranged from 5 to 98 with the Mean Number of Cells ranging from 20.5 to 31.1. The number of species defining areas ranged from 2 to 8, with more species contributing to the scores in the analysis with bigger grid size.

Table 1. Summary of results of analyses A–F, including the number of individual areas (IAs); number of consensus areas (CAs); minimum, maximum, and mean index of endemism (IE) for the CA; minimum, maximum, and mean number of cells and species present in the CA

| Analysis | Grid | Fill/Assume | IA | CA | IE (min-max) | IE (mean) | Number of cells per area (min-max) | Mean number of cells | Species (min-max) | Species (mean) |
|----------|------|-------------|----|----|--------------|-----------|------------------------------------|----------------------|-------------------|----------------|
| A | 1.5° | - | 24 | 12 | 1.363-5.620 | 3.142 | 5-55 | 20.708 | 2-8 | 4.75 |
| B | 1.5° | 50/100 | 9 | 5 | 1.257-6.087 | 3.312 | 7-54 | 20.555 | 2-8 | 5 |
| C | 1.5° | 100/100 | 12 | 8 | 1.342-5.987 | 3.669 | 9-61 | 28.416 | 2-7 | 4.916 |
| D | 1° | - | 4 | 2 | 1.411-2.151 | 1.732 | 9-47 | 24.600 | 2-3 | 2.4 |
| E | 1° | 50/100 | 7 | 5 | 1.193-2.666 | 1.862 | 12-64 | 30.142 | 2-4 | 2.714 |
| F | 1° | 100/100 | 12 | 6 | 1.342-2.576 | 1.962 | 9-98 | 31.166 | 2-3 | 2.583 |
| total | | | 68 | 38 | | | | | | |

Shared chorotypes of amphibians and reptiles

The 38 consensus areas obtained through NDM/VNDM six analyses are to some extent redundant, and some areas were defined from the same set of species (Appendix III, in Supporting Information). Redundancy was expected given our analytical approach (combination of grid size x grid-filling options). A UPGMA clustering analysis based on β -sim similarity allowed the recognition of 17 Groups of Consensus Areas (GA, Figure 6). The clustering approach generated a nesting effect, grouping areas defined by few species as subsets of areas determined by more species (see example of one GA composition in Figure 7).

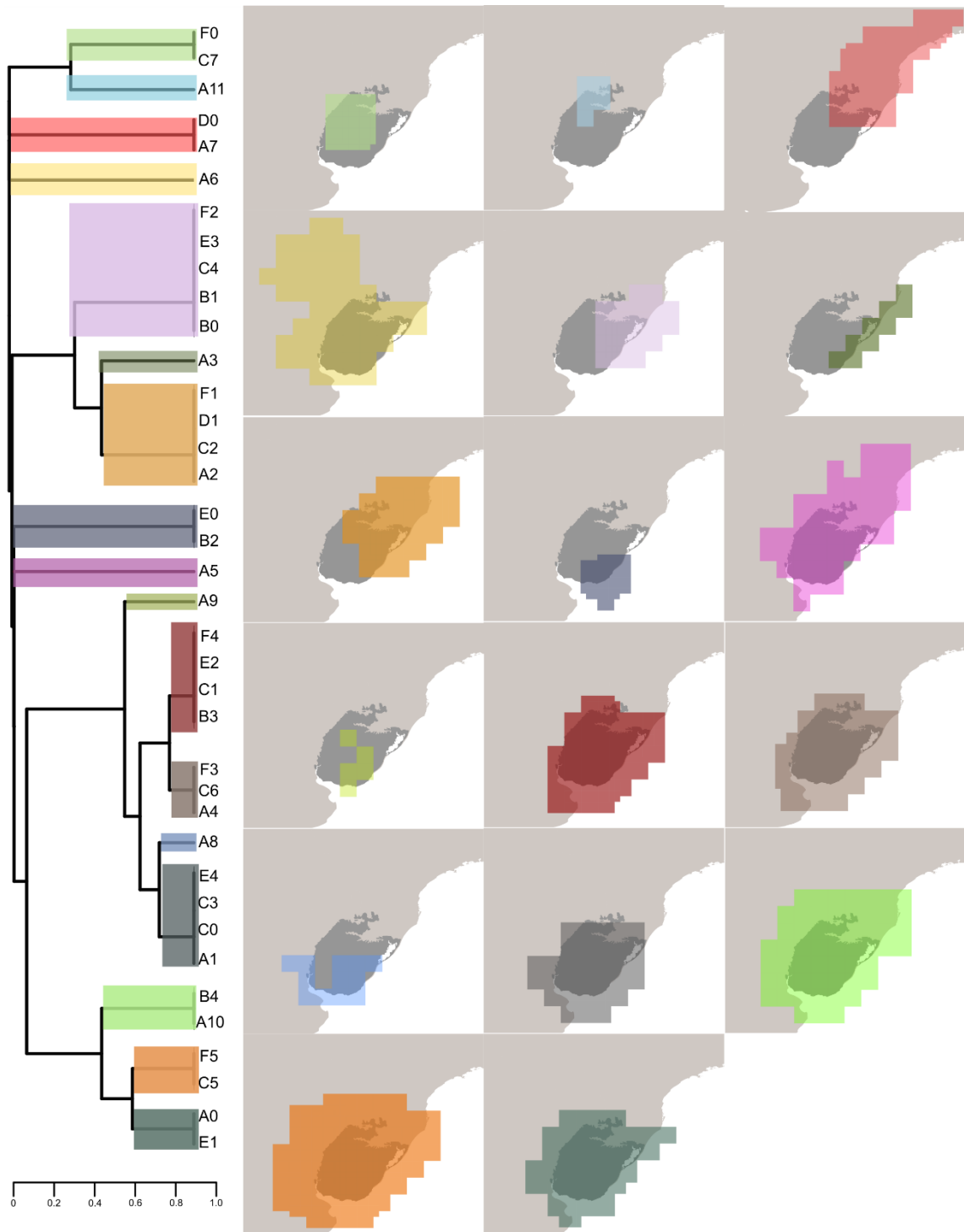


Figure 6. Groups of Consensus Areas (GA) based on β -sim UPGMA clustering of Consensus Areas (CA) for the Uruguayan Savanna amphibians and reptiles. Maps for each GA represent the overlay of CA's limits.

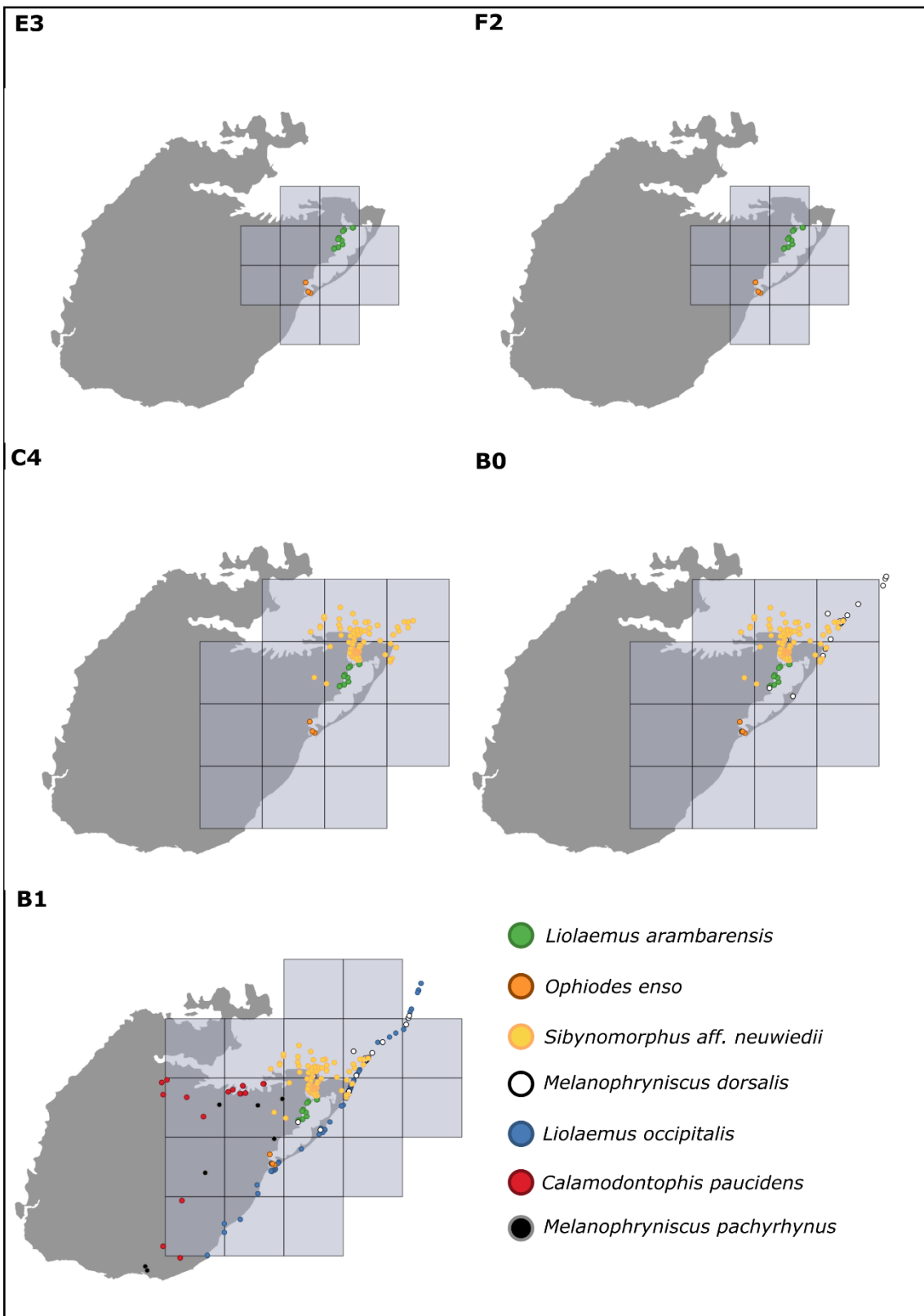


Figure 7. Example of Group of Consensus Areas for the Uruguayan Savanna amphibians and reptiles formed by β -sim UPGMA clustering. Areas E3 and F2 are defined by a species subset of C4, B0 and B1

analysis. These patterns only were recovered when fill/assume and grid-size increase congruence between species distributions.

DISCUSSION

Endemism and Shared species

The great diversity of species and ecosystems in South America leads to very high levels of endemism (Turchetto-Zolet et al. 2012). Small terrestrial animals with low dispersal capabilities, like most amphibians and reptiles, use to have small geographic distributions, what make them good choice models for the recovery of endemicity areas in finer scale biogeography studies. Uruguayan Savanna Ecoregion (USE) delineation encompasses a mosaic of natural grasslands, gallery forests, submontane forests and palm savannas under a complex geological history at the same biogeographical unit. This complexity also is demonstrated through the identification of 13 different ecological systems in the USE (Hasenack et al. 2010). Amphibians and reptiles identified as endemic species of USE represents about 10% of the total richness of the ecoregion. This degree of endemicity is much lower than was reported to amphibians and reptiles in the Atlantic Forest (about 90% and 70% respectively) (Rossa-Feres et al., 2017; Tozetti et al., 2017) and Cerrado (about 50% and 36% respectively) (Nogueira et al., 2011; Valdujo et al., 2012; Azevedo et al., 2016).

USE position in a transitional zone under influenced by tropical forested biomes and subtropical and temperate grasslands influences the degree of endemicity observed. For example, Atlantic Forest formations extend south until around 32°S, extending over a great part of USE territory, strongly influencing its composition. At the same time much of their area are composed by the southern grasslands ("Campos Sulinos"), a forest-grasslands mosaic that extends to the north until São Paulo (23°S) (Overbeck et al., 2007). On the extreme west the USE receives influence of Espinal formations. In the east, its Atlantic coast is characterized by recent pioneer formations originated by pleistocene marine transgressions. These vegetational transition zones were highly influenced by recent climate

changes during the Pleistocene. In general, pleistocene glaciations resulted in drier and cooler global climate, forcing forest biomes to retract their distribution in Equatorial direction. This climatic condition generated a landscape dominated by grasslands on southern Brazil and Uruguay. On the last 6000 years, climate became wetter and hotter, supporting forest expansion over grasslands (Behling 2002), generating a dynamic grassland-forest interface. First described as a driver mechanism to explain amazon diversity (Haffner 1969), the Pleistocene refugium hypotheses has been extended to explain phylogeographic and geographic distribution patterns in other biomes (Carnaval & Moritz, 2008; Carnaval et al., 2009; Thomé et al., 2010, Porto et al. 2013).

Endemic species of amphibians and reptiles from the USE occupies several habitats and different geographical distributions along the ecoregion limits. Amphibian endemics are dominated by four species of small terrestrial bufonid toads from the genus *Melanophryniscus*, which occurs mainly in grasslands habitats. Most species of *Melanophryniscus* have naturally restricted geographic distributions (Zank et al., 2014). Unfortunately, a phylogeny of the genus is not available, preventing any conclusions about habitat affinities and evolution. The endemic treefrog *Phyllomedusa iheringii*, however, belongs to a group of species associated with the Atlantic Forest (Brunes et al., 2010), reinforcing the importance of forest elements inside the USE. Among the reptiles, at least three species (*Liolaemus arambarensis*, *L. gardeli*, *Contomastix charrua* and *Ophiodes enzo*) have microendemic distributions, and two of them (*L. arambarensis* and *O. enzo*) are associated to the Atlantic coastal plain, while *L. gardeli* only occurs in sand dunes along the Tacuarembó river. The three species of *Liolaemus* represent an example of temperate pampean and patagonian element (Esquerre et al. 2018, Villamil et al. 2019). The phyllodactylid lizard *Homota uruguayensis* belongs to the Borelli group, being the oldest species from this group, with sister species occurring in a Dry Chaco ecoregion (Moranto et al. 2014). Unfortunately, phylogenies for the genus *Amphisbaena* and *Ophiodes* are not available, preventing any conclusions about the affinities of the endemic species.

Different degrees of fauna similarity with adjacent biogeographic formations were previously identified by different authors (Lema, 1994; Garcia et al., 2007; Bérnls et al., 2008). Amphibians and reptiles have the same general pattern of shared species between Major Habitats in southern South America. Following the classical biogeographic classification of Cabrera & Willink (1973) and also Morrone (2014), we expected more influence of species from grasslands habitats (Tropical or Subtropical) on herpetofauna composition. However, most reptiles and amphibians from the USE also occurs in Alto Parana Atlantic Forests (APAF) ecoregion - more than shared with ecoregions from Tropical and Subtropical Grasslands and Temperate Grasslands. This pattern agrees with the results of Dos Santos et al., (2015) to mayflies distribution, were the meridional USE (Uruguay country) species have tropical afinities.

Analytical parameters and their effects

Grid size has important effect on the discovery of distributional patterns. In general, small cells provide more detailed areas, but at the same time evidence some data bias (e.g. maximizing distributional omission errors) (Casagranda et al., 2009). Conversely, larger cells allow the inclusion of more species in each cell, maximizing shared patterns between species and increasing IE values (Szumik & Goloboff, 2004). The use of different grid sizes is indicated as the best option because allows the exploration of distributional patterns in different scales (Aagesen et al., 2009, 2012; Casagranda et al., 2009; Navarro et al., 2009, Hoffmeister & Ferrari, 2016). However, this approach generates many areas, hindering comparison and description of the areas. Some authors argue to define the best grid size before analysis; the approach used here followed Ribeiro et al. (2013) suggesting a $2.4^\circ \times 2.4^\circ$ grid size. This resolution does not allow the search for chorotypes inside the USE. To our knowledge, just two papers, using NDM approach since 2014, applied Ribeiro et al. (2014) method (see Klassa & Santos 2015, Klassa & Santos 2018). Both works have in common

continental and worldwide scales, property also present in Ribeiro et al. (2014) database. Other studies focused in more regional scales do not have applied this method (e.g. Amorim & Santos 2018). For cost effectiveness, it is worth evaluating before applying Ribeiro et al. (2014) method if it is adequate for the database characteristics and analytical design scale. Our results suggested that their solution is not appropriate for fine scale designs. The best approach in these cases is to make a good exploratory data analysis before defining NDM parameters. Descriptors like the percentage of cells with no data, Richness distribution and the number of searched areas in a grid-size range can evidence data characteristics and help to identify the approaches that recover more potential Endemic Areas.

Based on our taxa diversity and the high density of records, we expected that fine resolution areas would perform better in the NDM analysis. Despite this, grid-sizes smaller than $1^\circ \times 1^\circ$ were inefficient to find Individual Areas (IA). In these cases, aiming to increase the congruence of areas, the most common alternative is to use fill options. The use of fill/assume options on NDM tends to increase the number of species included, thus increasing Index of Endemism (IE) (Szumik & Goloboff, 2004). However, filling extrapolation brings the risk of maximizing incongruence too. For instance, when a species has geographic distribution adjusted with any possible area, and have few points out of that area, filling options will decrease endemicity score until a limit (here 0.3) were that species stop contributing to the IE. Otherwise, Radius fill /Radius assumed extrapolation may not be the best option to deal with data bias. Species distribution modelling (SDM) methods has been used recently, as a less empirical extrapolation method and can be used as a tool to improve search of areas of endemism (see Escalante et al., 2007, 2009a, 2009b). Combined ecological niche models and NDM approaches proved an important tool to find areas of endemism previously unidentified to Mexican mammals, even though recovering in general fewer areas than when fill/assume options were used (Escalante et al., 2009b).

The use of and optimality criterion on chorotype search implies on multiple solutions when database includes ambiguous patterns (Aagesen et al., 2013). The use of a strict rule (strict consensus) with a 50% shortcut, ensures that at least some species are shared by all the individual candidate areas (Aagesen et al., 2013). Besides this, the combination of different parameters result in the recovery of a large number of areas. Combination of β -sim and UPGMA were already explored as methods for biogeographic regionalization (Kreft & Jetz, 2010). Beta-sim index (β -sim) are richness independent thus, different of other similarity index (like Sørensen and Jaccard), least affected by the variation in richness and species absence. The use of β -sim index, with hierarchical clustering by UPGMA, generated a nesting effect on our areas. Areas recovered without Radius fill/Radius assume extrapolation were grouped with those with greater values of fill/assume, which in general have more species included. Our results indicated that the clustering procedure is a necessary step to compensate for the large number of partially redundant areas, recovered as an artifact of multiple parameters searches.

Shared chorotypes of amphibians and reptiles

In general, biogeographic regions are a representation of the geographical space hierarchically divided into units formed by shared taxa patterns. Thus, biogeographical classifications are fully dependent on the geographic distribution of the organisms used to delimit it. Ecoregions on the other hand incorporate climatic and ecological factors on this definition but have been used as biogeographical units in several studies. Studies looking for congruent endemism patterns focused in shared patterns between distinct evolutionary groups and using local scale are scarce on Neotropical region (e.g. Szumik et al. 2012; Azevedo et al. 2016). The main result of our analysis is the recovery of approximated limits of Uruguayan Savanna Ecoregion based in distributional congruence of Amphibians and Reptiles contributing to support it as biogeographical unit significant for these groups. We could recognize at least three Group Consensus Areas congruent with approximate USE

limits (Groups Consensus Areas F4+E2+C1+B3, F3+C6+A4 and E4+C3+C0+A1; Figure 6). They are formed by 11 consensus areas and include eight exclusive species from USE widely distributed in the ecoregion (Supporting Information, Appendix III and IV. However, it was especially noteworthy the non-recovery of a chorotype that could represent the traditional limits of the Pampa (Cabrera & Willink, 1973; Morrone 2014). Despite the significance of this biogeographical unity for other taxa (Cabrera & Willink, 1973), our results suggested that the limits of the Pampa are not corroborated by shared distribution pattern of amphibians and reptiles.

South American diversification processes, in general, cannot be attributed to a unique mechanism or period (Rull 2011). Major, and older geological events have shaped continents and oceans principally in the Pliocene/Miocene (Graham 2009; Cavallotto et al. 2011). Latest, climate changes and associated glaciations during Pleistocene affected basins, shorelines creating complexes scenarios for species diversification (Antonelli & Sanmartin 2011; Aragon et al. 2011). There are consensus that climatic and orogenic events have contributed to shape current biological diversity and distribution of modern species (Turchetto-Zolet et al. 2013). In general, most studies showed that herpetofauna have an early intraspecific lineage split during the Pliocene and/or Miocene (see Turchetto-Zolet et al. 2013 for a revision). During the Middle Miocene and Late Miocene at least three successive marine transgressions formed the “Paranáean sea” cutting actual USE territory and isolating Uruguayan Savannas and Argentinean Pampas. This period also coincides with the increase of equator-to-pole thermal gradient, and this cold trend is attributed to be a result of the combination of Andean uplift and Western Antarctic glaciation (Ortiz-Jaureguizar et al 2006). During Late Miocene–Early Pliocene (ca. 11–3Ma) the surface flooded by “Paranáean Sea” was succeeded by spread plains since Patagonia to upper Amazon basin (Marshall et al., 1983; Pascual et al., 1996). These new habitats lead this period to be known as “the Age of the Southern Plains” (ASP, see Pascual and Bondesio, 1982; Ortiz-Jaureguizar, 1998). ASP coincides with complete uplift of the Patagonian Andean Cordillera and glacial advance. Thus, during the ASP the climate was cooler with more

marked seasonality that in the Middle Miocene. Pleistocene climatic changes have been demonstrated to be important driver to influence demography and distribution of some species in South America. While climate was changing to drier conditions, the geographic ranges of species associated with forest habitats was reducing, favoring the expansion of grasslands and savannas (Refuge Theory, see Haffer 1969; Bennett & Provan 2008). Phylogeographic studies showed that species associated with open vegetation ecosystems show complex responses to climatic oscillation, with tendency to expand, to maintain or to shrink their distributions during glacial cycles (Turchetto-Zolet et al. 2013).

We can interpret that the chorotypes of amphibians and reptiles recovered are the result of the historical interplay between deep and shallow drivers (Antonelli, 2017) where geomorphological changes (represented by historical changes that shaped current topography) and climate oscillations (delimiting habitats or vegetational types) act shaping diversity. We demonstrated that the tropical affinity of the USE is evidenced in two levels, the degree of species shared, and the pattern of chorotype recovered. Species that occurs on temperate pampa and USE were widely distributed in other ecoregions showing that those two units do not share exclusive elements. The identification of chorotypes and spatial framework discussed herein is the base to understanding the biogeographical processes that shaped the Uruguayan Savanna diversity.

References

- Aagesen L, Szumik C, Goloboff P. 2012. Consensus in the search for areas of endemism. *Journal of Biogeography*, 40: 2011–2016.
- Aagesen L, Szumik CA, Zuloaga FO, Morrone JJ. 2009. Quantitative biogeography in the South America highlands - Recognizing the Altoandina, Puna and Prepuna through the study of Poaceae. *Cladistics*, 25: 295–310.

- Achaval F, Olmos AJ. 2003. *Anfibios y reptiles del Uruguay*. Montevideo.
- Amorim DS, Santos CM. 2018. Flies, endemism, and the Atlantic Forest: a biogeographical study using topographic units of analysis. *Australian Systematic Botany*, 30(6): 439-469.
- Antonelli A, Sanmartín I. 2011. Why are there so many plant species in the Neotropics? *Taxon*, 60(2): 403-414.
- Antonelli A. 2017. Biogeography: drivers of bioregionalization. *Nature Ecology & Evolution*, 1(4): 0114.
- Antonelli A, Zizka A, Carvalho FA, Scharn R, Bacon CD, Silvestro D, Condamine FL. 2018. Amazonia is the primary source of Neotropical biodiversity. *Proceedings of the National Academy of Sciences of the United States of America*, 115(23): 6034-6039.
- Azevedo JAR, Valdujo PH, Nogueira C. 2016. Biogeography of anurans and squamates in the Cerrado hotspot: coincident endemism patterns in the richest and most impacted savanna on the globe. *Journal of Biogeography*, 43(12): 2454-2464.
- Behling H. 2002. South and southeast Brazilian grasslands during Late Quaternary times: a synthesis. *Palaeogeography, Palaeoclimatology, Palaeoecology*, 177(1-2): 19-27.
- Bennett, KD, Provan J. 2008. What do we mean by 'refugia'? *Quaternary Science Reviews*, 27(27-28): 2449-2455.
- Bérnails RS, Giraudo AR, Carreira S, Cechin SZ. 2008. Répteis das porções subtropical e temperada da região Neotropical. *Ciência e Ambiente*, 35: 101–136.
- Bilenco D, Miñarro F. 2004. *Identificación de Áreas Valiosas de Pastizal (AVPs) en las Pampas y Campos de Argentina, Uruguay y sur de Brasil*. Fundación Vida Silvestre Argentina.
- Bond WJ, Parr CL. 2010. Beyond the forest edge: Ecology, diversity and conservation of the grassy

biomes. *Biological Conservation*, 143: 2395–2404.

Brunes TO, Sequeira F, Haddad CFB, Alexandrino J. 2010. Gene and species trees of a Neotropical group of treefrogs: Genetic diversification in the Brazilian Atlantic Forest and the origin of a polyploid species. *Molecular Phylogenetics and Evolution*, 57: 1120–1133.

Cabrera A, Yepes J, Wiedner CC. 1940. *Historia natural ediar: mamíferos sud-americanos (vida, costumbres y descripción)*. Compañía Argentina de editores.

Cabrera AL, Willink A. 1973. *Biogeografia de America Latina*. 120pp.

Cardoso da Silva JM, Cardoso de Sousa M, Castelletti CHM. 2004. Areas of endemism for passerine birds in the Atlantic forest, South America. *Global Ecology and Biogeography*, 13: 85–92.

Carnaval AC, Moritz C. 2008. Historical climate modelling predicts patterns of current biodiversity in the Brazilian Atlantic forest. *Journal of Biogeography*, 35(7): 1187-1201.

Carnaval AC, Hickerson MJ, Haddad CF, Rodrigues MT, Moritz C. 2009. Stability predicts genetic diversity in the Brazilian Atlantic forest hotspot. *Science*, 323(5915): 785-789.

Carreira S, Maneyro R. 2012. *Guía de reptiles del Uruguay*.

Casagrande MD, Arias JS, Goloboff P, Szumik CA, Taher LM, Escalante T, Morrone JJ. 2009. Proximity, interpenetration, and sympatry networks: A reply to dos santos et al. *Systematic Biology*, 58: 271–276.

Cavallotto LJ, Violante AR, Hernandez-Molina JF. 2011. Geological aspects and evolution of the Patagonian continental margin. *Biological Journal of the Linnean Society*, 103: 346–362.

Costa HC, Bérnuls RS. 2018. Répteis do Brasil e suas unidades federativas: lista de espécies. *Herpetologia Brasileira*, 7:11–57.

Silva JMCD. 1997. Endemic bird species and conservation in the Cerrado Region, South America.

Biodiversity & Conservation, 6: 435-450.

- da-Silva AAS. 2009. Geologia do Quaternário continental do RS: estado da arte e perspectivas de trabalho. *Quaternário do Rio Grande do Sul: Integrando Conhecimentos* (ed. by A.M. Ribeiro, S.G. Bauermann, and C.S. Scherer), Sociedade Brasileira de Paleontologia, Porto Alegre: 81–93.
- del Hoyo J, Collar N, Christie DA, Elliott A, Fishpool LDC. 2014. HBW and BirdLife International Illustrated Checklist of the Birds of the World.
- Deo AJ, DeSalle R. 2006. Nested areas of endemism analysis. *Journal of Biogeography*, 33(9): 1511-1526.
- Di-Bernardo M, Borges-Martins, M, Oliveira RB de. 2004. Proposed deletion of eight species of snakes from the Brazilian State of Rio Grande do Sul herpetofauna. *Comunicações do Museu de Ciências da PUCRS, Série Zoologia*, 17: 45–50.
- Dinerstein ED, Olson DM, Graham DJ, Webster AL, Primm AS, Bookbinder MP, Ledec G. 1995. A *Conservation Assessment of the Terrestrial Ecoregions of Latin America and the Caribbean*. Washington D.C., The World Bank & WWF, 129pp.
- Dos Santos DA, Emmerich D, Molineri C, Nieto C, Domínguez E. 2015. On the position of Uruguay in the South American biogeographical puzzle: insights from Ephemeroptera (Insecta). *Journal of Biogeography*, 43(2): 361-371.
- Duarte LDS, Both C, Debastiani VJ, Carlucci MB, Gonçalves LO, Cappelatti L, Seger GDS, Bastazini VAG, Brum FT, Salengue EV, Bernardo-Silva JS. 2014. Climate effects on amphibian distributions depend on phylogenetic resolution and the biogeographical history of taxa. *Global Ecology and Biogeography*, 23: 213–222.
- Escalante T, Sánchez-Cordero V, Morrone JJ, Linaje M. 2007. Areas of endemism of Mexican Terrestrial mammals: A case study using species' ecological niche modeling, parsimony analysis

of endemicity and goloboff fit. *Interciencia*, 32: 151–159.

Escalante T, Linaje M, Illoldi-Rangel P, Rivas M, Estrada P, Neira F, Morrone JJ. 2009a. Ecological niche models and patterns of richness and endemism of the southern Andean genus Eurymetopum (Coleoptera, Cleridae). *Revista Brasileira de Entomologia*, 53: 379–385.

Escalante T, Szumik C, Morrone JJ. 2009b. Areas of endemism of Mexican mammals: Reanalysis applying the optimality criterion. *Biological Journal of the Linnean Society*, 98: 468–478.

Escalante T. 2015. Parsimony analysis of endemicity and analysis of endemicity: a fair comparison. *Systematics and Biodiversity*, 13(5): 413-418.

Esquerre D, Brennan IG, Catullo RA, Torres-Pérez F, Keogh JS. 2019. How mountains shape biodiversity: The role of the Andes in biogeography, diversification, and reproductive biology in South America's most species-rich lizard radiation (Squamata: Liolaemidae). *Evolution*, 73(2): 214-230.

Fattorini, S. 2016. A history of chorological categories. *History and Philosophy of the Life Sciences*, 38: 12.

Ferrari, A. 2017. Biogeographical units matter. *Australian Systematic Botany*, 30(6): 391-402.

Fittkau EJ. 1969. Esboço de uma divisão ecológica da região amazônica. In *Proc. Symp. Biol. Trop. Amaz.*, Florencia y Leticia: 363–372.

Frost DR. 2018. Amphibian Species of the World: an Online Reference. Version 6.0 (acessed 10/30/2018). Electronic Database accessible at <http://research.amnh.org/herpetology/amphibia/index.html>. American Museum of Natural History, New York, USA.

Garcia PCA, Lavilla E, Langone J, Segalla MV. 2007. Anfíbios da região subtropical da América do Sul.

Ciência & Ambiente, 35: 65–100.

Google (2018) Google Earth PRO.

Graham A. 2009. The Andes: a geological overview from a biological perspective. *Annals of the Missouri Botanical Garden*, 96: 371–385.

Hasenack H, Weber E, Boldrini II, Trevisan R. 2010. Mapa de sistemas ecológicos da ecorregião das savanas uruguaias em escala 1: 500.000 ou superior e relatório técnico descrevendo insumos utilizados e metodologia de elaboração do mapa de sistemas ecológicos. *Porto Alegre, UFRGS, Centro de Ecologia*, .

Haffer J. 1969. Speciation in Amazonian forest birds. *Science*, 165(3889): 131-137.

Hausdorf B. 2002. Units in Biogeography. *Systematic Biology*, 51: 648–652.

Hijmans RJ, van Etten J, Mattiuzzi M, Sumner M, Greenberg JA, Lamigueiro OP, Shortridge A. 2013. Raster package in R.

Hoffmeister CH, Ferrari A. 2016. Areas of endemism of arthropods in the Atlantic Forest (Brazil): an approach based on a metaconsensus criterion using endemicity analysis. *Biological Journal of the Linnean Society*, 119: 126–144.

Hueck K, Siebert P. 1981. Vegetationskarte von Südamerika: mit Erläuterungen. Gustav Fischer Verlag.

Klassa B, Santos CM. 2015. Areas of endemism in the Neotropical region based on the geographical distribution of Tabanomorpha (Diptera: Brachycera). *Zootaxa*, 4058(4): 519-534.

Klassa B, Santos CM. 2018. Primary hypotheses of global areas of endemism based on the distribution of Tabanomorpha (Diptera, Brachycera). *Zootaxa*, 4399(3): 423-433.

Kwet A. 2001. *Frösche im brasilianischen Araukarienwald - Anurengemeinschaft des*

Araukarienwaldes von Rio Grande do Sul: Diversität, Reproduktion und Ressourcenaufteilung.

Natur und Tier-Verlag, Tübingen.

Kreft H, Jetz W. 2010. A framework for delineating biogeographical regions based on species distributions. *Journal of Biogeography* 37(11): 2029-2053.

Lema T de. 1994. Lista comentada dos répteis ocorrentes no Rio Grande do Sul, Brasil. *Comunicações do Museu de Ciências e Tecnologia da PUCRS, série Zoologia*, 7: 41–150.

Linder HP, de Klerk, HM, Born, J, Burgess, ND, Fjeldså, J, Rahbek, C .2012. The partitioning of Africa: statistically defined biogeographical regions in sub-Saharan Africa. *Journal of Biogeography*, 39(7), 1189-1205.

Maechler M, Rousseeuw P, Struyf A, Hubert M, Hornik K. 2013. Package ‘cluster’.

Maneyro R, Carreira S. 2012. *Guía de anfibios del Uruguay*.

Morando M, Medina CD, Avila LJ, Perez CH, Buxton A, Sites Jr JW. 2014. Molecular phylogeny of the New World gecko genus Homonota (Squamata: Phyllodactylidae). *Zoologica Scripta*, 43(3): 249-260.

Morrone JJ. 1994. On the identification of areas of endemism. *Systematic Biology*, 43(3): 438-441.

Morrone JJ. 2001. Homology, biogeography and areas of endemism. *Diversity and Distributions*, 7: 297–300.

Morrone JJ. 2014. Biogeographical regionalisation of the Neotropical region. *Zootaxa*, 3782: 1–110.

Morrone JJ. 2017. *Neotropical Biogeography. Regionalization and Evolution*.

Navarro FR, Cuezzo FDC, Goloboff PA, Szumik CA, Lizarralde MS, Quintana MG. 2009. Can insect data be used to infer areas of endemism? An example from the Yungas of Argentina. *Revista Chilena de Historia Natural* 82: 507-522.

- Nogueira C, Ribeiro S, Costa GC, Coll, GR. 2011. Vicariance and endemism in a Neotropical savanna hotspot: Distribution patterns of Cerrado squamate reptiles. *Journal of Biogeography*, 38: 1907–1922.
- Olson DM, Dinerstein E, Wikramanayake ED, Burgess ND, Powell GVN, Underwood EC, D'amico JA, Itoua I, Strand HE, Morrison JC, Loucks CJ, Allnutt TF, Ricketts TH, Kura Y, Lamoreux JF, Wettengel WW, Hedao P, Kassem KR. 2001. Terrestrial Ecoregions of the World: A New Map of Life on Earth. *BioScience*, 51: 933.
- Oksanen J, Blanchet FG, Kindt R, Legendre P, Minchin PR, O'hara RB, Oksanen MJ. 2013. *Package 'vegan'*. Community ecology package, version, 2(9): 1-295.
- Ortiz-Jaureguizar, E. 1998. Paleoecología y evolución de la fauna de mamíferos de América del Sur durante la «Edad de las Planicies Australes»(Mioceno superior-Plioceno superior). *Estudios Geológicos*, 54(3-4): 161-169.
- Ortiz-Jaureguizar E, Cladera GA. 2006. Paleoenvironmental evolution of southern South America during the Cenozoic. *Journal of Arid Environments*, 66(3): 498-532.
- Overbeck GE, Müller SC, Fidelis A, Pfadenhauer J, Pillar VD, Blanco CC, Boldrini II, Both R, Forneck ED. 2007. Brazil's neglected biome: The South Brazilian Campos. *Perspectives in Plant Ecology, Evolution and Systematics*, 9: 101–116.
- Pascual R, Bondesio P. 1982. Un roedor Cardiatheriinae (Hydrochoeridae) de la Edad Huayqueriense (Mioceno tardío) de La Pampa. Sumario de los ambientes terrestres en la Argentina durante el Mioceno. *Ameghiniana*, 19(1-2): 19-35.
- Passalacqua NG. 2015. On the definition of element, chorotype and component in biogeography. *Journal of Biogeography*, 42: 611–618.
- Pinillos M, Sarmiento G, Orlóci L, Pillar VD. 2009. Understanding forest-grassland mosaics: Three case

studies on the basaltic plateaus in humid subtropical Brazil. *Ecotropicos*, 22: 110–128.

Porto TJ, Carnaval AC, da Rocha PLB. 2013. Evaluating forest refugial models using species distribution models, model filling and inclusion: a case study with 14 Brazilian species. *Diversity and Distributions*, 19(3): 330-340.

Ribeiro GC, Santos CMD, Olivieri LT, Santos D, Berbert JM, Eterovic A. 2014. The world's biogeographical regions revisited: Global patterns of endemism in Tipulidae (Diptera). *Zootaxa*, 3847: 241–258.

Roll U, Feldman A, Novosolov M, Allison A, Bauer AM, Bernard R, Böhm M, Castro-Herrera F, Chirio L, Collen B, Colli GR, Dabool L, Das I, Doan TM, Grismer LL, Hoogmoed M, Itescu Y, Kraus F, LeBreton M, Lewin A, Martins M, Maza E, Meirte D, Nagy ZT, Nogueira CC, Pauwels OSG, Pincheira-Donoso D, Powney GD, Sindaco R, Tallowin OJS, Torres-Carvajal O, Trape JF, Vidan E, Uetz P, Wagner P, Wang Y, Orme CDL, Grenyer R, Meiri S. 2017. The global distribution of tetrapods reveals a need for targeted reptile conservation. *Nature Ecology and Evolution*, 1: 1677–1682.

Rossa-Feres DDC, Garey MV, Caramaschi U, Napoli MF, Nomura F, Bispo AA, Cruz, CAG. 2017. Anfíbios da Mata Atlântica: lista de espécies, histórico dos estudos, biologia e conservação. *Revisões em Zoologia: Mata Atlântica*, 237-314.

Rull V. 2011. Neotropical biodiversity: timing and potential drivers. *Trends in ecology & evolution*, 26(10): 508-513.

Saura S, Bastin L, Battistella L, Mandrici A, Dubois G. 2017. Protected areas in the world's ecoregions: How well connected are they? *Ecological Indicators*, 76: 144–158.

Soriano A, León RJC, Sala OE, Lavado RS, Dereibus VA, Cahuepé MA, Scaglia OA, Velazquez CA, Lemcoff JH. 1992. *Río de la Plata grasslands*. Ecosystems of the World 8A. Natural Grasslands

(ed. by R.T. Coupland), pp. 367–407. Elsevier, New York.

Szumik CA, Cuezzo F, Goloboff PA, Chalup AE. 2002. An Optimality Criterion to Determine Areas of Endemism. *Systematic Biology*, 51: 806–816.

Szumik CA, Goloboff PA. 2004. Areas of Endemism: An Improved Optimality Criterion. *Systematic Biology*, 53: 968–977.

Szumik CA, Aagesen L, Casagranda D, Arzamendia V, Baldo D., Clapsa LE, Cuezzo F, Gómez JMD, Di Giacomo A, Giraudo A, Goloboff P, Gramajo C, Kopuchian C, Kretzschmar S, Lizarralde M, Molina A, Molerach M, Navarro F, Nomdedeu S, Panizza A, Pereyra VV, Sandoval M, Scrocchi G, Zuloaga FO. 2012. Detecting areas of endemism with a taxonomically diverse data set: plants, mammals, reptiles, amphibians, birds, and insects from Argentina. *Cladistics*, 28: 317–329.

Thomé MTC, Zamudio KR, Giovanelli JG, Haddad CF, Baldissera Jr FA, Alexandrino J. 2010.

Phylogeography of endemic toads and post-Pliocene persistence of the Brazilian Atlantic Forest. *Molecular phylogenetics and evolution*, 55(3): 1018-1031.

Tozetti AM, Sawaya RJ, Molina FB, Bérnils RS, Barbo FE, Moura-Leite JC, Borges-Martins M, Recoder R, Teixeira-Junior M, Argôlo AJS, Morato SAA, Rodrigues MT. 2017. Répteis. *Revisões em Zoologia: Mata Atlântica*, 315-364.

Turchetto-Zolet AC, Pinheiro F, Salgueiro F, Palma-Silva C. 2013. Phylogeographical patterns shed light on evolutionary process in South America. *Molecular ecology*, 22(5): 1193-1213.

R Core Team. 2018. A language and environment for statistical computing.

Uetz P, Freed P, Hošek J. (eds.). 2018. The Reptile Database, <http://www.reptile-database.org>, accessed [10/30/2018]

Valdujo PH, Silvano DL, Colli G, Martins M. 2012. Anuran Species Composition and Distribution

Patterns in Brazilian Cerrado, a Neotropical Hotspot. *South American Journal of Herpetology*, 7: 63–78.

Villamil J, Avila LJ, Morando M, Sites Jr JW, Leaché AD, Maneyro R, Camargo A. 2019. Coalescent-based species delimitation in the sand lizards of the *Liolaemus wiegmannii* complex (Squamata: Liolaemidae). *Molecular phylogenetics and evolution*, 138: 89-101.

Vitt LJ, Caldwell JP. 2013. *Herpetology: An Introductory Biology of Amphibians and Reptiles*. Elsevier Science

Wilson DE, Reeder DM. 2011. Class Mammalia Linnaeus, 1758. In: Animal biodiversity: An outline of higher-level classification and survey of taxonomic richness (Zhang, Z.-Q., Ed.). *Zootaxa* 3148: 56-60.

WWF. 2001. Terrestrial ecoregions of the world. Available at
<https://www.worldwildlife.org/ecoregions/nt0710>.

Zank C, Becker FG, Abadie M, Baldo D, Maneyro R, Borges-Martins M. 2014. Climate change and the distribution of neotropical red-bellied toads (*Melanophrynniscus*, Anura, Amphibia): How to prioritize species and populations? *PLoS ONE*, 9: 1–11.

Zizka A. 2015. speciesgeocodeR: Prepare Species Distributions for the Use in Phylogenetic Analyses.

Capítulo 2

**O QUE OS PADRÕES ESPACIAIS ESCONDEM? UMA VISÃO DOS CORÓTIPOS EM
BIOGEOGRAFIA BASEADA EM COMPARAÇÕES DE NICHO ECOLÓGICO.**

A ser submetido para Journal of Biogeography.

O QUE OS PADRÕES ESPACIAIS ESCONDEM? UMA VISÃO DOS CORÓTIPOS EM BIOGEOGRAFIA BASEADA EM COMPARAÇÕES DE NICHO ECOLÓGICO.

Alvares¹, Diego Janisch; Ferrari^{1,2}, Augusto; Borges-Martins¹, Márcio

¹ Programa de Pós–Graduação em Biologia Animal, Departamento de Zoologia, Instituto de Biociências, Universidade Federal do Rio Grande do Sul, Porto Alegre, Rio Grande do Sul, Brasil.

² Instituto de Ciências Biológicas, Universidade Federal do Rio Grande, FURG, Campus Carreiros, Rio Grande, Rio Grande do Sul, Brasil.

Contato: Diego Janisch Alvares, Programa de Pós-Graduação em Biologia Animal, Laboratório de Herpetologia, Avenida Bento Gonçalves 9500, 91501-970, Porto Alegre, RS, Brasil. E-mail: diego.jalvares@gmail.com

Resumo:

As áreas de endemismo são as unidades fundamentais da biogeografia comparada. A sua identificação, a partir de comparação espacial de distribuições geográficas, é limitada pela escala possível de trabalho. A partir da teoria do nicho ecológico podemos utilizar modelos correlativos de distribuição geográfica e comparar como esse nicho é expresso dentro dos corótipos previamente identificados. Nesse artigo buscamos avaliar a partir de uma perspectiva de nicho ecológico, o que está sendo capturado pelas análises de NDM, bem como utilizar essas ferramentas para refiná-las. Identificamos diferentes níveis de sobreposição de nicho entre os pares de espécies que formam os corótipos. De maneira geral, corótipos compostos por mais espécies e mais áreas tendem a uma maior porcentagem de nichos distintos. Parâmetros de busca como tamanho de quadrícula e estratégias de extração das distribuições afetam as proporções de nichos distintos dentro dos corótipos. O conceito de corótipos não pressupõe que as espécies tenham nichos semelhantes,

apesar de ele estar correlacionado com sua distribuição geográfica. Essas abordagens têm potencial para auxiliar a gerar hipóteses acerca dos processos geradores dos padrões, bem como refinar áreas geradas por artefatos da análise (e.g. estratégias de metaconsenso).

Introdução:

Áreas de endemismo podem ser consideradas as unidades fundamentais para análises comparadas em biogeografia (Ferrari 2017). Essas unidades podem ter como objetivo gerar regionalização (e.g. Escalante et al. 2010), testar esquemas já propostos (e.g. Escalante et al. 2009) ou até identificação de áreas de transição entre unidades biogeográficas (e.g. Szumik et al. 2012). Recentemente diferentes abordagens buscaram além de identificar, descrever essas áreas de acordo com características climáticas, de relevo e/ou históricas (e.g. Vasconcelos et al. 2014, Noorozzi et al. 2018, Escalante et al. 2019). Essas áreas, aqui chamadas de corótipos (Janisch, Ferrari & Borges-Martins, capítulo 1), são identificadas a partir da sobreposição da distribuição de duas ou mais espécies no espaço geográfico (Fattorini, 2016). A distribuição geográfica é, portanto, a base para a identificação de corótipos e pode ser definida como o subconjunto do espaço geográfico em que a presença de indivíduos ou populações de uma espécie podem ser detectadas (Peterson et al. 2011). Essa área ocupada é resultado da interação de três componentes básicos: Fatores bióticos, fatores abióticos e a capacidade de movimento das espécies e formam a base para a compreensão do nicho ecológico (Soberon, 2007).

Um dos métodos mais utilizados na busca por congruência entre a distribuição geográfica de espécies é a Análise de Endemicidade (NDM/VNDM), porém, assim como a maioria dos métodos, suas análises são dependentes de uma definição de unidade de análise escolhida *a priori* (Szumik & Goloboff, 2004). A definição da resolução utilizada geralmente é arbitrária e definida a partir da escala espacial do trabalho. Embora existam métodos propostos para definição do melhor tamanho

de célula antes da análise (e.g. Ribeiro et al. 2014), uma descrição adequada da distribuição geográfica associada a análises exploratórias dos dados parecem ser a melhor estratégia para definir o tamanho da célula (Janisch, Ferrari & Borges-Martins, capítulo 1). Métodos como o NDM buscam compensar esse tipo de viés com estratégias explicitamente espaciais de *filling gaps* (Szumik et al. 2006). Essas estratégias extrapolam a distribuição dos táxons para quadrículas adjacentes com um critério puramente espacial ignorando a heterogeneidade ambiental presente. A utilização de ferramentas de modelagem de distribuição associadas a métodos explícitos de busca de áreas de endemismo já foi explorada como opção às estratégias de *filling gaps* (Escalante et al. 2007, Escalante et al. 2009a). Essas estimativas, entretanto, são uma fonte de ruído em potencial se usadas como substitutas dos dados brutos de distribuição com risco de gerar congruências artificiais.

O termo nicho ecológico possui diversas definições conforme o propósito e/ou problema biológico abordado (Soberón 2007, Colwell & Rangel 2009, Soberón & Nakamura 2009). Em termos gerais, a dualidade entre os espaços ambiental e geográfico (Colwell & Rangel 2009) permite registrar as condições ambientais onde uma espécie ocorre ou estabelecer a tolerância fisiológica via experimentação (i.e., o nicho fundamental) e determinar no espaço regiões potencialmente viáveis para a sobrevivência dos indivíduos (i.e. distribuição geográfica potencial ou *species distribution models* – SDM sensu (Elith & Leathwick, 2009)). Apesar dessa distribuição potencial não representar a realidade biológica da distribuição das espécies (ver críticas em Soberón 2010), são ferramentas com um potencial para estimar a distribuição das espécies de forma menos empírica. Preocupações como risco de invasões biológicas e resposta a mudanças climáticas globais tem levado pesquisadores a quantificar diferenças entre os nichos de espécies projetadas em um contexto geográfico (Broennimann et al. 2012). Apenas recentemente, o desenvolvimento de técnicas para quantificar sobreposição de nichos ambientais vem recebendo maior atenção (Broennimann et al. 2012, Warren et al. 2008, Mammola 2019).

Dadas as limitações de escala possíveis para implementação de métodos como o NDM/VNDM, modelos correlativos de nicho ecológico permitem transitar para uma escala espacial mais fina permitindo o refinamento desses padrões. A comparação direta de métricas de similaridade de nicho entre pares de espécies podem auxiliar na busca por erros na definição das áreas bem como permitir alguma compreensão sobre processos geradores desses padrões. Nesse artigo buscamos avaliar a partir de uma perspectiva de nicho ecológico, o que está sendo capturado pelas análises de NDM.

Metodologia:

Corótipos de anfíbios e répteis na Savana Uruguaia:

A partir de uma compilação de 82830 registros de distribuição geográfica completa de 143 espécies de anfíbios e répteis com ocorrência na ecoregião Savana Uruguaia foram implementadas Análises de Endemicidade (NDM/VNDM) que identificaram 38 áreas de consenso. Essas áreas foram resultado de diferentes combinações de parâmetros em análises executadas separadamente, assim, é necessária uma estratégia de meta-consenso buscando agrupar áreas redundantes (ver capítulo 1 para metodologia detalhada). O resultado foi composto por 17 grupos de padrões compartilhados de distribuição geográfica (Figura 1) formados a partir da distribuição de 43 espécies (Apêndice I, Material Suplementar IV).

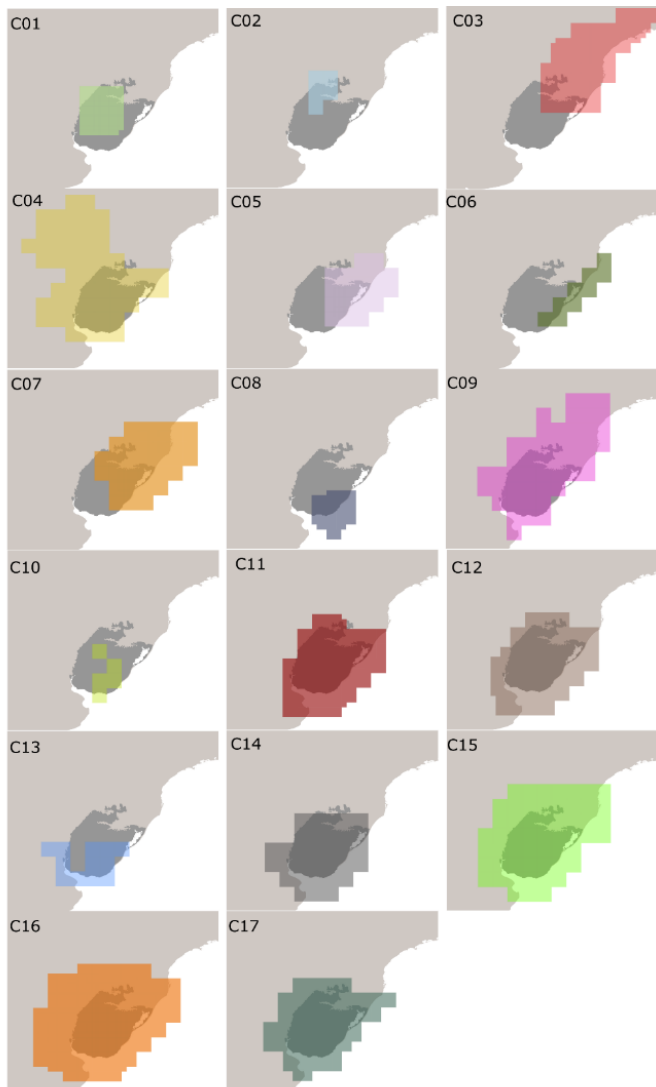


Figura 1. Corótipos resultantes de meta-consenso gerados a partir de Análise de Endemicidade de espécies de anfíbios e répteis com ocorrência na ecoregião Savana Uruguaiense (detalhes no Capítulo 1).

Variáveis ambientais:

Para comparar o nicho das espécies, selecionamos variáveis bioclimáticas do projeto Worldclim na resolução de 2.5 arc minutos ($\sim 5 \text{ km}^2$). Essas variáveis são geradas a partir de médias, máximas e mínimas relacionadas a temperatura e precipitação (Hijmans et al., 2005). Adicionamos a estas, variáveis relacionadas ao relevo (altitude e inclinação) do projeto EarthEnv (Amatulli et al., 2018). Uma das etapas essenciais para a elaboração de bons modelos de distribuição geográfica é a

eliminação de variáveis correlacionadas para evitar sobreajuste dos modelos (Peterson et al., 2011).

Assim, para minimizar esse efeito, utilizamos a análise de fatores varimax selecionando o conjunto de variáveis com os maiores scores para os cinco primeiros fatores (Terribile et al. 2012). Todas análises foram realizadas no R (R Development Core Team 2016) usando os pacotes raster (Hijmans, 2019) e psych (Revelle, 2018).

Modelos de Distribuição Geográfica:

Os SDM's foram gerados usando cinco algoritmos: Maximum Entropy (MaxEnt; Phillips et al., 2006), Support Vector Machine (SVM; Cortes & Vapnik, 1995), Generalized Linear Model (GLM; Guisan et al., 2002), Random Forest (RDF; Breiman, 2001) e Bioclim (Busby, 1991). Esses algoritmos foram escolhidos por representar a maioria das estratégias de SDM's, porém, por vezes necessitam de conjuntos de dados de presença/pseudo-ausência ou presença/background. Assim, quando necessário, geramos os dados de pseudo-ausência de forma aleatória em mesmo número de pontos de presença para cada espécie. Para os dados de background, foram selecionados 10000 pontos aleatórios na América do Sul. Diferentes algoritmos de SDM's geram estratégias diferentes de geração de modelos e são, portanto, uma das maiores fontes de variação entre diferentes modelos (Franklin, 2010). Desta forma adotamos uma estratégia de “ensemble” com objetivo de reduzir a incerteza entre diferentes modelos (Diniz-Filho et al., 2009). O “ensemble” de cada espécie foi gerado selecionando aqueles algoritmos com “True Skill Statistic” (TSS) maior do que 0.6. Com objetivo de gerar mapas de presença e ausência foi calculada a média do “equal traning specificity plus sensitivity” ponderado pelo TSS de cada espécie. Os modelos foram efetuados no software R versão 3.5.1 (R Core Team, 2018), utilizando os pacotes modelos (Rocha, 2019). Para criação de dados de pseudo-ausência e as previsões dos modelos, também foi utilizado o pacote dismo (Hijmans et al., 2013).

Cálculo sobreposição par a par:

Seguimos a metodologia proposta por Broennimann et al. (2012) para medir sobreposição de nicho entre os pares de espécies. A partir das localidades onde as espécies ocorrem e as variáveis ambientais selecionadas anteriormente foram geradas duas Análises de Componentes Principais (PCA) distintas. A primeira leva em consideração a distribuição de todas as espécies de interesse, assim, os seus eixos buscam maximizar a variância ambiental na área de interesse. Alternadamente são geradas PCA's para cada uma das distribuições das espécies de interesse. Então esses scores são projetados em uma grade de células delimitada pelos scores mínimos e máximos da PCA da área. Então a densidade da distribuição de cada espécie em cada célula é estimada a partir de uma distribuição de Kernel. A sobreposição global é calculada a partir do índice de Shoener's (D) (ver Broennimann et al. 2012 para detalhes de cálculo). Na sequência foi gerado um teste de similaridade de nicho (Warren et al. 2008) onde a significância estatística da sobreposição de nicho medida é testada comparando-a com distribuições aleatórias na área de estudo. Todas as análises foram realizadas no software R versão 3.5.1 (R Core Team, 2018), utilizando o pacote ecospat (Broennimann et al. 2018)

Resultados:

Do conjunto de 21 variáveis testadas, cinco variáveis foram selecionadas para elaboração dos SDMs e das análises de sobreposição de nicho (Tabela 1). Das 143 espécies incluídas na busca de corótipos apenas 43 suportaram alguma área. Cinco dessas espécies possuíam dados insuficientes para gerar as análises de modelagem e sobreposição de nicho (menos de 5 registros). Foi possível gerar 703 valores de sobreposição de nicho entre todas as espécies envolvidas (Apêndice I, Material Suplementar II).

Tabela 1. Valores de cada fator para cada uma das variáveis abióticas exploradas. Em negrito as variáveis selecionadas. Asteriscos sinalizam maiores valores.

| Variável Ambiental | Fator 1 | Fator 2 | Fator 3 | Fator 4 | Fator 5 |
|--------------------|---------|---------|---------|---------|---------|
| Bio1 | 0.07 | -0.23 | 0.95* | 0.22 | 0.01 |
| Bio2 | 0.11 | -0.15 | 0.01 | 0.92* | 0.35 |
| Bio3 | 0.65 | -0.03 | 0.14 | 0.15 | 0.71* |
| Bio4 | -0.59 | -0.14 | -0.18 | 0.61 | -0.47 |
| Bio5 | -0.29 | -0.22 | 0.56 | 0.71 | -0.19 |
| Bio6 | 0.11 | -0.03 | 0.92 | -0.35 | -0.04 |
| Bio7 | -0.34 | -0.17 | -0.13 | 0.9 | -0.14 |
| Bio8 | 0.24 | -0.55 | 0.34 | 0.39 | -0.16 |
| Bio9 | -0.23 | 0.35 | 0.43 | -0.25 | 0.21 |
| Bio10 | -0.21 | -0.27 | 0.76 | 0.49 | -0.25 |
| Bio11 | 0.29 | -0.13 | 0.93 | -0.04 | 0.17 |
| Bio12 | 0.79 | 0.59 | 0.08 | -0.05 | 0.02 |
| Bio13 | 0.96 | 0.05 | 0.1 | -0.02 | 0.06 |
| Bio14 | 0.31 | 0.91 | -0.1 | -0.09 | -0.03 |
| Bio15 | 0.32 | -0.84 | 0.23 | 0.11 | 0.15 |
| Bio16 | 0.96 | 0.07 | 0.12 | -0.1 | 0.04 |
| Bio17 | 0.35 | 0.92 | -0.09 | -0.07 | 0.03 |
| Bio18 | 0.96* | 0.01 | 0.09 | -0.18 | 0.07 |
| Bio19 | 0.23 | 0.94* | -0.05 | -0.18 | 0.12 |
| Altitude | 0.67 | 0.05 | -0.42 | -0.11 | 0.5 |
| Declive | 0.48 | 0.27 | -0.16 | -0.11 | 0.19 |

A partir dos valores de sobreposição de nicho par a par foi possível observar a relação entre os corótípos, o número de espécies que compõe cada um e a porcentagem de pares com índice de

Shoener's (D) não significativo (Figura 2). O corótipo 05 (Figuras 3 e 4) foi o que apresentou maior proporção entre pares de espécies sem sobreposição, valores de comparação entre os nichos estão representados na Tabela 2. Os SDM's e a representação espacial dos nichos mostraram a composição do corótipo por elementos espécies que ocupam ambientes distintos (Figura 4).

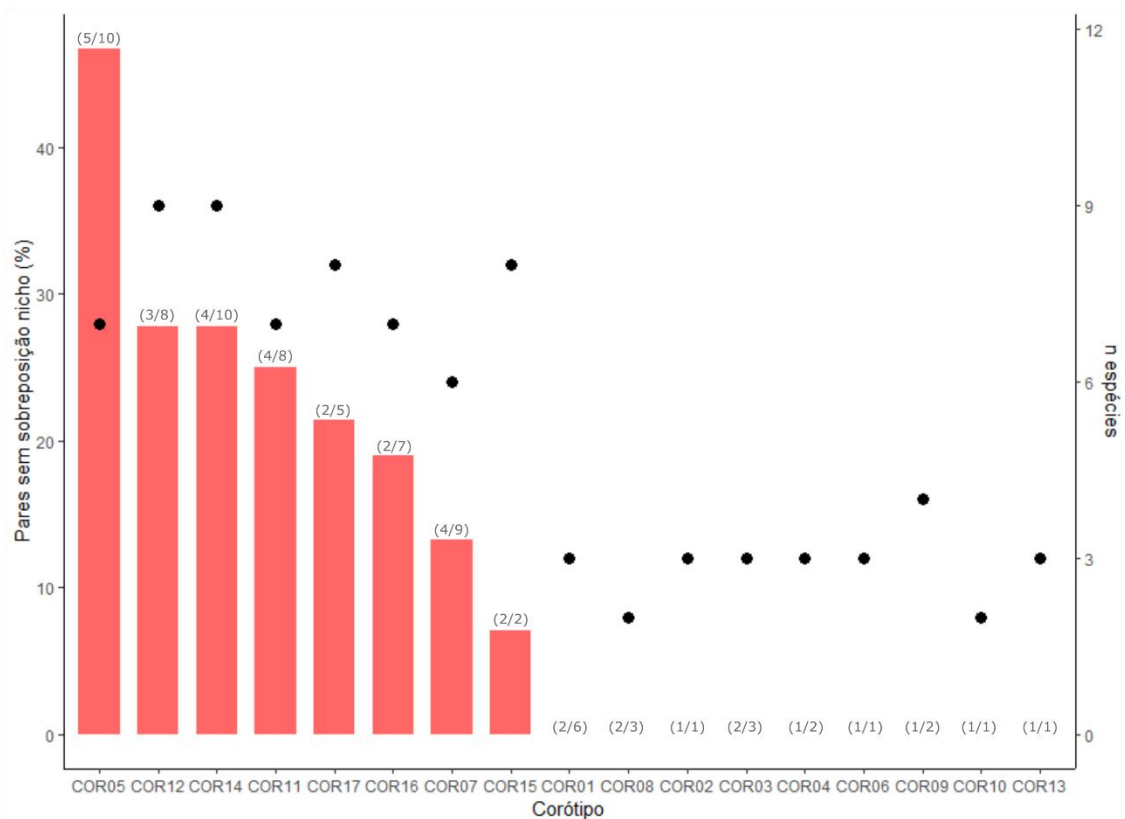


Figura 2: Relação entre a proporção de pares sem sobreposição de nicho (barras) e número de espécies (pontos) em cada corótipo para anfíbios e répteis da ecorregião Savana Uruguaia. Valores entre parêntese significam número de consensos/áreas individuais agrupadas em cada corótipo.

Tabela 2. Comparações de sobreposição de nicho entre pares de espécies que compõem o corótipo

05. Pares de espécies entre as quais não foi possível efetuar as comparações estão sinalizadas como NA.

| Espécie 1 | Espécie 2 | D | Significativo |
|-------------------------------------|-------------------------------------|-------|---------------|
| <i>Liolaemus arambarensis</i> | <i>Sibynomorphus aff neuwiedi</i> | 0.151 | Sim |
| | <i>Melanophryniscus dorsalis</i> | 0.085 | Sim |
| | <i>Calamodontophis paucidens</i> | 0.000 | Não |
| | <i>Liolaemus occipitalis</i> | 0.036 | Sim |
| | <i>Melanophryniscus pachyrhynus</i> | 0.134 | Sim |
| <i>Sibynomorphus aff neuwiedi</i> | <i>Ophiodes enso</i> | x | NA |
| | <i>Melanophryniscus dorsalis</i> | 0.367 | Sim |
| | <i>Calamodontophis paucidens</i> | 0.079 | Não |
| | <i>Liolaemus occipitalis</i> | 0.246 | Não |
| | <i>Melanophryniscus pachyrhynus</i> | 0.644 | Sim |
| <i>Melanophryniscus dorsalis</i> | <i>Ophiodes enso</i> | x | NA |
| | <i>Calamodontophis paucidens</i> | 0.005 | Não |
| | <i>Liolaemus occipitalis</i> | 0.560 | Sim |
| | <i>Melanophryniscus pachyrhynus</i> | 0.149 | Sim |
| | <i>Ophiodes enso</i> | x | NA |
| <i>Calamodontophis paucidens</i> | <i>Liolaemus occipitalis</i> | 0.006 | Não |
| | <i>Melanophryniscus pachyrhynus</i> | 0.076 | Não |
| | <i>Ophiodes enso</i> | x | NA |
| <i>Liolaemus occipitalis</i> | <i>Melanophryniscus pachyrhynus</i> | 0.067 | Não |
| | <i>Ophiodes enso</i> | x | NA |
| <i>Melanophryniscus pachyrhynus</i> | <i>Ophiodes enso</i> | x | NA |

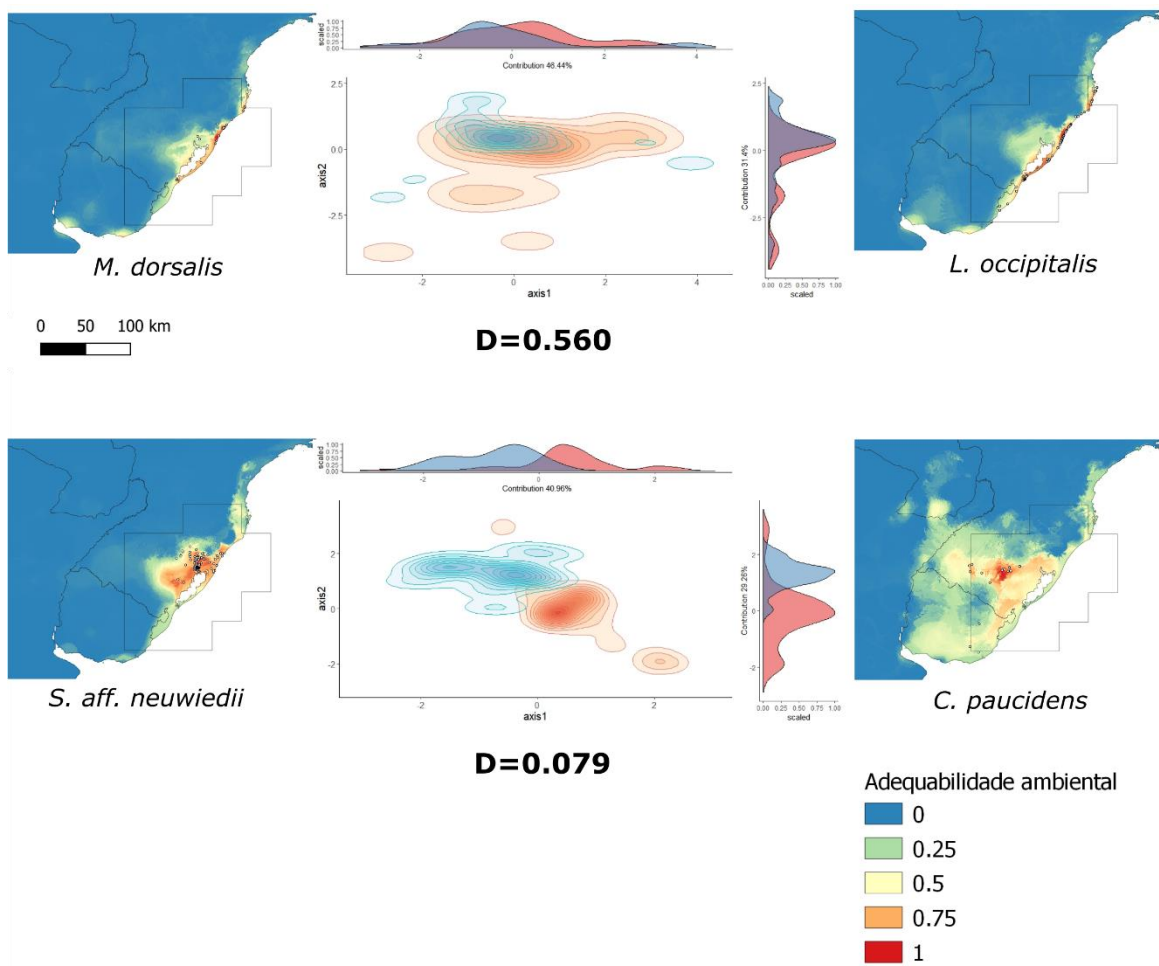


Figura 3. Exemplo de pares de espécies que compõem o corótipo 05 em diferentes graus de sobreposição de nicho. Nos gráficos de espacialização do nicho, as curvas azuis são sempre referentes ao nicho a espécie da coluna da esquerda e o nicho vermelho referente a espécie da coluna da direita. Os mapas representam os respectivos SDM's com destaque para o contorno do corótipo 05.

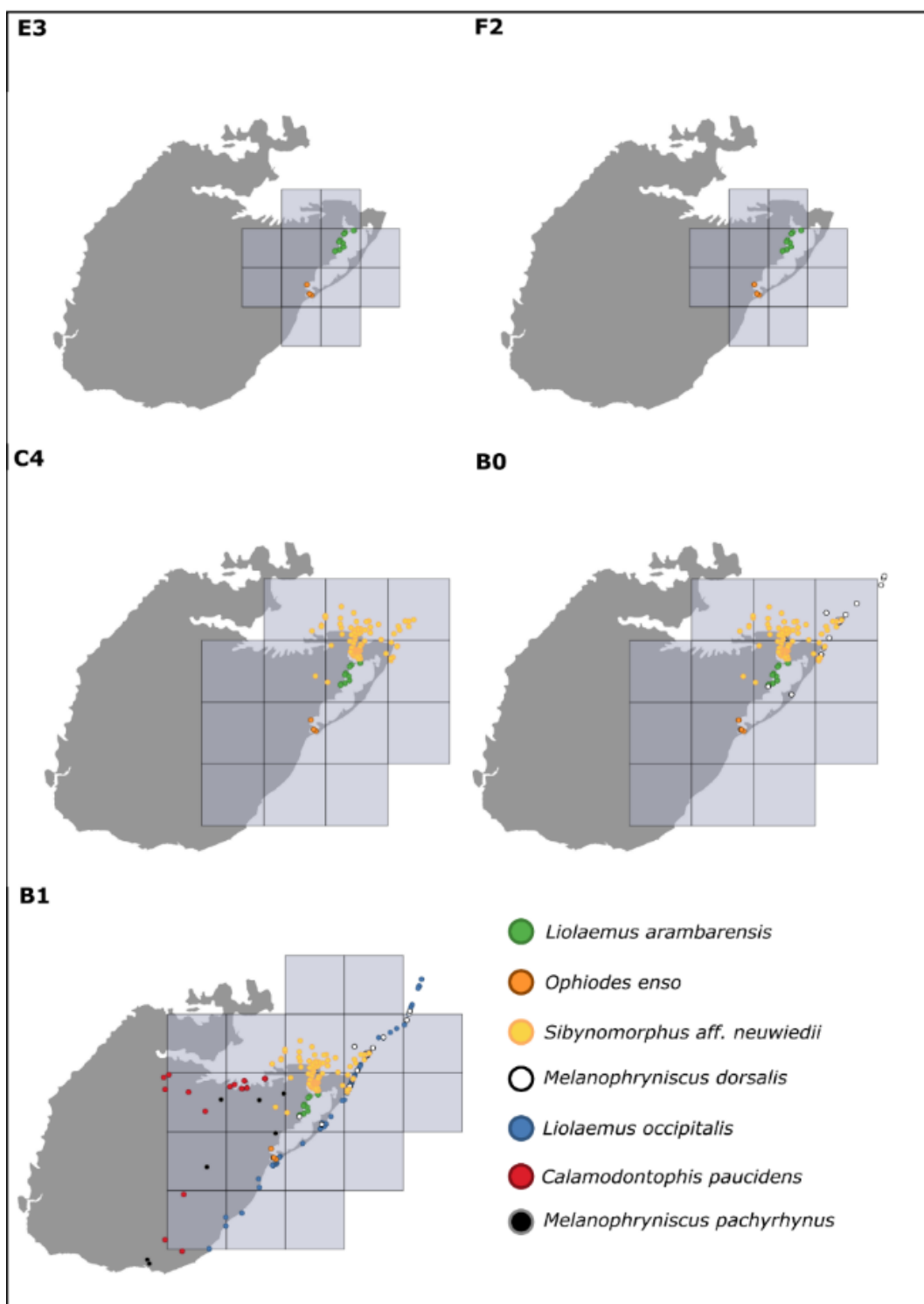


Figura 4: Corótipo 05, resultante da análise de endemicidade de anfíbios e répteis da Savana Uruguaia, formado pelas áreas E3 e F2, sendo definidas por um espécies que são um subconjunto das que formam as áreas C4, B0 e B1.

Em relação aos parâmetros escolhidos em cada conjunto de análises (tamanho de quadrícula e valores de fill/assume). Os valores de proporção de pares sem sobreposição de nicho foram quantificados diretamente das áreas individuais do NDM. Essa relação demonstra a presença de efeito de fill/assume e a resolução sob o número de pares de espécies sem sobreposição (Figura 5).

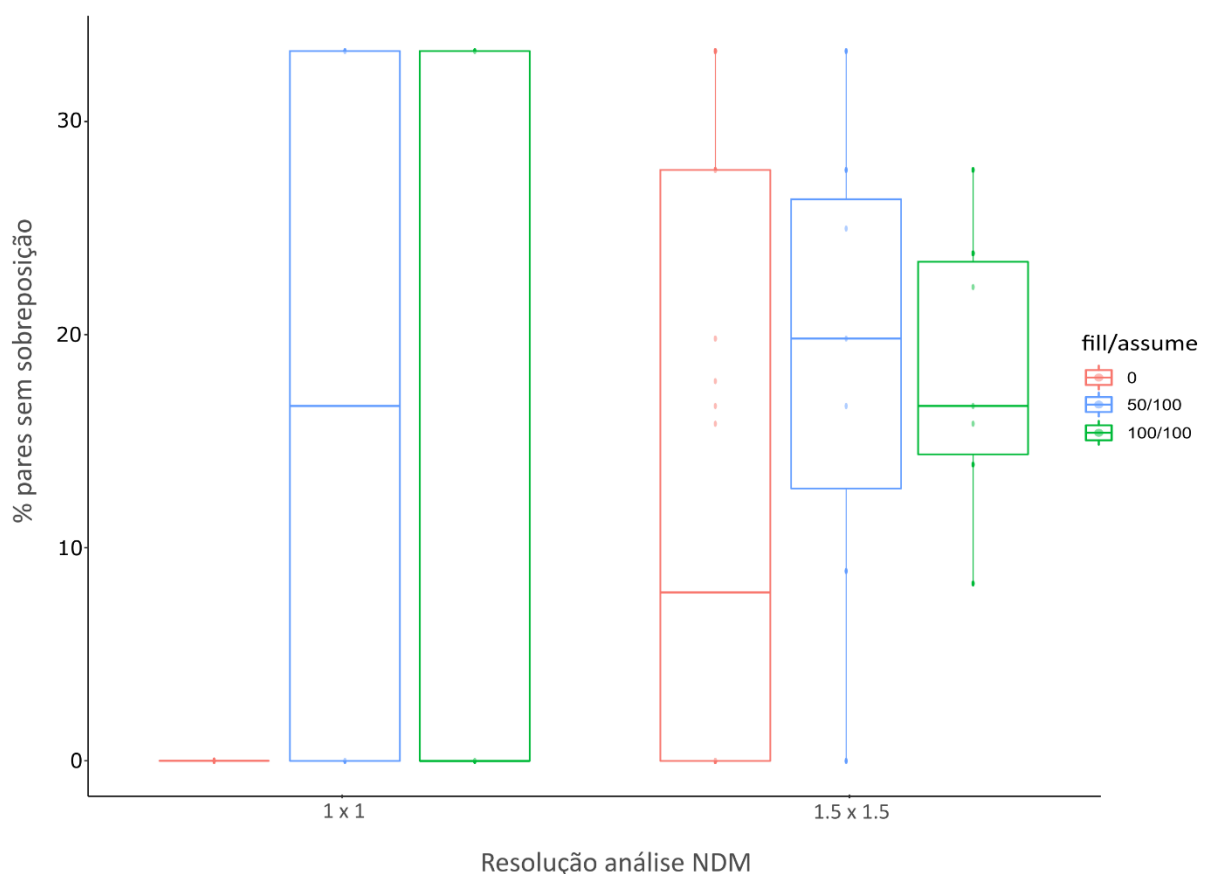


Figura 5. Relação entre a proporção de pares com nichos não sobrepostos e parâmetros das análises do NDM. Os valores de fill/assume estão agrupados em cada um dos tamanhos de quadrícula explorados.

Discussão:

O pressuposto da busca de corótipos é o encontro de grupos de espécies baseados em distribuição geográfica similar, quando nenhuma suposição sobre sua história biogeográfica é feita

(Fattorini 2016). A distribuição geográfica por si só é um fenômeno dependente da escala - quanto maiores as unidades espaciais usadas para descrevê-la (aqui quadrículas) maiores são as chances de agruparmos em uma mesma unidade uma heterogeneidade espacial complexa. Ainda assim, foi possível detectar diferenças de sobreposição de nicho que podem indicar efeitos dos parâmetros da análise e decisões metodológicas na busca de corótipos. O ranqueamento dos corótipos por proporção de pares sem sobreposição de nicho demonstrou que corótipos formados por menos espécies tendem a ter uma maior sobreposição de nicho do que aquelas formados por muitas espécies (Figura 2). Diversos trabalhos de busca de áreas de endemismo utilizando NDM descartam áreas formadas por menos de três (Dominguez et al. 2006) e até de cinco espécies (Hoffmeister & Ferrari 2016) com a justificativa de que áreas definidas por mais espécies teriam um suporte maior. Entretanto, corótipos definidos por poucas espécies parecem possuir nichos mais sobrepostos, indicando que os processos que podem ter gerado aquela área sejam restritos a escalas menores.

Em geral, as buscas por corótipos onde estratégias de *fill/assume* não foram empregadas possuem menor porcentagem de pares de espécies sem sobreposição de nicho (Figura 5). O emprego dessas estratégias agrupou espécies com nichos mais distintos. Esse resultado é explicado, uma vez que essas técnicas empregam um critério puramente espacial de extração da distribuição conhecida da espécie, baseado no tamanho de quadrícula (Aagensen, Szumik e etc). As áreas encontradas em quadrículas de 1° x 1° foram formadas por, na média, menos espécies do que as 1.5° x 1.5° (capítulo 1). Além disso, as análises com menor resolução de quadrícula capturaram corótipos compostos por espécies com distribuição restritas e muitas vezes microendêmicas. Essas espécies se caracterizam por registros em poucas localidades, impossibilitando comparações de sobreposição de nicho nessa abordagem correlativa. Essa característica explica em parte a falta de um padrão claro na proporção de nichos sem sobreposição nessa resolução. Quanto maior o tamanho de quadrícula, maiores as médias de pares sem sobreposição de nicho, pois maior a chance de estarmos agrupando em uma mesma unidade, ambientes mais heterogêneos.

Quanto mais áreas de consenso são agrupadas em um mesmo corótipo, maior é a proporção de pares de espécies com nichos distintos. O agrupamento por β -sim gera um efeito de aninhamento, onde muitas vezes as áreas finais são formadas por subconjuntos de áreas menores com a presença de espécies mais ajustadas (p. ex corótipo 05; Figuras 3 e 4). Nesse exemplo fica claro que a área é composta por pelo menos um elemento costeiro e outros elementos do planalto sul-riograndense e da área de transição campo-floresta. Assim, apesar da congruência espacial na escala de análise de endemicidade, é evidente que o corótipo 5 agrega uma alta heterogeneidade ambiental bem como espécies com nichos distintos.

Desta forma, demonstramos que métricas de similaridade de nicho entre pares de espécie permitem entender os efeitos dos parâmetros utilizados nas análises e seu efeito sobre as áreas finais. Entretanto é importante destacar que ter nichos similares não é uma premissa para que os corótipos sejam válidos. Podemos esperar encontrar corótipos formados por espécies com nichos sobrepostos e consequentemente com distribuições semelhantes. Da mesma forma corótipos formados por espécies com nichos distintos podem ser resultado do efeito do aninhamento como consequência da estratégia de metaconsenso (p. ex. corótipo 05). Ou ainda, podem ser resultado de processos biogeográficos atuando em escalas maiores, isolando grandes porções geográficas compostas por ambientes muito heterogêneos (principalmente eventos vicariantes). Essa inferência sobre a escala dos processos biogeográficos é uma das contribuições mais significativas da análise dos nichos ecológicos. Já foi sugerido que o uso de técnicas de extração do nicho ecológico não resolve problemas referentes ao déficit wallaceano em análises biogeográficas (Hortal et al. 2015), contudo, nós sugerimos que sua aplicação posterior permite uma análise exploratória que permite avaliar o efeito dos parâmetros na busca, bem como realizar inferências sobre a escala e os processos geradores dos corótipos.

Referencias:

Amatulli, G., Domisch, S., Tuanmu, M.-N., Parmentier, B., Ranipeta, A., Malczyk, J., & Jetz, W. 2018. A suite of global, cross-scale topographic variables for environmental and biodiversity modeling. *Scientific data*, 5, 180040.

Breiman, L. 2001. Random forests. *Machine learning*, 45, 5–32.

Broennimann, O., Fitzpatrick, M. C., Pearman, P. B., Petitpierre, B., Pellissier, L., Yoccoz, N. G., Thuiller, W., Fortin, M.J., Randin, C., Zimmermann, N. E., Graham, C. H. & Guisan, A. 2012. Measuring ecological niche overlap from occurrence and spatial environmental data. *Global Ecology and Biogeography*, 21(4), 481-497.

Broennimann, O., Di Cola, V. & Guisan, A. ecospat: Spatial Ecology Miscellaneous Methods. R package version 3.0. <https://CRAN.R-project.org/package=ecospat>

Busby, J. 1991 BIOCLIM-a bioclimate analysis and prediction system. *Plant protection quarterly* (Australia).

Cecilia Domínguez, M., Roig-Juñent, S., Tassin, J. J., Ocampo, F. C., & Flores, G. E. (2006). Areas of endemism of the Patagonian steppe: an approach based on insect distributional patterns using endemicity analysis. *Journal of Biogeography*, 33(9): 1527-1537.

Colwell RK & Rangel TF, 2009. Hutchinson's duality: the once and future niche. *Proceedings of the National Academy of Sciences USA*, 106: 19651-58.

Cortes, C. & Vapnik, V. (1995) Support-vector networks. *Machine learning*, 20, 273–297.

Diniz-Filho, J.A.F., Mauricio Bini, L., Fernando Rangel, T., Loyola, R.D., Hof, C., Nogués-Bravo, D., & Araújo, M.B. 2009. Partitioning and mapping uncertainties in ensembles of forecasts of species turnover under climate change. *Ecography*, 32, 897–906.

Elith, J. & Leathwick, J.R. 2009. Species distribution models: ecological explanation and prediction

across space and time. *Annual review of ecology, evolution, and systematics*, 40, 677–697.

Escalante T, Sánchez-Cordero V, Morrone JJ, Linaje M. 2007. Areas of endemism of Mexican Terrestrial mammals: A case study using species' ecological niche modeling, parsimony analysis of endemicity and goloboff fit. *Interciencia*, 32: 151–159.

Escalante T, Linaje M, Illoldi-Rangel P, Rivas M, Estrada P, Neira F, Morrone JJ. 2009a. Ecological niche models and patterns of richness and endemism of the southern Andean genus *Eurymetopum* (Coleoptera, Cleridae). *Revista Brasileira de Entomologia*, 53: 379–385.

Escalante, T., Szumik, C., & Morrone, J. J. (2009). Areas of endemism of Mexican mammals: reanalysis applying the optimality criterion. *Biological Journal of the Linnean Society*, 98(2): 468-478.

Escalante, T., Rodríguez-Tapia, G., Szumik, C., Morrone, J. J., & Rivas, M. (2010). Delimitation of the Nearctic region according to mammalian distributional patterns. *Journal of Mammalogy*, 91(6): 1381-1388.

Escalante, T., Guevara-Juarez, L. M., & Mercado-Gomez, J. D. (2019). Bioclimatic characterization of the world areas of Endemism identified for Mammals. *Zootaxa*, 4567(3), 477-514.

Ferrari, A. 2017. Biogeographical units matter. *Australian Systematic Botany*, 30(6): 391-402.

Franklin, J. 2010. *Mapping species distributions: spatial inference and prediction*. Cambridge University Press,

Guisan, A., Edwards Jr, T.C., & Hastie, T. (2002) Generalized linear and generalized additive models in studies of species distributions: setting the scene. *Ecological modelling*, 157, 89–100.

Hijmans, R.J., Cameron, S.E., Parra, J.L., Jones, P.G., & Jarvis, A. 2005. Very high resolution interpolated climate surfaces for global land areas. *International Journal of Climatology: A Journal of the Royal Meteorological Society*, 25, 1965–1978.

- Hijmans, R.J., Phillips, S., Leathwick, J., & Elith, J. 2013. dismo: Species distribution modeling. R package version 0.8-17.
- Hijmans, R. J. 2019. raster: Geographic Data Analysis and Modeling. R package version 2.8-19.
<https://CRAN.R-project.org/package=raster>
- Mammola, S. 2019. Assessing similarity of n-dimensional hypervolumes: Which metric to use? *Journal of Biogeography*. 46: 2012– 2023
- Noroozi, J., Talebi, A., Doostmohammadi, M., Rumpf, S. B., Linder, H. P., & Schneeweiss, G. M. (2018). Hotspots within a global biodiversity hotspot-areas of endemism are associated with high mountain ranges. *Scientific reports*, 8.
- Peterson AT et al., 2011. Ecological niches and geographic distributions. Oxford: Princeton University Press.
- Phillips, S.J., Anderson, R.P., & Schapire, R.E. (2006) Maximum entropy modeling of species geographic distributions. *Ecological modelling*, 190, 231–259.
- R Core Team. 2018. R: A language and environment for statistical computing. R Foundation for Statistical Computing, Vienna, Austria. URL <https://www.R-project.org/>.
- Revelle, W. 2018. psych: Procedures for Personality and Psychological Research, Northwestern University, Evanston, Illinois, USA, <https://CRAN.R-project.org/package=psych> Version = 1.8.12.
- Ribeiro GC, Santos CMD, Olivieri LT, Santos D, Berbert JM, Eterovic A. 2014. The world's biogeographical regions revisited: Global patterns of endemism in Tipulidae (Diptera). *Zootaxa*, 3847: 241–258.
- Rocha, D. 2019. modelos: Modelagem de nicho ecológico. R package version 0.0.2.

- Soberón J, 2007. Grinnellian and Eltonian niches and geographic distribution of species. *Ecology Letters*, 10: 1115-23.
- Soberón J, 2010. Niche and area of distribution modeling: a population ecology perspective. *Ecography*, 33: 159-167.
- Soberón, J. & Nakamura, M. 2009. Niches and distributional areas: Concepts, methods, and assumptions. *Proceedings of the National Academy of Sciences USA*, 106, 19644-19650.
- Szumik CA, Goloboff PA. 2004. Areas of Endemism: An Improved Optimality Criterion. *Systematic Biology*, 53: 968–977.
- Szumik, C., Casagranda, D., & Roig-Juñent, S. 2006. Manual de NDM/VNDM: Programas para la identificación de áreas de endemismo. *Instituto Argentino de Estudios Filogenéticos*, 5(3), 1-26.
- Szumik CA, Aagesen L, Casagranda D, Arzamendia V, Baldo D., Clapsa LE, Cuezzo F, Gómez JMD, Di Giacomo A, Giraudo A, Goloboff P, Gramajo C, Kopuchian C, Kretzschmar S, Lizarralde M, Molina A, Molerach M, Navarro F, Nomdedeu S, Panizza A, Pereyra VV, Sandoval M, Scrocchi G, Zuloaga FO. 2012. Detecting areas of endemism with a taxonomically diverse data set: plants, mammals, reptiles, amphibians, birds, and insects from Argentina. *Cladistics*, 28: 317–329.
- Terribile, L.C., Lima-Ribeiro, M. S., Araújo, M. B., Bizão, N., Collevatti, R. G., Dobrovolski, R., Franco, A. A., Guilhaumon, F., Lima, J. S., Murakami, D. M., Nabout, J. C., de Oliveira, G., de Oliveira, L. K., Rabelo, S. G., Rangel, T. F., Simon, L. M., Soares, T. N., Telles. M. P. C. & Diniz-Filho, J. A. F. 2012. Areas of climate stability in the Brazilian Cerrado: disentangling uncertainties through time. *Natureza & Conservação* 10(2): 152-159.
- Warren, D. L., Glor, R. E., & Turelli, M. 2008. Environmental niche equivalency versus conservatism: quantitative approaches to niche evolution. *Evolution: International Journal of Organic Evolution*,

62(11), 2868-2883.

Vasconcelos, T. S., Prado, V. H., da Silva, F. R., & Haddad, C. F. (2014). Biogeographic distribution patterns and their correlates in the diverse frog fauna of the Atlantic Forest hotspot. *PLoS One*, 9(8).

Capítulo 3

ÁREAS PRIORITÁRIAS PARA A CONSERVAÇÃO DE ANFÍBIOS E RÉPTEIS NO PAMPA BRASILEIRO.

A ser submetido para Perspectives in Ecology and Conservation.

ÁREAS PRIORITÁRIAS PARA A CONSERVAÇÃO DE ANFÍBIOS E RÉPTEIS NO PAMPA BRASILEIRO.

Alvares¹, Diego Janisch; Zank², Caroline; Borges-Martins¹, Márcio

¹ Programa de Pós-Graduação em Biologia Animal, Departamento de Zoologia, Instituto de Biociências, Universidade Federal do Rio Grande do Sul, Porto Alegre, Rio Grande do Sul, Brasil.

² Núcleo de Ecologia de Rodovias e Ferrovias, Departamento de Zoologia, Instituto de Biociências, Universidade Federal do Rio Grande do Sul, Porto Alegre, Rio Grande do Sul, Brasil.

Contato: Diego Janisch Alvares, Programa de Pós-Graduação em Biologia Animal, Laboratório de Herpetologia, Avenida Bento Gonçalves 9500, 91501-970, Porto Alegre, RS, Brasil.

E-mail: diego.jalvares@gmail.com

Resumo:

Os Pastizales del Rio de la Plata são compostos por diferentes formações vegetais, predominantemente campestres, com área aproximada de 700.000 km², distribuindo-se no extremo sul do Brasil, Uruguai e nordeste da Argentina. Cerca de 25% dessa extensão ocorre em território brasileiro, ocupando uma área que corresponde a 63% do Estado do Rio Grande do Sul. O reconhecimento tardio do Pampa como bioma oficial no Brasil é um reflexo da pouco atenção dispensada a conservação de campos quando comparado a florestas. Nossa estudo tem como objetivo fornecer um panorama atual da situação de proteção da diversidade de anfíbios e répteis e fornecer subsídios para inclusão destes grupos em quaisquer estratégias de planejamento sistemático para o Pampa. A partir de uma lista preliminar de espécies com ocorrência confirmada no Pampa. Os registros de distribuição foram compilados da literatura, selecionando estudos seguindo os seguintes critérios: (1) trabalhos de revisão taxonômica que contenham material examinado; (2)

registros verificados quanto a identificação taxonômica e localidade precisa de coleta das maiores coleções de herpetologia do Brasil, Uruguai e Argentina; (3) mapas de atlas que complementem a distribuição das espécies fora do pampa quando necessário. A partir desses registros empregamos métodos de modelos de distribuição de espécies (SDM's) utilizando uma estratégia de ensemble. Utilizamos o software Zonation para gerar modelos de priorização espacial para anfíbios e répteis com pesagem diferencial para espécies com alto grau de ED, ameaçadas e endêmicas. O Pampa é o bioma reconhecido mais recentemente e com a menor cobertura do Sistema de Unidades de conservação, e esse é o primeiro esquema de priorização de anfíbios e répteis direcionado a ele. Apesar de boa parte dos remanescentes de áreas naturais campestres permanecerem com paisagem próxima da original as taxas de conversão são aceleradas. Para garantir a manutenção de boa parte da diversidade seria necessária a conservação de uma área muito maior do que o esquema atual. Entretanto, o cenário político atual sinaliza uma tendência ao desmonte das estratégias de conservação. Esse cenário reforça nossa percepção que a melhor estratégia para conservação desta fauna seria a manutenção de áreas naturais em sistemas ecológicos com conversão acelerada, priorizando usos que não descaracterizem a paisagem natural (e.g. pecuária).

Palavras chave: Conservação, Zonation, Modelagem de distribuição geográfica, remanescentes, priorização

Introdução

Regiões campestres historicamente têm recebido menos atenção, em relação a conservação, quando comparadas a áreas florestadas tropicais (Overbeck et al., 2007). Parte dessa distorção vem de uma visão em que os campos são considerados imagens espelhadas de regiões florestais quando na verdade, possuem história complexa e composições próprias (Bond & Parr, 2010). As formações abertas da América do Sul ocorrem ao longo de uma variedade de condições ambientais mais amplas do que as encontradas em qualquer outra região (Pennington & Ratter, 2006). Uma das mais

importantes extensões de formações campestres da América do Sul inclui o extremo sul dos campos sulinos brasileiros e os campos do Rio de La Plata, em uma unidade biogeográfica tradicionalmente conhecida como Pastizales del Rio de La plata. Essa unidade é composta por diferentes formações vegetais, predominantemente campestres, com área aproximada de 700.000 km², distribuindo-se no extremo sul do Brasil, Uruguai e nordeste da Argentina (Bilenco & Miñarro, 2004). Sua posição geográfica (em torno do paralelo 30°S) marca a transição entre os climas tropical e temperado. Essa condição permitiu o desenvolvimento de uma matriz predominantemente campestre, que coexiste com diferentes extensões de áreas florestadas, matas de galeria, matas de encostas nos cerros e morros, e butiaçais. No Brasil, o Pampa é oficialmente reconhecido como um Bioma desde 2004, sendo vinculado até então aos Campos Sulinos, inseridos no bioma Mata Atlântica.

A conservação *in situ* da biodiversidade é fundamentada na premissa da criação e gerenciamento de unidades de conservação (Lowemberg-Neto & Loyola, 2016). Essas unidades são áreas estabelecidas em lei e reguladas por diretrizes específicas que buscam a conservação da biodiversidade sendo organizadas, no Brasil, sob o escopo do Sistema Nacional de Unidades de Conservação (SNUC, lei no 9.985 de 18 de julho de 2000). De maneira geral, existem duas grandes categorias de unidades de conservação: (1) Unidades de conservação de Proteção Integral (PI) que buscam a manutenção do estado natural dos ecossistemas; e (2) Unidades de conservação de Uso Sustentável (US) que buscam conciliar o uso de recursos naturais com a conservação. O reconhecimento tardio do Pampa como bioma oficial no Brasil influenciou para que possua a menor representatividade no SNUC dentre todos os biomas, representando apenas 0,4% da área continental brasileira protegida por unidades de conservação. Em relação aos seus limites, em torno de apenas 3,3% da área do Pampa brasileiro está protegida por unidades de conservação (2,4% de US e 0,9% de PI). O uso intenso e prolongado do solo, especialmente por atividades agropastoris, vem alterando as paisagens naturais da região (Hasenack et al., 2010). A área de remanescentes naturais corresponde atualmente a 41% da extensão original e vem sendo gradativamente reduzida e fragmentada, com

cerca de 2 milhões de ha de áreas naturais sendo convertidos em outros usos apenas nos últimos 30 anos (MapBiomas, 2019).

A Conferência das Partes (Conference of the Parties – COP), é um marco para a proteção da natureza e representa a evolução em direção a uma visão mais abrangente dos recursos naturais. Em sua décima edição foi aprovado o Plano Estratégico de Biodiversidade para o período de 2011 a 2020. Dentre os objetivos definidos destaca-se a melhora da situação atual da biodiversidade através da proteção de ecossistemas, espécies e da diversidade genética (metas 11, 12 e 13). As estimativas de pelo menos 17% de áreas terrestres inseridas em sistemas de áreas protegidas equitativamente distribuídas e satisfatoriamente interligadas, estão muito acima do panorama atual do Pampa. O esquema atual de unidades de conservação, além de insuficiente, não foi sistematicamente planejado sendo resultado de tentativas pontuais de proteção de paisagens características. Não à toa, áreas de proteção no Pampa (juntamente com o Pantanal) são as que protegem a menor porcentagem de espécies e linhagens (Oliveira et al., 2017).

Por outro lado, a disponibilização digital de grandes bancos de dados, bem como o incentivo e profusão de métodos para identificação de espécies e áreas sob ameaça aumentam o poder de identificação de áreas prioritárias para a conservação. Desta forma, diversas iniciativas de identificação de áreas prioritárias, para diferentes grupos, incluem os limites do Pampa, como por exemplo para Flora Ameaçada (Loyola et al., 2014), Plantas raras (Giulietti et al., 2009), Peixes de distribuição restrita (Nogueira et al., 2010) e Aves (Bencke et al., 2006); Assim como a identificação de corredores ecológicos buscando conectividade entre áreas existentes e novas propostas, como os Micro corredores ecológicos de Itapeva (Krob et al., 2010); Corredor ecológico da Quarta Colônia (Portaria SEMA nº 143, 2014); Zona Núcleo da Reserva da Biosfera da Mata Atlântica (Lino et al., 2009); e a identificação de novas áreas para criação de unidades de conservação no bioma Pampa

(Vélez-Martin, 2010). Apesar dos esforços de estudo e planejamento, poucas dessas iniciativas se converteu em estratégias reais de conservação.

Uma análise e descrição adequada da distribuição dos taxa é fundamental para compreender os padrões de distribuição da biodiversidade e sua associação com as diferentes formações vegetais e geográficas, bem como direcionar estudos, inventários e principalmente ações de conservação (Graham et al., 2004). Anfíbios e répteis são importantes componentes da diversidade biológica, correspondendo a cerca de 1/4 da diversidade de vertebrados terrestres e representando todos os ectotérmicos terrestres (Wilson & Reeder, 2011; del Hoyo et al., 2016; Frost, 2018; Uetz et al., 2018). Esses grupos apresentam grande diversidade morfológica, ecológica e distintos padrões de distribuição que devem ser levados em consideração na seleção de áreas prioritárias para a conservação. Normalmente os esquemas globais de priorização e áreas protegidas são baseados em vertebrados endotérmicos terrestres e consequentemente, representam melhor esses grupos do que anfíbios e répteis (Roll et al., 2017). Por exemplo, anfíbios e lagartos possuem padrões de endemismo únicos quando considerados outros esquemas de vertebrados (Loyola et al., 2007; Embert et al., 2011; Roll et al., 2017) enquanto padrões de riqueza de lagartos e tartarugas são pouco representados pelos padrões dos outros grupos combinados (Roll et al., 2017).

A condição de bioma com menor cobertura de UC's do Brasil, sem nenhuma perspectiva de melhoria desta situação no curto prazo, justifica a necessidade de uma maior atenção sobre a conservação do Pampa, especialmente identificando lacunas de proteção. Nesse estudo, utilizamos modelos de distribuição de espécies (sensu Elith & Leathwick, 2009) para estimar a distribuição geográfica de anfíbios e répteis no Pampa brasileiro. Nossa foco foi a caracterização de áreas prioritárias para a conservação, utilizando os sistemas ecológicos da ecorregião Savana Uruguaia, e confrontando os resultados com a proporção de remanescentes ao longo das distintas formações. Todas as espécies foram caracterizadas quanto a: grau de endemismo, grau de ameaça e

singularidade evolutiva com objetivo de: (1) Identificar espacialmente as áreas prioritárias para a conservação de Anfíbios e Répteis. (2) Ranquear a importância relativa dos diferentes sistemas ecológicos para os grupos. Esperamos fornecer um panorama atual da situação de proteção da diversidade de anfíbios e répteis e fornecer subsídios para inclusão destes grupos em quaisquer estratégias de planejamento sistemático para o Pampa.

Metodologia:

Área de estudo:

Cerca de 25% do Pampa ocorre em território brasileiro, ocupando uma área de cerca de 178.000 km², que corresponde a 63% do Estado do Rio Grande do Sul. Apesar da relativa homogeneidade paisagística, o Pampa pode ser subdividido em unidades menores, com características geológicas, climáticas, florísticas e faunísticas próprias (Bilenca & Miñarro, 2004). A porção norte do Pampa, que inclui os limites do bioma no Brasil, corresponde à ecorregião denominada Savana Uruguaia (Olson et al., 2001). Utilizamos como base a classificação campestre proposta por Hasenack et al. (2010), que classifica a ecorregião Savana Uruguaia em 13 sistemas ecológicos, dos quais 11 ocorrem ao longo do Pampa (Figura 1b). A delimitação destas unidades espaciais homogêneas foi baseada em dados de altitude, declividade, solo, vegetação, uso da terra, além de fisionomias campestres descritas em Boldrini (2009) e Berreta (2008).

Utilizamos os dados de cobertura vegetal gerados pelo Projeto de Mapeamento Anual da Cobertura e Uso do Solo no Brasil (MapBiomas, 2019). Essa iniciativa utiliza dados de sensoriamento remoto, SIG e cobertura vegetal com objetivo de gerar séries históricas de cobertura e uso da terra para o território brasileiro. Para nossas análises utilizamos apenas as categorias referentes a remanescentes de vegetação original do Bioma Pampa: enquadrados em Floresta Natural, Área Úmida Natural Não Florestal, Formação Campestre, Afloramento rochoso e Praia e duna. Os dados

foram utilizados na resolução original do projeto (30x30m) e com o recorte dos limites do Bioma Pampa (Figura 1a).

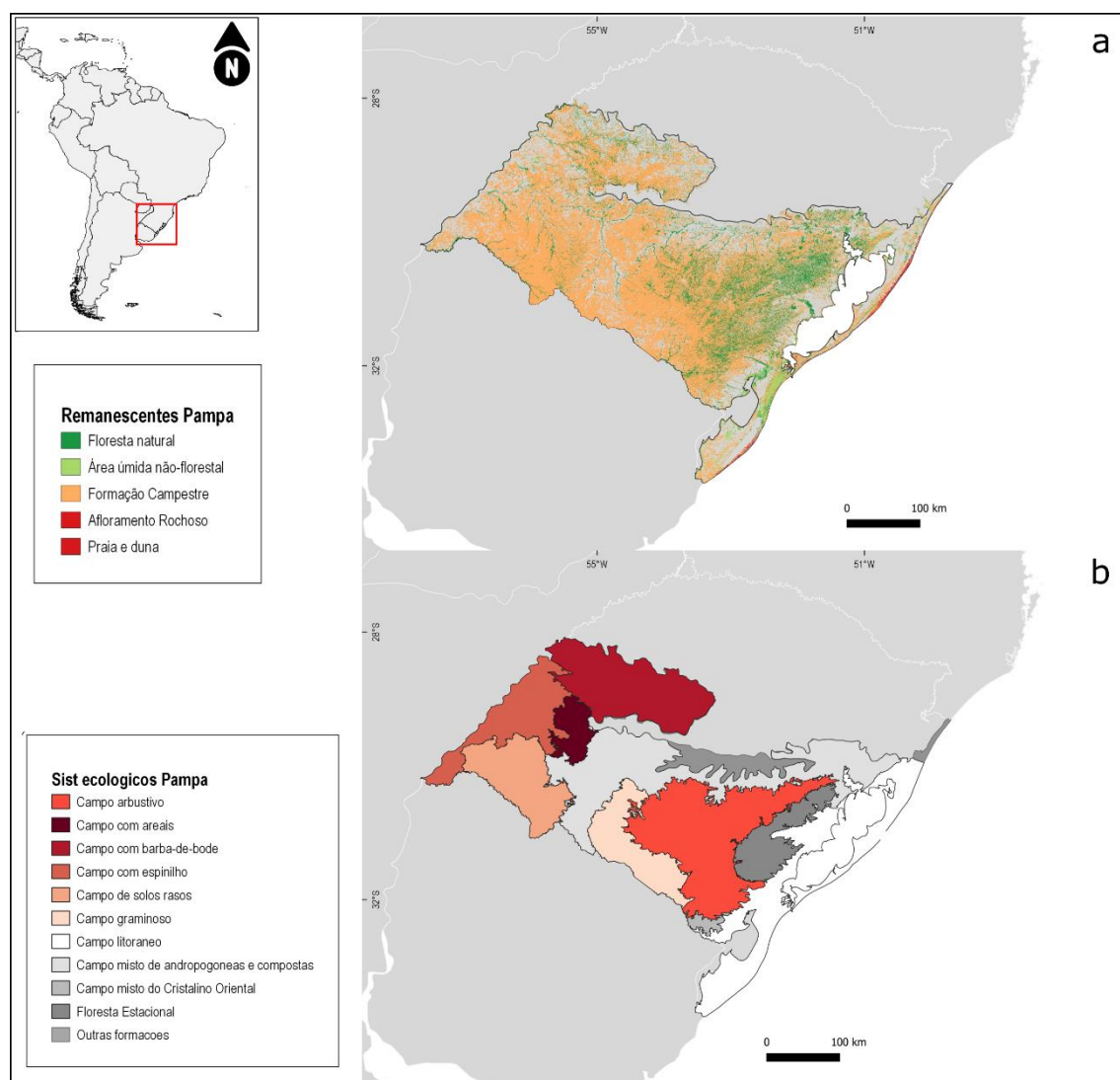


Figura 1. Caracterização da área de estudo. a) Remanescentes vegetais do bioma Pampa; b) Sistemas ecológicos presentes no Pampa

2.2 Dados de ocorrência:

A partir dos limites definidos para o Bioma Pampa (IBGE, 2004), compilamos uma lista com as espécies de anfíbios e répteis com ocorrência confirmada (Apêndice I, Material Suplementar III). Os

registros de distribuição foram compilados da literatura, selecionando estudos seguindo os seguintes critérios: (1) trabalhos de revisão taxonômica que contenham material examinado; (2) registros verificados quanto a identificação taxonômica e localidade precisa de coleta das maiores coleções de herpetologia do Brasil, Uruguai e Argentina; (3) mapas de atlas que complementem a distribuição das espécies fora do pampa quando necessário. Em muitos casos as coordenadas geográficas dos locais de coleta não estavam disponíveis e coordenadas foram aferidas ao nível mais preciso possível a partir da comparação com gazetteers e softwares: SpeciesLink – GeoLoc (disponível em <http://splink.cria.org.br/geoloc>) e Google Earth PRO (Google, 2018).

2.3 Variáveis climáticas:

Para gerar os modelos de distribuição das espécies, foram utilizadas variáveis bioclimáticas do projeto Worldclim na resolução de 2.5 arc minutos ($\sim 5\text{km}^2$). Essas variáveis são oriundas de dados interpolados de médias, máximas e mínimas de temperatura e precipitação de diferentes estações metereológicas espalhadas mundialmente (Hijmans et al., 2005). Além disso, variáveis relacionadas ao relevo (altitude e inclinação), foram obtidas a partir do projeto EarthEnv (Amatulli et al., 2018) nas mesmas resoluções. As variáveis foram dimensionadas para a América do Sul onde os modelos foram gerados. Como estratégia para a eliminação de variáveis correlacionadas com objetivo de evitar sobreajuste dos modelos (Peterson et al., 2011) foi testada a colinearidade das variáveis para cada espécie a partir de uma correlação de Pearson eliminando variáveis com correlação acima de 0.9. As análises foram efetuadas no software R versão 3.5.1 (R Core Team, 2018).

2.4 Modelos de Distribuição Geográfica:

Utilizamos uma estratégia onde os SDM's foram gerados utilizando cinco algoritmos: Maximum Entropy (MaxEnt; Phillips et al., 2006), Support Vector Machine (SVM; Cortes & Vapnik, 1995), Generalized Linear Model (GLM; Guisan et al., 2002), Random Forest (RDF; Breiman, 2001) e Bioclim (Busby, 1991). Esses algoritmos foram escolhidos por abranger a maioria das estratégias de

SDM's, e diferem principalmente, por necessitam por vezes de conjuntos de dados de presença/pseudo-ausência ou presença/background. Assim, quando necessário, geramos os dados de pseudo-ausência de forma aleatória em mesmo número de pontos de presença para cada espécie. Sempre quando preciso dados de background, foram selecionados 10000 pontos aleatórios na América do Sul. Diferentes algoritmos de SDM's utilizam estratégias diferentes para a produção de modelos sendo, portanto, uma das maiores fontes de variação entre diferentes modelos (Franklin, 2010). Portanto, adotamos uma estratégia de “ensemble” com objetivo de reduzir a incerteza entre diferentes modelos (Diniz-Filho et al., 2009). O “ensemble” de cada espécie foi gerado selecionando aqueles algoritmos com “True Skill Statistic” (TSS) maior do que 0.6. Para transformar mapas contínuos de adequabilidade em mapas binários de presença e ausência foi calculada a média do “equal training specificity plus sensitivity” ponderado pelo TSS de cada espécie. Os modelos foram efetuados no software R versão 3.5.1 (R Core Team, 2018), utilizando os pacotes *modelos* (Rocha, 2019). Para criação de dados de pseudo-ausência e as predições dos modelos, também foi utilizado o pacote *dismo* (Hijmans et al., 2013).

2.5 Priorização espacial

Utilizamos o software Zonation (versão 4.0; Lehtomäki & Moilanen, 2013) para gerar modelos de priorização espacial para anfíbios e répteis. Assim, utilizamos os limites do Pampa como máscara para redimensionar os modelos, utilizando as adequabilidades dentro dos limites do Pampa para todas as espécies. Complementarmente utilizamos três métricas para pesar cada espécie levando em conta diferentes aspectos de sua biologia: 1) A partir da Lista Nacional Oficial de Espécies Ameaçadas de Extinção atribuímos um peso maior àquelas espécies mais ameaçadas. Os pesos foram atribuídos da seguinte forma: espécies com status Menor preocupação (LC) e Quase Ameaçadas (NT) receberam peso igual a 1, enquanto espécies com status Vulnerável (VU) e Dados Deficientes (DD) receberam peso 1.25, status Em Perigo (EN) igual a 1.5 e Criticamente Ameaçado (CR) igual a 2

(Loyola et al., 2012); 2) Buscando inserir um componente histórico na análise utilizamos os valores de “Evolutionary Distinctiveness” (Gumbs et al., 2018) padronizados e escalonados em valores entre 1 e 2; 3) A partir dos modelos para América do Sul, foi calculado um índice de endemismo da espécie em relação ao pampa onde calculamos uma razão entre a área de distribuição potencial da espécie dentro do pampa em relação a área potencial distribuição total, esses valores foram padronizados e escalonados em valores entre 1 e 2. Todos os pesos foram multiplicados para estimar o peso final de cada espécie (Material Suplementar III, Apêndice II). Esse peso final influencia a priorização espacial, onde áreas que contém espécies não endêmicas, com baixo ED e sem ameaça recebem valores próximos de 1 e, portanto, são ranqueadas com baixa prioridade no esquema final. Áreas contendo espécies ameaçadas, com alto ED e endêmicas tem maior importância no ranqueamento (Moilanen et al., 2014). As padronizações dos pesos foram calculadas no R software v. 3.5.1.

O algoritmo implementado no Zonation se caracteriza por gerar uma hierarquia de prioridades ao longo de toda a paisagem analisada (Moilanen et al., 2005; Moilanen, 2007). Essa priorização é resultado de uma estratégia de minimização de perda marginal, ou seja, a remoção de células acontece de uma forma cuja perda provoca o menor prejuízo do valor de conservação da rede restante (Moilanen et al., 2014). Como estratégia de minimização e perda marginal utilizamos “core-area function”, abordagem recomendada quando os alvos são utilizados de forma direta na priorização (detalhes em Lehtomäki & Moilanen, 2013). Como estratégia inicial optamos por realizar uma abordagem de priorização para anfíbios e répteis com três esquemas diferentes: 1) Um esquema de priorização com Anfíbios e répteis recebendo mesmo peso inicial; 2) Um esquema com anfíbios e répteis recebendo um peso inicial diferenciado, onde o peso é calculado com um (1) dividido pelo número de espécies de cada grupo (1/58 ou 0.017) para anfíbios e (1/79 ou 0.012) para répteis. Essa abordagem busca equilibrar grupos com diversidade alfa diferentes. E, 3) Priorizações separadas para anfíbios e para répteis.

Resultados:

Um total de 88591 registros de 58 espécies de anfíbios e 79 de répteis foram identificados com ocorrência nos limites do bioma Pampa. Dessas, apenas *Apostolepis quirogai* e *Ophiodes enso* possuem menos de cinco registros de ocorrência, não sendo possível gerar modelos de distribuição. A partir da aplicação do limiar de presença-ausência para as espécies as quais modelos foram gerados foi possível gerar mapas de riqueza potencial de anfíbios (Figura 2a) e répteis (Figura b) a partir da soma dos modelos individuais.

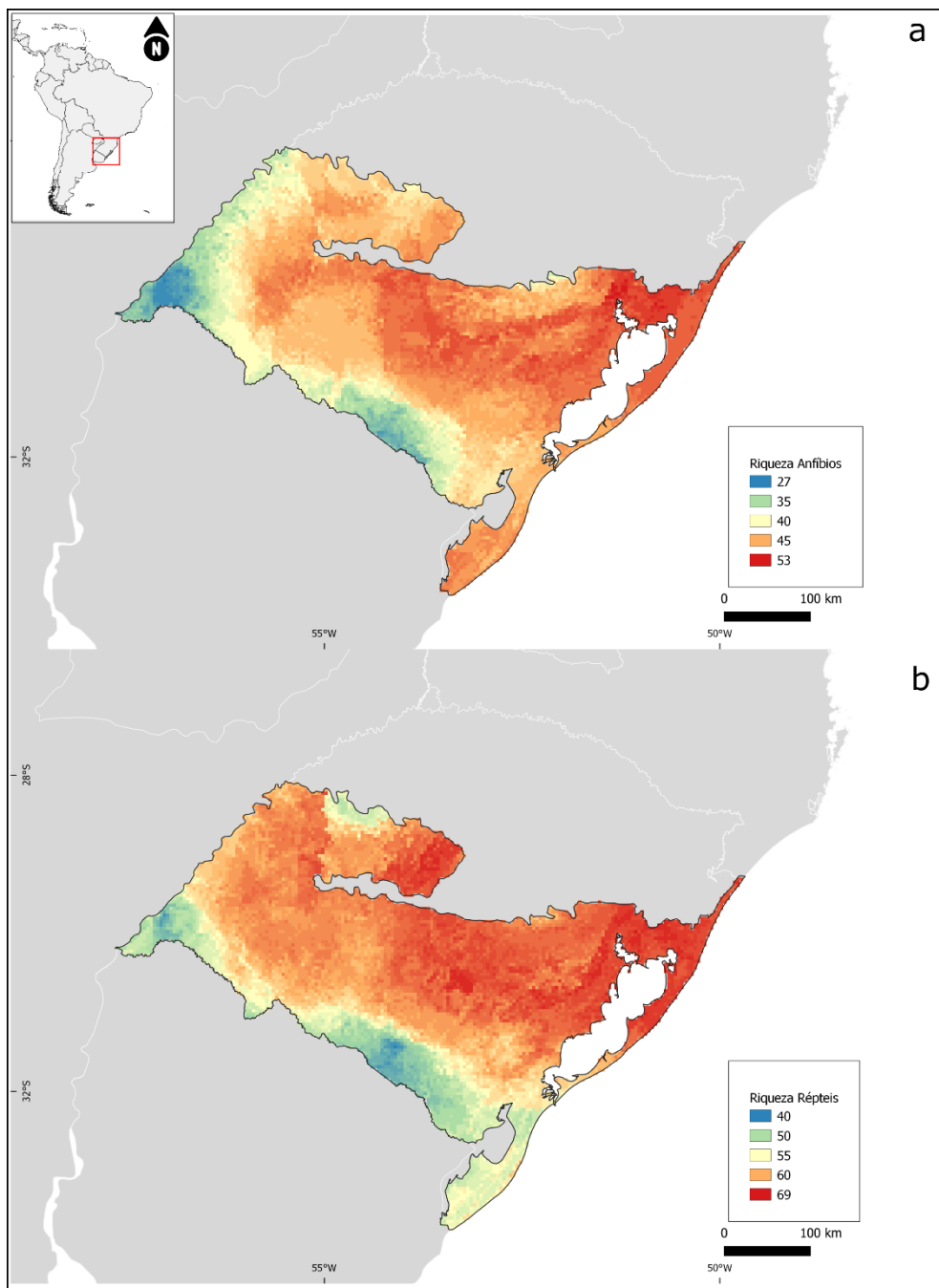


Figura 2. Riqueza potencial de anfíbios (a) e répteis (b) com base na sobreposição dos modelos de distribuição geográfica binário das espécies.

O esquema de priorização que considerou todas espécies de anfíbios e répteis em um mesmo conjunto (Figura 3a) apresentou o mesmo padrão geral de quando os grupos foram separados a partir de um peso individual para cada grupo (Figura 3c). Essa congruência espacial dos padrões é

evidenciada pelo resultado da subtração das soluções anteriores (Figura 3e). Por outro lado, a priorização feita separadamente para cada um dos grupos (Figuras 3b e 3d), gerou padrões distintos no espaço, como indica a diferença entre os esquemas (Figura 3f). Planalto médio e escudo cristalino foram mais importantes para anfíbios enquanto regiões da campanha se mostraram mais importantes para répteis.

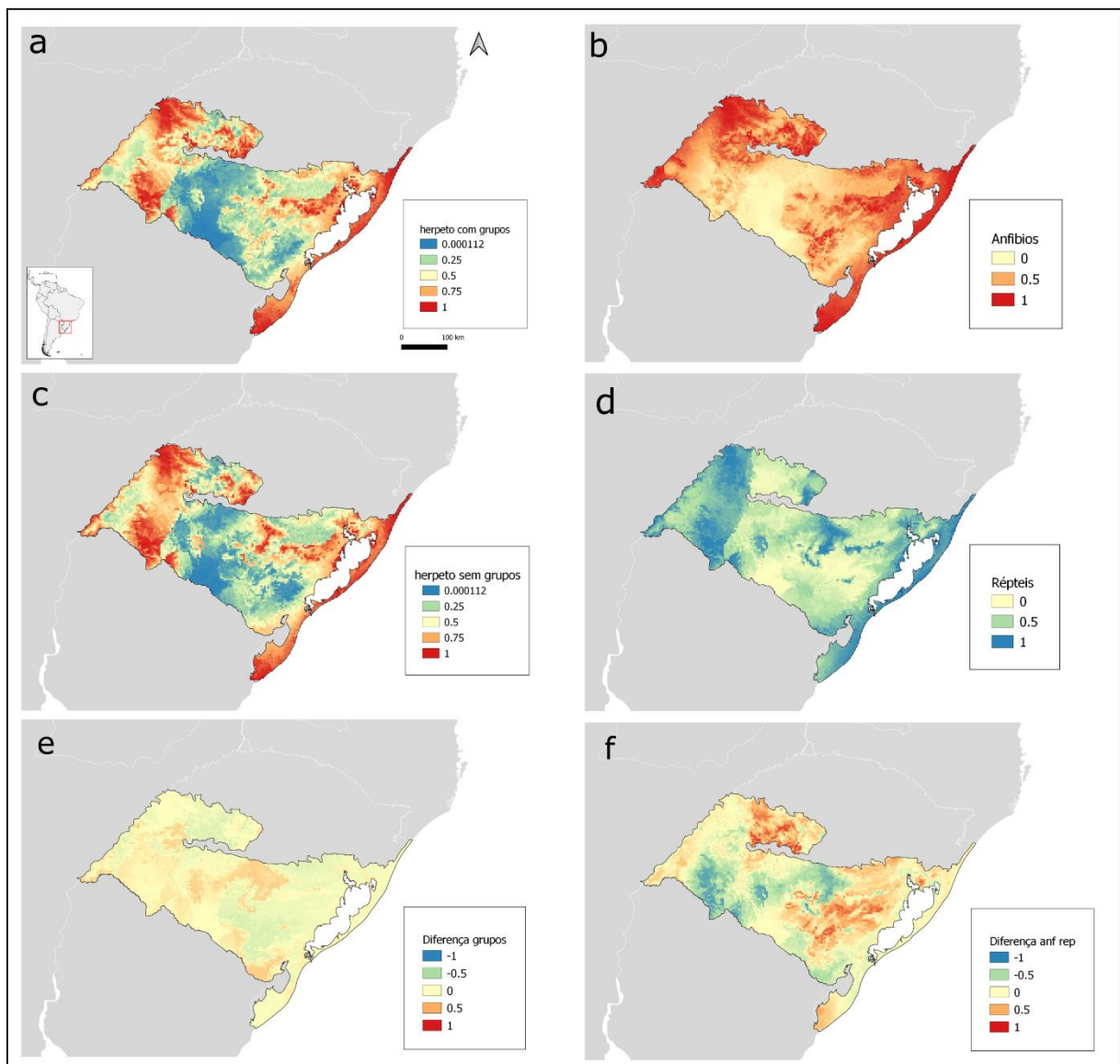


Figura 3. Diferentes esquemas de priorização espacial inicial. a) Anfíbios e répteis com mesmo peso inicial para cada espécie; b) Apenas espécies de anfíbios; c) Anfíbios e répteis com peso diferente para cada grupo; d) Apenas espécies de répteis; e) diferenças entre os esquemas (a) e (c), áreas com

valores negativos indicam áreas importantes no esquema (a) enquanto áreas com valores positivos indicam áreas importantes somente no esquema (c) e valores próximos de zero indicam priorizações iguais nos dois esquemas; f) diferenças entre os esquemas (b) e (d) áreas com valores negativos indicam áreas importantes no esquema (d) enquanto áreas com valores positivos indicam áreas importantes somente no esquema (b) e valores próximos de zero indicam priorizações iguais nos dois esquemas.

Com o objetivo de facilitar as comparações e evidenciar as áreas mais importantes para cada grupo, destacamos apenas as áreas ranqueadas dentro dos 5% mais importantes (Figura 4). Essas estão localizadas na porção média e norte do litoral além de regiões do extremo noroeste do Pampa. Se destacam como áreas importantes exclusivamente para anfíbios os extremos sul, oeste e nordeste além de áreas descontínuas ao longo do Pampa. Em relação aos répteis se destacam as costas leste e oeste da lagoa dos patos bem como regiões no centro e oeste do Pampa.

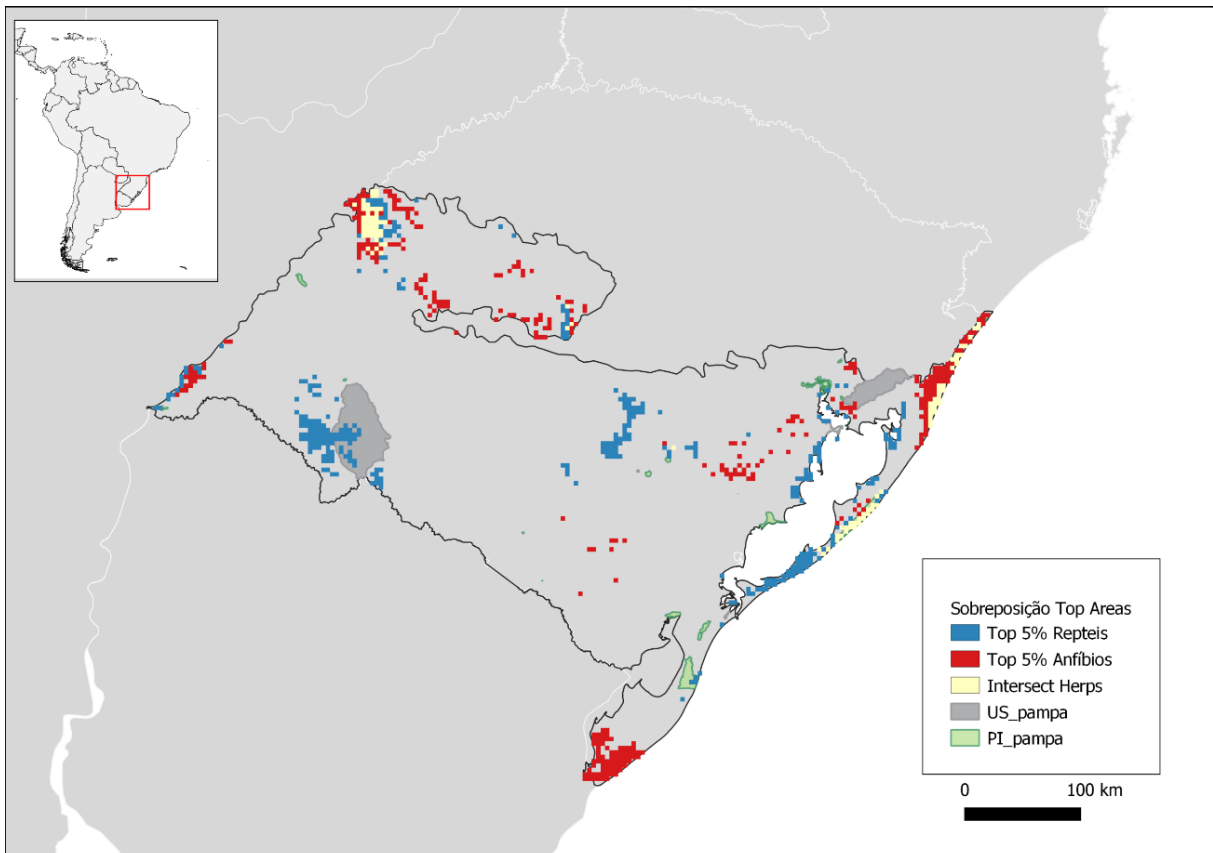


Figura 4. Sobreposição das áreas mais bem ranqueadas para os esquemas de Anfíbios e Répteis destacando as áreas em comum entre os dois, bem como as Unidades de Conservação (UCs). US pampa se refere a Unidades de Conservação incluídas nas categorias de Uso Sustentável no Pampa; PI_pampa se refere Unidades de Conservação incluídas nas categorias de Proteção Integral no Pampa.

A identificação de 11 sistemas ecológicos reflete a diversidade de ambientes dentro do bioma Pampa. Esses sistemas tiveram seus percentuais de remanescentes quantificados e foram ranqueados em relação a sua área total e a importância média de cada priorização (Figura 5, Apêndice II, Tabela 1). Assim, podemos identificar os sistemas Campo Arbustivo (CA), Campo com Espinilho (CE), Campos com Barba de Bode (CBb) e Campo Litorâneo (CL) com as maiores médias de priorização para anfíbios (Figura 5a) e com as maiores porções de áreas degradadas. Para répteis o padrão se manteve com as áreas Campo Arbustivo (CA), Campo com Espinilho (CE) e Campo Litorâneo (CL) como áreas importantes com o acréscimo dos Campos de solos rasos (CR) e os Campos do Cristalino Oriental (CC), essa última com a menor área total dentre os sistemas ecológicos (Figura 5b).

As áreas mais bem ranqueadas para anfíbios e répteis potencialmente protegeriam metade da diversidade de ambos grupos (Figura 6) com pouca sobreposição dessas áreas com as UCs existentes. A opção de não utilizar as UCs como máscara na análise permite a identificação de áreas prioritárias ao longo de todo o território, sem complementariedade ao sistema existente. Essa abordagem permitiu quantificar a importância média de cada UC para os grupos (Apêndice II, Tabela 2). Dentre as UCs de Uso Sustentável (US) três obtiveram scores médios acima de 0.95 para répteis: (1) Reserva Particular do Patrimônio Natural Estadual Barba Negra, (2) Área de Proteção Ambiental Estadual Delta do Jacuí para Répteis e (3) Reserva Particular do Patrimônio Natural Rincão das Flores

para Anfíbios. Considerando apenas as UCs de Proteção Integral (PI) três UC's se destacam: (1) Parque Estadual de Itapeva para Anfíbios, (2) Parque Estadual do Espinilho para Répteis e (3) Parque estadual da Lagoa do Peixe importante para os dois grupos

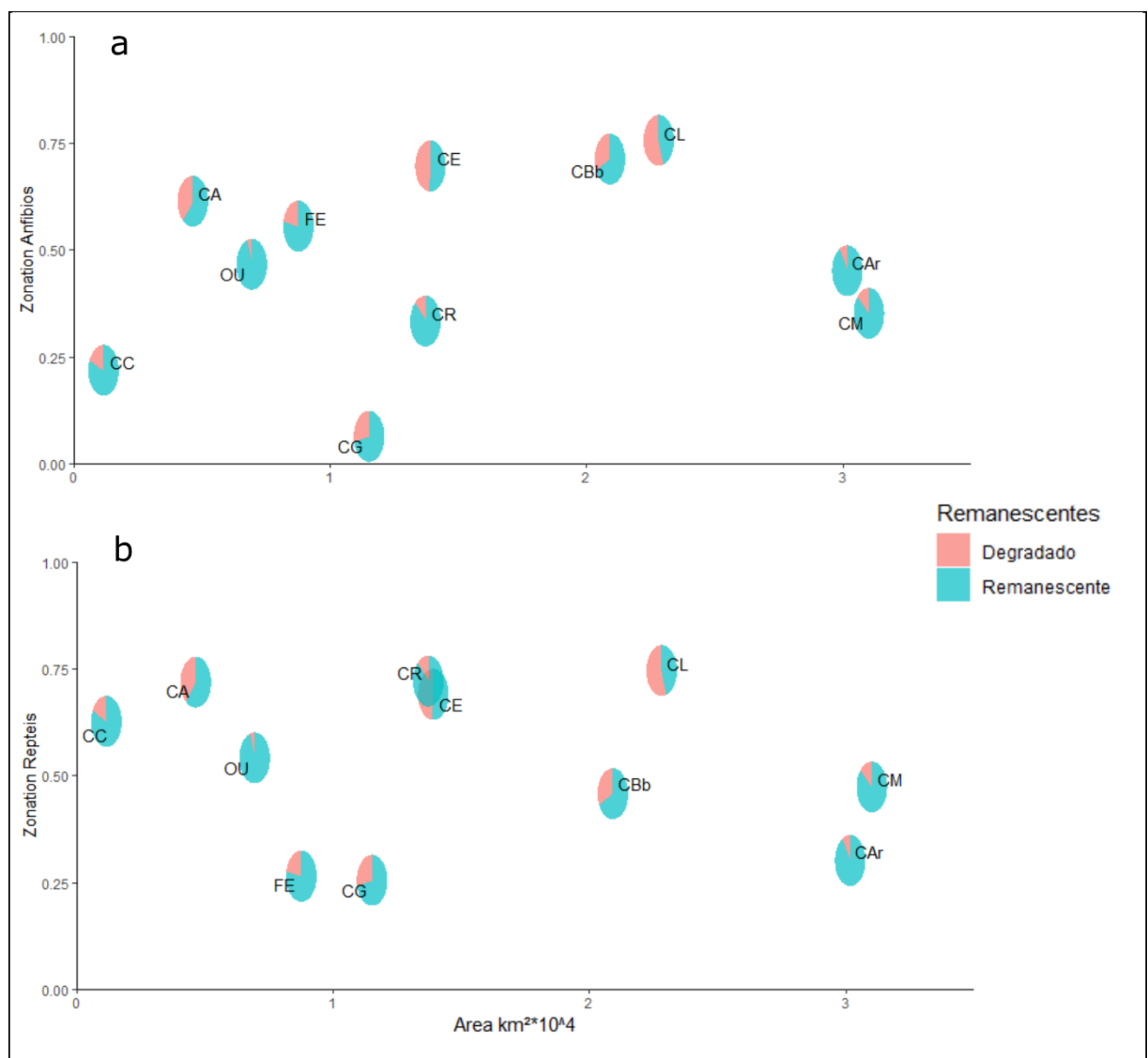


Figura 5. Ranqueamento dos sistemas ecológicos do Pampa brasileiro em relação à área e a média do ranqueamento de prioridade para a conservação de anfíbios e répteis, além do % de remanescentes naturais. CC=Campos do cristalino oriental; CA= Campos com areais; OU= Outros; FE= Floresta estacional; CG= Campos graminoso; CR= Campos de solos rasos; CE= Campo com espinilho; CBb=

Campos com barba-de-bode; CL= Campos litorâneos; CAr= Campos arbustivos; CMa= Campos mistos de antropogôneas e compostas. a) Anfíbios; b) Répteis.

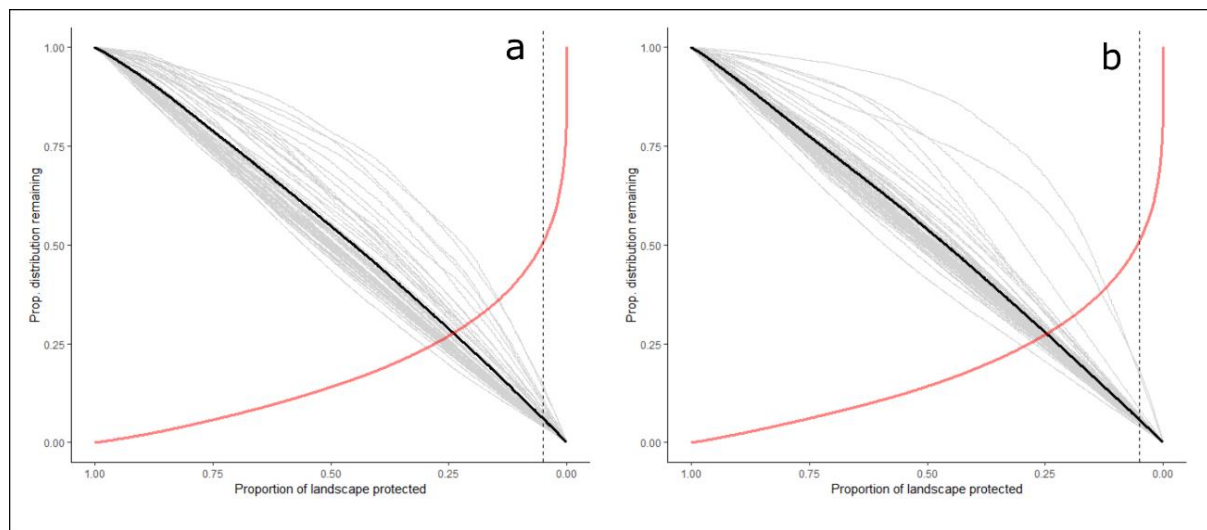


Figura 6. Curvas de performance das priorizações para os anfíbios e répteis do Pampa brasileiro. Linhas cinzas indicam a performance individual das espécies, enquanto a preta representa a média. Curva vermelha representa o risco de extinção. Pontilhado representa a proporção da área preservada quando são selecionadas as áreas ranqueadas acima de 0.95. a) Anfíbios; b) Répteis.

Discussão:

O Pampa no Brasil é apenas parte de uma extensa região natural denominada Pastizales del Rio de la Plata ou Pampas que se estende por Brasil, Uruguai e Argentina (Bilenco & Miñarro, 2004). Essa porção coincide com a transição entre os climas subtropical e tropical fornecendo condições para a ocorrência de diferentes formações vegetais. Essas características fazem do Pampa um grande mosaico de formações inseridas em uma matriz predominantemente campestre. Essas características

refletem um grande compartilhamento de espécies de anfíbios e répteis associadas a uma taxa de endemismo relativamente baixa se comparado com biomas exclusivamente tropicais (Bérnuls et al., 2007; Garcia et al., 2007). No Pampa, fica evidente a grande influência de formações florestais e de savanas tropicais e subtropicais na composição de espécies de anfíbios e répteis (Alvares et al. 2019 in press). Esse *turnover* de espécies reflete um padrão de riqueza decrescente em direção ao sul, principalmente devido a influência de espécies de Mata Atlântica. O grau de conhecimento incompleto sobre a fauna de anfíbios e répteis justifica a utilização de ferramentas de modelagem de distribuição geográfica como uma forma menos empírica de generalização da distribuição dos táxons. Entretanto, quando sobrepostos os modelos, valores gerais de riqueza são frequentemente superestimados em relação a dados de amostragem *in locu*.

Uma das questões centrais no planejamento de áreas prioritárias para conservação é como abordar a diversidade de alvos (Moilanen et al., 2014). A priorização espacial é baseada na distribuição dos organismos na área analisada, e a partir da utilização de pesos permite inserir outros componentes a serem levados em consideração na solução final. Quando a priorização envolve múltiplos alvos de grupos distintos são necessárias estratégias para evitar que diferenças entre os grupos distorçam o resultado. Os anfíbios e répteis são tradicionalmente estudados juntos apesar de possuírem características ecológicas e uma história evolutiva muito distintas (Vitt & Caldwell, 2013). A opção por abordar anfíbios e répteis separadamente eliminou a necessidade de uma pesagem inicial diferenciada. Ambos os esquemas possuem certa congruência espacial (p.ex. Campos Litorâneos), porém diferiram em outras regiões (Figura 3f), reforçando a opção de priorizações separadas para anfíbios e répteis. A seleção de um critério de 5% das melhores evidencia as áreas importantes para cada um dos grupos, bem como as compartilhadas (Figura4).

A principal estratégia de conservação *in situ* em território brasileiro (Sistema Nacional de Unidades de Conservação da Natureza - SNUC) é resultado de iniciativas de preservação sem um

planejamento sistemático. Essas estratégias têm como objetivo a aplicação eficiente de recursos e a busca de soluções com menor custo-benefício que maximizem a aplicação da ação proposta (Lowemberg-Neto & Loyola, 2016). O cenário atual de cobertura de unidades de conservação do Pampa é muito inferior ao previsto na meta 11 da COP10 e não há perspectiva para mudança desse cenário. O desmonte da educação Brasileira em seus diversos níveis, bem como a desmobilização em torno de políticas ambientais já é uma preocupação em nível mundial (see Escobar, 2018, 2019; Abessa et al., 2019; Thomé & Haddad, 2019).

Os Campos Litorâneos (CL) possuem a menor proporção de remanescentes campestres (Figura 5), muitas dessas áreas, especialmente as úmidas cederam lugar a oricultura e mais recentemente à silvicultura (Hasenack et al., 2010). É o sistema ecológico onde está inserida a UC mais bem ranqueada para os dois grupos. O Parque Nacional da Lagoa do Peixe foi tradicionalmente criado pela importância para aves migratórias, mas também para preservação de extensas áreas úmidas visadas por rizicultores. A designação de uma gestora associada ao agronegócio e sem nenhuma experiência com atuação no meio ambiente ameaça fortemente a autonomia e o funcionamento desta UC (Portaria nº 1690/328 de 09 de julho de 2019). O Campo com Espinilho (CE), ao longo do Rio Uruguai no extremo oeste do Rio Grande do Sul, também sofre grande pressão de agricultura de arroz irrigado, sendo uma área importante para anfíbios e répteis. Nesse sistema está inserido o Parque Estadual do Espinilho, UC particularmente importante no esquema de priorização de répteis. O Campo de Barba de Bode (CBb), é um dos sistemas mais importantes na priorização de anfíbios, sendo também o sistema sem nenhuma representatividade de unidades de conservação. Nesse sistema ecológico a conversão dos campos naturais se deu principalmente pelo cultivo de soja e milho (Hasenack et al., 2010). Os sistemas ecológicos com maior proporção de áreas degradadas serem os mais bem ranqueados nos dois esquemas de priorização reforça a importância da manutenção desses remanescentes e do planejamento sistemático na complementação do SNUC.

As áreas abertas que compõem o bioma Pampa são resultado de milhares de anos de adaptações ao clima e a presença de grandes herbívoros pastadores (Pillar & Vélez, 2010). A extinção da megafauna pastadora coincidiu com um período em que o clima mais úmido e quente teria favorecido a expansão natural de formações florestais sob os campos durante o holoceno (Behling, 2002). A partir de então, parte da manutenção dos campos parecem ter sido mantidos pelo manejo de fogo antropogênico e o pastejo pelo gado introduzido no século XVII (Overbeck et al. 2007). Durante esse período em que a pecuária predominou como principal atividade econômica na região favoreceu a criação de uma identidade cultural e histórica ligada à figura do Gaúcho e a criação bovina. Pesquisas recentes indicam a pecuária como potencial aliado para a manutenção da integridade dos campos sulinos e dos seus serviços ambientais (Pillar et al. 2009).

Entretanto, a tendência atual é a substituição da produção pecuária tradicional por outras atividades econômicas, provocando uma severa conversão de áreas naturais em monoculturas agrícolas e silviculturais (Pillar et al., 2002; Gautreau & Vélez, 2011). Essa tendência de descaracterização, portanto, afeta não só questões ambientais, mas também de um patrimônio associado a identidade cultural de um povo nos últimos quatro séculos. Somente entre 1986 e 2002, 16% da área campestre do Rio Grande do Sul foi convertida em outros usos como lavouras e plantações de *Pinus* e *Eucalyptus* (Reis & Pillar, 2019). Estudos já demonstraram o efeito negativo da silvicultura sobre solos, água e biodiversidade vegetal (Jobbágy et al., 2006; Pillar et al., 2006; Céspedes-Payret et al., 2009). Em relação à herpetofauna, estudos indicam redução da riqueza de anfíbios anuros em corpos d'água associados a monoculturas de *Pinus* sp. (Machado et al., 2012) bem como influência direta do sombreamento modulando a ocorrência de *Contomastix vacariensis* em afloramentos rochosos nos campos sulinos (Oliveira 2018 dados não publicados). Em relação a culturas de *Eucalyptus*, sua presença diminui a riqueza da comunidade de Anfíbios e Répteis (Saccol et al., 2017). A partir de estudos pontuais podemos projetar diferentes níveis de impactos associados

a esses tipos de conversão para a fauna associada ao Pampa brasileiro, devendo ser encorajadas pesquisas dessa natureza.

Conclusão

Os resultados demonstram a importância de identificar áreas relevantes para grupos tradicionalmente não considerados em esquemas de priorização para a conservação. Esse é o primeiro esquema de priorização focado no Pampa brasileiro, um dos biomas mais ameaçados, exclusivo do extremo sul do país. Apesar de boa parte dos remanescentes de áreas naturais campestres permanecerem com paisagem próxima da original as taxas de conversão são aceleradas. O Pampa é o bioma reconhecido mais recentemente e com a menor cobertura do Sistema de Unidades de conservação. Concluímos que para garantir a manutenção de boa parte da diversidade de ambos os grupos seria necessária a conservação de uma área muito maior do que o esquema atual. O cenário atual é de desmonte das estratégias de conservação em território nacional não sendo viável a estratégia tradicional de conservação *in situ*. Esse cenário reforça nossa percepção que a melhor estratégia para conservação desta fauna é a manutenção de áreas naturais em sistemas ecológicos com conversão acelerada, priorizando usos que não descharacterizem a paisagem natural (e.g. pecuária de baixo impacto).

Referências

Abessa, D., Famá, A., & Buruaem, L. (2019) The systematic dismantling of Brazilian environmental laws risks losses on all fronts. *Nature Ecology & Evolution*, **3**, 510–511.

Amatulli, G., Domisch, S., Tuanmu, M.-N., Parmentier, B., Ranipeta, A., Malczyk, J., & Jetz, W. (2018) A suite of global, cross-scale topographic variables for environmental and biodiversity modeling. *Scientific data*, **5**, 180040.

- Behling, H. (2002) South and southeast Brazilian grasslands during Late Quaternary times: A synthesis. *Palaeogeography, Palaeoclimatology, Palaeoecology*, **177**, 19–27.
- Bencke, G.A., Maurício, G.N., Develey, P.F., & Goerck, J.M. (2006) Áreas Importantes para a Conservação das Aves no Brasil, Parte I—Estados do Domínio da Mata Atlântica. *São Paulo: SAVE Brasil*, .
- Bérnails, R.S., Giraudo, A.R., Carreira, S., & Cechin, S.Z. (2007) Répteis das porções subtropical e temperada da região Neotropical. *Ciência e Ambiente*, **35**, 101–136.
- Berreta, E. (2008) Produção animal em pastagens naturais no Uruguai. 55–91.
- Bilencia, D. & Miñarro, F. (2004) *Identificación de Áreas Valiosas de Pastizal (AVPs) en las Pampas y Campos de Argentina, Uruguay y sur de Brasil*.
- Boldrini, I.I.. I. (2009) *A flora dos campos do Rio Grande do Sul*.
- Bond, W.J. & Parr, C.L. (2010) Beyond the forest edge: Ecology, diversity and conservation of the grassy biomes. *Biological Conservation*, **143**, 2395–2404.
- Breiman, L. (2001) Random forests. *Machine learning*, **45**, 5–32.
- Busby, J. (1991) BIOCLIM-a bioclimate analysis and prediction system. *Plant protection quarterly (Australia)*, .
- Céspedes-Payret, C., Piñeiro, G., Achkar, M., Gutiérrez, O., & Panario, D. (2009) The irruption of new agro-industrial technologies in Uruguay and their environmental impacts on soil, water supply and biodiversity: a review. *International Journal of Environment and Health*, **3**, 175–197.
- Cortes, C. & Vapnik, V. (1995) Support-vector networks. *Machine learning*, **20**, 273–297.
- Diniz-Filho, J.A.F., Mauricio Bini, L., Fernando Rangel, T., Loyola, R.D., Hof, C., Nogués-Bravo, D., & Araújo, M.B. (2009) Partitioning and mapping uncertainties in ensembles of forecasts of species

turnover under climate change. *Ecography*, **32**, 897–906.

Elith, J. & Leathwick, J.R. (2009) Species distribution models: ecological explanation and prediction across space and time. *Annual review of ecology, evolution, and systematics*, **40**, 677–697.

Embert, D., Reichle, S., Larrea-Alcázar, D.M., Cortez, C., Muñoz, A., Gonzales, L., Montaño, R., Aguayo, R., Domic, E., Padial, J.M., Maldonado, M., Caballero, P., & Guerrero, M. (2011) Priority areas for amphibian conservation in a neotropical megadiverse country: The need for alternative, non place based, conservation. *Biodiversity and Conservation*, **20**, 1557–1570.

Escobar, H. (2018) Scientists, environmentalists brace for Brazil's right turn. *Science*, **362**, 273 LP – 274.

Escobar, H. (2019) Bolsonaro's first moves have Brazilian scientists worried. *Science*, **363**, 330 LP – 330.

Franklin, J. (2010) *Mapping species distributions: spatial inference and prediction*. Cambridge University Press,

Frost, D.R. (2018) Available at: <http://research.amnh.org/herpetology/amphibia/index.html>.

Garcia, P.C.A., Lavilla, E., Langone, J., & Segalla, M. V. (2007) Anfíbios da região subtropical da América do Sul. *Ciência & Ambiente*, **35**, 65–100.

Gautreau, P. & Vélez, E. (2011) Strategies of environmental knowledge production facing land use changes: Insights from the Silvicultural Zoning Plan conflict in the Brazilian state of Rio Grande do Sul. *Cybergeo: European Journal of Geography*, .

Giulietti, A.M., Rapini, A., Andrade, M.J.G., Queiroz, L.P., & C., S.J.M. (2009) *Plantas raras do Brasil*. Conservação Internacional,

Google (2018) Google Earth PRO. .

Graham, C.H., Ron, S.R., Santos, J.C., Schneider, C.J., & Moritz, C. (2004) Integrating phylogenetics and environmental niche models to explore speciation mechanisms in dendrobatid frogs. *Evolution*, **58**, 1781–1793.

Guisan, A., Edwards Jr, T.C., & Hastie, T. (2002) Generalized linear and generalized additive models in studies of species distributions: setting the scene. *Ecological modelling*, **157**, 89–100.

Gumbs, R., Gray, C.L., Wearn, O.R., & Owen, N.R. (2018) Tetrapods on the EDGE: Overcoming data limitations to identify phylogenetic conservation priorities. *PLoS ONE*, **13**, 1–19.

Hasenack, H., Weber, E., Boldrini, I.I., & Trevisan, R. (2010) Mapa de sistemas ecológicos da ecorregião das savanas uruguaias em escala 1: 500.000 ou superior e relatório técnico descrevendo insumos utilizados e metodologia de elaboração do mapa de sistemas ecológicos. *Porto Alegre, UFRGS, Centro de Ecologia*, .

Hijmans, R.J., Cameron, S.E., Parra, J.L., Jones, P.G., & Jarvis, A. (2005) Very high resolution interpolated climate surfaces for global land areas. *International Journal of Climatology: A Journal of the Royal Meteorological Society*, **25**, 1965–1978.

Hijmans, R.J., Phillips, S., Leathwick, J., & Elith, J. (2013) dismo: Species distribution modeling. *R package version 0.8-17*, .

del Hoyo, J., Collar, N.J., Christie, D.A., Elliott, A., Fishpool, L.D.C., Boesman, P., & Kirwan, G.M. (2016) HBW and BirdLife International Illustrated Checklist of the Birds of the World. .

IBGE (2004) Mapa de Biomas do Brasil. .

Jobbágy, E.G., Vasallo, M., Farley, K.A., Piñeiro, G., Garbulsky, M.F., Nosetto, M.D., Jackson, R.B., & Paruelo, J.M. (2006) Forestación en pastizales: hacia una visión integral de sus oportunidades y costos ecológicos. *Agrociencia-Sitio en Reparación*, **10**, 109–124.

Krob, A., Kindel, A., & Bohrer, P. (2010) Microcorredores Ecológicos de Itapeva. *Porto Alegre: Instituto Curicaca*, .

Lehtomäki, J. & Moilanen, A. (2013) Methods and workflow for spatial conservation prioritization using Zonation. *Environmental Modelling & Software*, **47**, 128–137.

Lino, C.F., Dias, H., & Albuquerque, J.L.R. (2009) Reserva da Biosfera da Mata Atlântica: revisão e atualização dos limites e zoneamento da Reserva da Biosfera da Mata Atlântica em base cartográfica digitalizada—fase VI. *Fase VI. São Paulo: Conselho Nacional da Reserva da Biosfera da Mata Atlântica*, .

Lowemberg-Neto, P. & Loyola, R. (2016) Biogeografia da Conservação. *Biogeografia da América do Sul: analisando espaço, tempo e forma* pp. 169–178.

Loyola, R., Machado, N., Vila Nova, D., Martins, E., & Martinelli, G. (2014) Áreas prioritárias para conservação e uso sustentável da flora brasileira ameaçada de extinção.

Loyola, R.D., Kubota, U., & Lewinsohn, T.M. (2007) Endemic vertebrates are the most effective surrogates for identifying conservation priorities among Brazilian ecoregions. *Diversity and Distributions*, **13**, 389–396.

Loyola, R.D., Lemes, P., Faleiro, F. V., Trindade-Filho, J., & Machado, R.B. (2012) Severe Loss of Suitable Climatic Conditions for Marsupial Species in Brazil: Challenges and Opportunities for Conservation. *PLoS ONE*, **7**, .

Machado, I.F., Moreira, L.F.B., & Maltchik, L. (2012) Effects of pine invasion on anurans assemblage in southern Brazil coastal ponds. *Amphibia-Reptilia*, **33**, 227–237.

MapBiomass, P. (2019) – Coleção v3.1 da Série Anual de Mapas de Cobertura e Uso de Solo do Brasil, acessado em [30/07/2019] através do link: [<http://mapbiomas.org>]

- Moilanen, A. (2007) Landscape Zonation, benefit functions and target-based planning: Unifying reserve selection strategies. *Biological Conservation*, **134**, 571–579.
- Moilanen, A., Franco, A.M.A., Early, R.I., Fox, R., Wintle, B., & Thomas, C.D. (2005) Prioritizing multiple-use landscapes for conservation: methods for large multi-species planning problems. *Proceedings of the Royal Society B: Biological Sciences*, **272**, 1885–1891.
- Moilanen, A., Pouzols, F.M., & Meller, L. (2014) Spatial conservation planning methods and software Zonation. Version 4 User manual. .
- Nogueira, C., Buckup, P.A., Menezes, N.A., Oyakawa, O.T., Kasecker, T.P., Neto, M.B.R., & da Silva, J.M.C. (2010) Restricted-range fishes and the conservation of Brazilian freshwaters. *PLoS one*, **5**, e11390.
- Olson, D.M., Dinerstein, E., Wikramanayake, E.D., Burgess, N.D., Powell, G.V.N., Underwood, E.C., D'amico, J. a., Itoua, I., Strand, H.E., Morrison, J.C., Loucks, C.J., Allnutt, T.F., Ricketts, T.H., Kura, Y., Lamoreux, J.F., Wettenberg, W.W., Hedao, P., & Kassem, K.R. (2001) Terrestrial Ecoregions of the World: A New Map of Life on Earth. *BioScience*, **51**, 933.
- Overbeck, G.E., Müller, S.C., Fidelis, A., Pfadenhauer, J., Pillar, V.D., Blanco, C.C., Boldrini, I.I., Both, R., & Forneck, E.D. (2007) Brazil's neglected biome: The South Brazilian Campos. *Perspectives in Plant Ecology, Evolution and Systematics*, **9**, 101–116.
- Pennington, R.T. & Ratter, J.A. (2006) *Neotropical savannas and seasonally dry forests: plant diversity, biogeography, and conservation*. CRC Press,
- Peterson, A.T., Soberón, J., Pearson, R.G., Anderson, R.P., Martínez-Meyer, E., Nakamura, M., & Araújo, M.B. (2011) *Ecological niches and geographic distributions (MPB-49)*. Princeton University Press,
- Phillips, S.J., Anderson, R.P., & Schapire, R.E. (2006) Maximum entropy modeling of species

geographic distributions. *Ecological modelling*, **190**, 231–259.

Pillar, V. de P., Müller, S.C., Castilhos, Z.M. de S., & Jacques, A.V.Á. (2009) *Campos Sulinos: conservação e uso sustentável da biodiversidade*. Bras.

Pillar, V.D., Boldrini, I.I., Hasenack, H., Jacques, A.V.A., Both, R., Müller, S.C., Eggers, L., Fidelis, A., Santos, M.M.G., & Oliveira, J.M. (2006) Estado atual e desafios para a conservação dos campos. *Universidade Federal do Rio Grande do Sul Porto Alegre*, 24.

Pillar, V.D. & Vélez, E. (2010) Extinção dos Campos Sulinos em Unidades de Conservação: um Fenômeno Natural ou um Problema Ético? *Natureza & Conservação*, **8**, 84–86.

Pillar, V.D.P., Boldrini, I.I., & Lange, O. (2002) Spatial patterns of grassland communities under eucalyptus plantation. *Pesquisa agropecuária brasileira*, **37**, 753–761.

R Core Team (2018). R: A language and environment for statistical computing. R Foundation for Statistical Computing, Vienna, Austria. URL <https://www.R-project.org/>.

Reis, C.R.M. dos & Pillar, V.D.P. (2019) Valores, Estratégias de Pesquisa e Aplicação do Conhecimento: Os Campos Sulinos em Questão. *Principia: an international journal of epistemology*, **22**, 461–483.

Rocha, D. (2019) modelos: Modelagem de nicho ecológico. .

Roll, U., Feldman, A., Novosolov, M., et al. (2017) The global distribution of tetrapods reveals a need for targeted reptile conservation. *Nature Ecology and Evolution*, **1**, 1677–1682.

Saccol, S. da S.A., Bolzan, A.M.R., & Santos, T.G. dos (2017) In the Shadow of Trees: Does Eucalyptus Afforestation Reduce Herpetofaunal Diversity in Southern Brazil? . *South American Journal of Herpetology*, **12**, 42–56.

SEMA (2014) Corredor Ecológico da Quarta Colônia, como instrumento de gestão territorial para

promoção da conectividade entre o Parque Estadual da Quarta Colônia e demais alvos prioritários de conservação da biodiversidade identificados na região. .

SNUC (2000) 9.985, de 18 de julho de 2000. *SNUC–Sistema Nacional de Unidades de Conservação*.

Brasília, 18, .

Thomé, M.T.C. & Haddad, C.F.B. (2019) Brazil's biodiversity researchers need help. *Science*, **364**, 1144 LP – 1145.

Uetz, P., Freed, P., & Hošek, J. (2018)

Vélez-Martin, E. (2010) Proposição de novas unidades de conservação federais no Bioma Pampa com definição de categoria, delimitação e caracterização biológica para fins de análise técnica e jurídica por parte do Ministério do Meio Ambiente. .

Vitt, L.J. & Caldwell, J.P. (2013) *Herpetology: An Introductory Biology of Amphibians and Reptiles*. Elsevier Science,

Wilson, D.E. & Reeder, D.M. (2011) Class Mammalia Linnaeus, 1758. *Zootaxa*, **3148**, 56–60.

Conclusões

O reconhecimento de unidades biogeográficas é dependente do conhecimento sobre a distribuição dos organismos que habitam determinada região. Neste trabalho apresentamos um panorama sobre o conhecimento de taxonomia e distribuição de anfíbios e répteis da Ecorregião Savana Uruguaia. A qualidade dos dados permite inferir padrões compartilhados entre os grupos (corótipos), indicando áreas restritas a Savana Uruguaia, bem como sua relação com outras unidades biogeográficas. Exploramos ainda questões relacionadas ao nicho ecológico das espécies que compõem os corótipos, fornecendo subsídios para hipóteses sobre processos geradores dos padrões bem como efeitos de parâmetros analíticos sob a composição das áreas. O conhecimento sobre a distribuição geográfica permitiu também, uma proposta de priorização espacial do Bioma Pampa utilizando esses grupos que tradicionalmente não são contemplados nesses esquemas. Desta forma podemos indicar as principais ameaças e ranquear áreas prioritárias indicando quais estratégias seriam mais efetivas.

Referências Bibliográficas

- Bérnls RS, Giraudo AR, Carreira S, Cechin SZ, 2007. Répteis das porções subtropical e temperada da Região Neotropical. Ciência & Ambiente, 35: 101-136.
- Cabrera AL, Willink A, 1973. Biogeografía de América Latina. Washington DC: Programa Regional de Desarrollo Científico y Tecnológico. 120pp.
- Carreira S, Brazeiro A, Camargo A, da Rosa I, Canavero A, Maneyro M., 2012. Diversity of reptiles of Uruguay: knowledge and information gaps. Boletín de la Sociedad Zoológica de Uruguay, 21(1-2): 9-29.
- Colwell RK & Rangel TF, 2009. Hutchinson's duality: the once and future niche. Proceedings of the National Academy of Sciences USA, 106: 19651-58.
- Garcia PCA, Lavilla E, Langone J, Segalla MV, 2007. Anfíbios da região subtropical da América do Sul – Padrões de distribuição. Ciência & Ambiente, 35: 65-100.
- Giraudo, AR, 2001. Serpientes de la Selva Paranaense y del Chaco Húmedo. L.O.L.A, Buenos Aires
- Hortal J, Lobo JM, Jimenez-Valverde A, 2007. Limitations of Biodiversity Databases: Case Study on Seed-Plant Diversity in Tenerife, Canary Islands. Conservation Biology 21: 853-63.
- Hortal J, de Bello F, Diniz-Filho JAF, Lewinsohn TM, Lobo JM, Ladle RJ ,2015. Seven shortfalls that beset large-scale knowledge of biodiversity. Annual Review of Ecology, Evolution, and Systematics, 46: 523-549.
- IBGE, 2004. Mapa de biomas do Brasil. Escala 1:5.000.000. Rio de Janeiro: IBGE, 2004.
- Lema T ,1994. Lista comentada dos répteis ocorrentes no Rio Grande do Sul, Brasil. Comunicação Museu Ciências PUCRS, série Zoologia, 7: 41-150.

Lomolino MV, 2004. Conservation Biogeography. In Frontiers of Biogeography: new directions in the geography of nature, ed. MV Lomolino, LR Heaney. Sunderland, Massachussets: Sinauer Associates, Inc. pp. 293-96

Mittermeier RA, Robles-Gil P, Mittermeier CG (eds.), 1997. Megadiversity: Earth's biologically wealthiest nations. CEMEX, Agrupación Serra Madre, S.C., Mexico

Morrone JJ, 2017. Neotropical biogeography: Regionalization and evolution. Boca Raton: CRC Press.

Myers N, Mittermeier RA, Mittermeier CG, Fonseca GAB, Kent J, 2000. Biodiversity Hotspots for conservation priorities. *Nature* 403: 853-858.

Olson DM, Dinerstein E, Wikramanayake ED, Burgess ND, Powell GVN, Underwood EC, D'amico JA, Itoua I, Strand HE, Morrison JC, Loucks CJ, Allnutt TF, Ricketts TH, Kura Y, Lamoreux JF, Wettengel WW, Hedao P, Kassem KR, 2001. Terrestrial Ecoregions of the World: A New Map of Life on Earth. *BioScience*, 51: 933.

Overbeck GE, Müller SC, Fidelis A, Pfadenhauer J, Pillar VD, Blanco CC, Boldrini II, Both R, Forneck ED, 2007. Brazil's neglected biome: the South Brazilian Campos. *Perspectives in Plant Ecology, Evolution and Systematics*, 9(2): 101-116.

Peterson AT et al., 2011. Ecological niches and geographic distributions. Oxford: Princeton University Press.

Soberón J, 2007. Grinnellian and Eltonian niches and geographic distribution of species. *Ecology Letters*, 10: 1115-23.

Soberón J & Nakamura M, 2009. Niches and distributional areas: Concepts, methods, and assumptions. *Proceedings of the National Academy of Sciences USA*, 106: 19644-50.

Soberón J, 2010. Niche and area of distribution modeling: a population ecology perspective.

Ecography, 33: 159–167.

Soriano A, León RJC, Sala OE, Lavado RS, Deregibus VA, Cahuepé MA, Scaglia OA, Velazquez CA, Lemcoff JH, 1992. Río de la Plata grasslands. *Ecosystems of the World* 8A. Natural Grasslands (ed. by R.T. Coupland). Elsevier, New York. pp. 367–407.

Apêndices

Material Suplementar I

Appendix I. List of all species with occurrence in the Uruguayan Savanna ecoregion

| Group | Family | Specie |
|------------|------------------|--------------------------------|
| Testudines | Emydidae | <i>Trachemys dorbigni</i> |
| Testudines | Chelidae | <i>Acanthochelys spixii</i> |
| Testudines | Chelidae | <i>Hydromedusa tectifera</i> |
| Testudines | Chelidae | <i>Phrynops hilarii</i> |
| Testudines | Chelidae | <i>Phrynops williamsi</i> |
| Squamata | Phyllodactylidae | <i>Homonota uruguayensis</i> |
| Squamata | Mabuyidae | <i>Aspronema dorsivittatum</i> |
| Squamata | Mabuyidae | <i>Notomabuya frenata</i> |
| Squamata | Leiosauridae | <i>Anisolepis undulatus</i> |
| Squamata | Liolaemidae | <i>Liolaemus arambarensis</i> |
| Squamata | Liolaemidae | <i>Liolaemus gardeli</i> |
| Squamata | Liolaemidae | <i>Liolaemus occipitalis</i> |
| Squamata | Tropiduridae | <i>Stenocercus azureus</i> |
| Squamata | Tropiduridae | <i>Tropidurus catalanensis</i> |
| Squamata | Anguidae | <i>Ophiodes enso</i> |
| Squamata | Anguidae | <i>Ophiodes fragilis</i> |
| Squamata | Anguidae | <i>Ophiodes intermedius</i> |
| Squamata | Anguidae | <i>Ophiodes vertebralis</i> |
| Squamata | Anguidae | <i>Ophiodes aff. striatus</i> |

| | | |
|----------|------------------|---------------------------------------|
| Squamata | Gymnophthalmidae | <i>Cercosaura olivacea</i> |
| Squamata | Gymnophthalmidae | <i>Cercosaura schreibersii</i> |
| Squamata | Teiidae | <i>Contomastix charrua</i> |
| Squamata | Teiidae | <i>Contomastix lacertoides</i> |
| Squamata | Teiidae | <i>Salvator merianae</i> |
| Squamata | Teiidae | <i>Teius oculatus</i> |
| Squamata | Amphisbaenidae | <i>Amphisbaena darwinii</i> |
| Squamata | Amphisbaenidae | <i>Amphisbaena kingii</i> |
| Squamata | Amphisbaenidae | <i>Amphisbaena munoai</i> |
| Squamata | Amphisbaenidae | <i>Amphisbaena prunicolor</i> |
| Squamata | Amphisbaenidae | <i>Amphisbaena trachura</i> |
| Squamata | Anomalepididae | <i>Liopholops beui*</i> |
| Squamata | Typhlopidae | <i>Amerotyphlops brongersmianus</i> |
| Squamata | Leptotyphlopidae | <i>Epictia munoai</i> |
| Squamata | Boidae | <i>Eunectes notaeus</i> |
| Squamata | Colubridae | <i>Chironius bicarinatus</i> |
| Squamata | Colubridae | <i>Chironius brasili</i> |
| Squamata | Colubridae | <i>Chironius maculoventralis</i> |
| Squamata | Colubridae | <i>Leptophis ahaetulla marginatus</i> |
| Squamata | Colubridae | <i>Mastigodryas bifossatus</i> |
| Squamata | Colubridae | <i>Spilotes pullatus</i> |
| Squamata | Colubridae | <i>Tantilla melanocephala</i> |
| Squamata | Dipsadidae | <i>Apostolepis quirogai</i> |
| Squamata | Dipsadidae | <i>Atractus paraguayensis</i> |

| | | |
|----------|------------|------------------------------------|
| Squamata | Dipsadidae | <i>Atractus reticulatus</i> |
| Squamata | Dipsadidae | <i>Atractus thalesdelemai</i> |
| Squamata | Dipsadidae | <i>Boiruna maculata</i> |
| Squamata | Dipsadidae | <i>Calamodontophis paucidens</i> |
| Squamata | Dipsadidae | <i>Ditaxodon taeniatus</i> |
| Squamata | Dipsadidae | <i>Echinanthera cyanopleura</i> |
| Squamata | Dipsadidae | <i>Erythrolamprus almadensis</i> |
| Squamata | Dipsadidae | <i>Erythrolamprus jaegeri</i> |
| Squamata | Dipsadidae | <i>Erythrolamprus miliaris*</i> |
| Squamata | Dipsadidae | <i>Erythrolamprus poecilogyrus</i> |
| Squamata | Dipsadidae | <i>Gomesophis brasiliensis</i> |
| Squamata | Dipsadidae | <i>Helicops infrataeniatus</i> |
| Squamata | Dipsadidae | <i>Hydrodynastes gigas</i> |
| Squamata | Dipsadidae | <i>Lygophis anomalus</i> |
| Squamata | Dipsadidae | <i>Lygophis flavifrenatus</i> |
| Squamata | Dipsadidae | <i>Oxyrhopus rhombifer</i> |
| Squamata | Dipsadidae | <i>Paraphimophis rustica</i> |
| Squamata | Dipsadidae | <i>Phalotris lemniscatus</i> |
| Squamata | Dipsadidae | <i>Philodryas aestiva</i> |
| Squamata | Dipsadidae | <i>Philodryas agassizii</i> |
| Squamata | Dipsadidae | <i>Philodryas olfersii</i> |
| Squamata | Dipsadidae | <i>Philodryas patagoniensis</i> |
| Squamata | Dipsadidae | <i>Psomophis obtusus</i> |
| Squamata | Dipsadidae | <i>Ptychophis flavovirgatus</i> |

| | | |
|----------|------------|--------------------------------------|
| Squamata | Dipsadidae | <i>Sibynomorphus neuwiedi</i> |
| Squamata | Dipsadidae | <i>Sibynomorphus turgidus</i> |
| Squamata | Dipsadidae | <i>Sibynomorphus ventrimaculatus</i> |
| Squamata | Dipsadidae | <i>Taeniophallus occipitalis</i> |
| Squamata | Dipsadidae | <i>Taeniophallus poecilopogon</i> |
| Squamata | Dipsadidae | <i>Thamnodynastes hypoconia</i> |
| Squamata | Dipsadidae | <i>Thamnodynastes strigatus</i> |
| Squamata | Dipsadidae | <i>Tomodon dorsatus</i> |
| Squamata | Dipsadidae | <i>Tomodon ocellatus</i> |
| Squamata | Dipsadidae | <i>Xenodon dorbignyi</i> |
| Squamata | Dipsadidae | <i>Xenodon histricus</i> |
| Squamata | Dipsadidae | <i>Xenodon merremii</i> |
| Squamata | Dipsadidae | <i>Xenodon neuwiedii</i> |
| Squamata | Elapidae | <i>Micrurus altirostris</i> |
| Squamata | Elapidae | <i>Micrurus silviae</i> |
| Squamata | Viperidae | <i>Bothrops alternatus</i> |
| Squamata | Viperidae | <i>Bothrops diporus*</i> |
| Squamata | Viperidae | <i>Bothrops jararaca</i> |
| Squamata | Viperidae | <i>Bothrops pubescens*</i> |
| Squamata | Viperidae | <i>Crotalus durissus</i> |
| Amphibia | Anura | <i>Aplastodiscus perviridis</i> |
| Amphibia | Anura | <i>Argenteohyla siemersi</i> |
| Amphibia | Anura | <i>Ceratophrys ornata</i> |
| Amphibia | Anura | <i>Dendropsophus minutus*</i> |

| | | |
|----------|-------|--|
| Amphibia | Anura | <i>Dendropsophus nanus</i> |
| Amphibia | Anura | <i>Dendropsophus sanborni</i> |
| Amphibia | Anura | <i>Elachistocleis bicolor</i> |
| Amphibia | Anura | <i>Hypsiboas albopunctatus</i> |
| Amphibia | Anura | <i>Hypsiboas caingua</i> |
| Amphibia | Anura | <i>Hypsiboas faber</i> |
| Amphibia | Anura | <i>Hypsiboas pulchellus</i> |
| Amphibia | Anura | <i>Julianus uruguayus</i> |
| Amphibia | Anura | <i>Leptodactylus chaquensis*</i> |
| Amphibia | Anura | <i>Leptodactylus furnarius</i> |
| Amphibia | Anura | <i>Leptodactylus fuscus</i> |
| Amphibia | Anura | <i>Leptodactylus gracilis</i> |
| Amphibia | Anura | <i>Leptodactylus latinasus</i> |
| Amphibia | Anura | <i>Leptodactylus latrans*</i> |
| Amphibia | Anura | <i>Leptodactylus mystacinus</i> |
| Amphibia | Anura | <i>Leptodactylus podicipinus</i> |
| Amphibia | Anura | <i>Limnomedusa macroglossa</i> |
| Amphibia | Anura | <i>Lysapsus limellum</i> |
| Amphibia | Anura | <i>Melanophrynniscus atroluteus</i> |
| Amphibia | Anura | <i>Melanophrynniscus devincenzi</i> |
| Amphibia | Anura | <i>Melanophrynniscus dorsalis</i> |
| Amphibia | Anura | <i>Melanophrynniscus langonei</i> |
| Amphibia | Anura | <i>Melanophrynniscus montevidensis</i> |
| Amphibia | Anura | <i>Melanophrynniscus pachyrhynus</i> |

| | | |
|----------|-------|------------------------------------|
| Amphibia | Anura | <i>Melanophryniscus sanmartini</i> |
| Amphibia | Anura | <i>Odontophrynus americanus</i> |
| Amphibia | Anura | <i>Odontophrynus maisuma</i> |
| Amphibia | Anura | <i>Oolygon aromothyella</i> |
| Amphibia | Anura | <i>Oolygon berthae</i> |
| Amphibia | Anura | <i>Phyllomedusa iheringii</i> |
| Amphibia | Anura | <i>Physalaemus biligonigerus</i> |
| Amphibia | Anura | <i>Physalaemus cuvieri</i> |
| Amphibia | Anura | <i>Physalaemus fernandezae</i> |
| Amphibia | Anura | <i>Physalaemus gracilis</i> |
| Amphibia | Anura | <i>Physalaemus henselii</i> |
| Amphibia | Anura | <i>Physalaemus lisei</i> |
| Amphibia | Anura | <i>Physalaemus riograndensis</i> |
| Amphibia | Anura | <i>Pleurodema bibroni</i> |
| Amphibia | Anura | <i>Pseudis minuta</i> |
| Amphibia | Anura | <i>Pseudopaludicola falcipes</i> |
| Amphibia | Anura | <i>Rhinella abei</i> |
| Amphibia | Anura | <i>Rhinella achavali</i> |
| Amphibia | Anura | <i>Rhinella arenarum</i> |
| Amphibia | Anura | <i>Rhinella azarai</i> |
| Amphibia | Anura | <i>Rhinella dorbignyi</i> |
| Amphibia | Anura | <i>Rhinella fernandezae</i> |
| Amphibia | Anura | <i>Rhinella henseli</i> |
| Amphibia | Anura | <i>Rhinella icterica</i> |

| | | |
|----------|-------------|-----------------------------------|
| Amphibia | Anura | <i>Rhinella schneideri</i> |
| Amphibia | Anura | <i>Scinax fuscovarius</i> |
| Amphibia | Anura | <i>Scinax granulatus</i> |
| Amphibia | Anura | <i>Scinax nasicus</i> |
| Amphibia | Anura | <i>Scinax squalirostris</i> |
| Amphibia | Anura | <i>Scinax tymbamirim</i> |
| Amphibia | Anura | <i>Trachycephalus mesophaeus</i> |
| Amphibia | Gymnophiona | <i>Chthonerpeton indistinctum</i> |
| Amphibia | Gymnophiona | <i>Siphonops paulensis</i> |

* species excluded from NDM analysis

Appendix II

Table 1. NDM consensus varying cut-off values to each grid-size

| Grid-size | Cut-off values | | | | | | | | | | | | | | | | | | | |
|-----------|----------------|-------|-------|-------|-------|-------|-------|-------|-------|-------|-------|-------|-------|-------|-------|-------|-------|-------|-------|-------|
| | 5% | 10% | 15% | 20% | 25% | 30% | 35% | 40% | 45% | 50% | 55% | 60% | 65% | 70% | 75% | 80% | 85% | 90% | 95% | b |
| 0.5 | 0.000 | 0.000 | 0.000 | 0.000 | 0.000 | 0.000 | 0.000 | 0.000 | 0.000 | 0.000 | 0.000 | 0.000 | 0.000 | 0.000 | 0.000 | 0.000 | 0.000 | 0.000 | 0.000 | 0.000 |
| 0.6 | 0.000 | 0.000 | 0.000 | 0.000 | 0.000 | 0.000 | 0.000 | 0.000 | 0.000 | 0.000 | 0.000 | 0.000 | 0.000 | 0.000 | 0.000 | 0.000 | 0.000 | 0.000 | 0.000 | 0.000 |
| 0.7 | 0.000 | 0.000 | 0.000 | 0.000 | 0.000 | 0.000 | 0.000 | 0.000 | 0.000 | 0.000 | 0.000 | 0.000 | 0.000 | 0.000 | 0.000 | 0.000 | 0.000 | 0.000 | 0.000 | 0.000 |
| 0.8 | 0.000 | 0.000 | 0.000 | 0.000 | 0.000 | 0.000 | 0.000 | 0.000 | 0.000 | 0.000 | 0.000 | 0.000 | 0.000 | 0.000 | 0.000 | 0.000 | 0.000 | 0.000 | 0.000 | 0.000 |
| 0.9 | 1.000 | 1.000 | 1.000 | 1.000 | 1.000 | 1.000 | 1.000 | 1.000 | 1.000 | 1.000 | 1.000 | 1.000 | 1.000 | 1.000 | 1.000 | 1.000 | 1.000 | 1.000 | 1.000 | 1.000 |
| 1 | 1.000 | 1.000 | 1.000 | 1.000 | 1.000 | 1.000 | 1.000 | 1.000 | 1.000 | 1.000 | 1.000 | 1.000 | 1.000 | 1.000 | 1.000 | 1.000 | 1.000 | 1.000 | 1.000 | 1.000 |
| 1.1 | 1.000 | 1.000 | 1.000 | 1.000 | 1.000 | 1.000 | 1.000 | 1.000 | 1.000 | 1.000 | 1.000 | 1.000 | 1.000 | 1.000 | 1.000 | 1.000 | 1.000 | 1.000 | 1.000 | 1.000 |
| 1.2 | 0.600 | 0.600 | 0.800 | 0.800 | 0.800 | 0.800 | 0.800 | 0.800 | 0.800 | 0.800 | 1.000 | 1.000 | 1.000 | 1.000 | 1.000 | 1.000 | 1.000 | 1.000 | 1.000 | 0.026 |
| 1.3 | 0.222 | 0.222 | 0.222 | 0.222 | 0.222 | 0.222 | 0.222 | 0.222 | 0.222 | 0.222 | 0.222 | 0.222 | 0.556 | 0.556 | 0.889 | 1.000 | 1.000 | 1.000 | 1.000 | 1.000 |
| 1.4 | 0.400 | 0.400 | 0.600 | 0.600 | 0.600 | 0.600 | 0.600 | 0.600 | 0.600 | 0.600 | 0.800 | 0.800 | 0.800 | 0.800 | 0.800 | 1.000 | 1.000 | 1.000 | 1.000 | 0.048 |
| 1.5 | 0.429 | 0.429 | 0.429 | 0.571 | 0.571 | 0.714 | 0.714 | 0.857 | 0.857 | 0.857 | 0.857 | 0.857 | 0.857 | 0.857 | 0.857 | 0.857 | 1.000 | 1.000 | 1.000 | 0.048 |
| 1.6 | 0.059 | 0.059 | 0.059 | 0.059 | 0.059 | 0.059 | 0.118 | 0.235 | 0.235 | 0.294 | 0.294 | 0.353 | 0.353 | 0.471 | 0.588 | 0.706 | 0.882 | 0.941 | 1.000 | 0.186 |
| 1.7 | 0.375 | 0.375 | 0.375 | 0.375 | 0.375 | 0.375 | 0.375 | 0.375 | 0.375 | 0.500 | 0.500 | 0.500 | 0.625 | 0.750 | 0.750 | 1.000 | 1.000 | 1.000 | 1.000 | 0.058 |
| 1.8 | 0.036 | 0.036 | 0.036 | 0.036 | 0.036 | 0.107 | 0.107 | 0.107 | 0.179 | 0.179 | 0.250 | 0.286 | 0.321 | 0.357 | 0.500 | 0.714 | 0.929 | 0.929 | 1.000 | 0.211 |
| 1.9 | 0.067 | 0.067 | 0.133 | 0.133 | 0.133 | 0.200 | 0.200 | 0.267 | 0.267 | 0.333 | 0.333 | 0.600 | 0.733 | 0.867 | 0.867 | 0.933 | 0.933 | 0.933 | 1.000 | 0.161 |
| 2 | 0.069 | 0.069 | 0.069 | 0.103 | 0.103 | 0.138 | 0.138 | 0.138 | 0.172 | 0.172 | 0.207 | 0.276 | 0.448 | 0.483 | 0.517 | 0.655 | 0.793 | 0.931 | 1.000 | 0.160 |
| 2.1 | 0.050 | 0.050 | 0.050 | 0.050 | 0.050 | 0.100 | 0.100 | 0.100 | 0.100 | 0.250 | 0.350 | 0.450 | 0.550 | 0.750 | 0.800 | 0.850 | 0.900 | 1.000 | 1.000 | 0.206 |
| 2.2 | 0.033 | 0.033 | 0.033 | 0.033 | 0.033 | 0.067 | 0.100 | 0.100 | 0.100 | 0.200 | 0.300 | 0.367 | 0.500 | 0.600 | 0.800 | 0.900 | 0.967 | 1.000 | 1.000 | 0.233 |
| 2.3 | 0.050 | 0.050 | 0.050 | 0.050 | 0.050 | 0.050 | 0.100 | 0.150 | 0.200 | 0.350 | 0.350 | 0.450 | 0.650 | 0.700 | 0.800 | 0.900 | 1.000 | 1.000 | 1.000 | 0.204 |
| 2.4 | 0.022 | 0.022 | 0.022 | 0.022 | 0.022 | 0.022 | 0.022 | 0.043 | 0.065 | 0.087 | 0.109 | 0.239 | 0.348 | 0.413 | 0.543 | 0.739 | 0.870 | 0.978 | 0.978 | 0.254 |
| 2.5 | 0.031 | 0.031 | 0.031 | 0.031 | 0.031 | 0.063 | 0.094 | 0.156 | 0.156 | 0.156 | 0.188 | 0.188 | 0.250 | 0.375 | 0.438 | 0.594 | 0.750 | 0.844 | 0.906 | 0.211 |

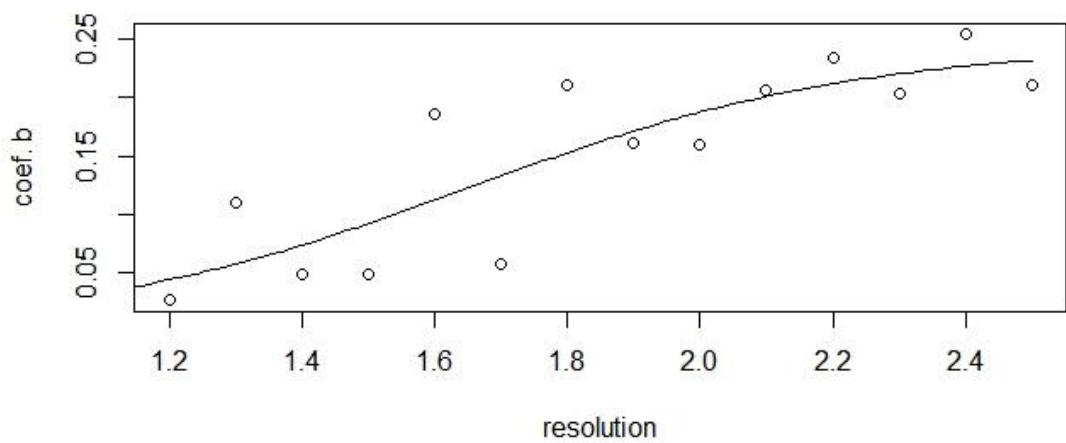


Figure 1. Sigmoid function adjusted to “b” values

Appendix III

Table 1. NDM Individual areas and species scores in each analysis

| Individual Area | Specie | Score |
|-----------------|-------------------------------------|----------|
| A0 | <i>Phyllomedusa iheringii</i> | 0.517857 |
| A0 | <i>Physalaemus henselii</i> | 0.529412 |
| A0 | <i>Rhinella dorbignyi</i> | 1 |
| A0 | <i>Tomodon ocellatus</i> | 0.394737 |
| A0 | <i>Melanophrynniscus atroluteus</i> | 0.441176 |
| A1 | <i>Limnomedusa macroglossa</i> | 0.7125 |
| A1 | <i>Physalaemus henselii</i> | 0.777778 |
| A1 | <i>Rhinella dorbignyi</i> | 0.794118 |
| A1 | <i>Taeniophallus poecilopogon</i> | 0.735294 |
| A1 | <i>Tomodon ocellatus</i> | 0.722222 |

| | | |
|----|---------------------------------------|----------|
| A1 | <i>Trachemys dorbignyi</i> | 0.75 |
| A1 | <i>Melanophryniscus atroluteus</i> | 0.694444 |
| A2 | <i>Amphisbaena darwini</i> | 0.583333 |
| A2 | <i>Anisolepis undulatus</i> | 0.40625 |
| A2 | <i>Calamodontophis paucidens</i> | 0.392857 |
| A2 | <i>Melanophryniscus montevidensis</i> | 0.55 |
| A2 | <i>Melanophryniscus pachyrhynus</i> | 0.392857 |
| A2 | <i>Melanophryniscus sanmartini</i> | 0.6 |
| A3 | <i>Physalaemus lisei</i> | 0.5 |
| A3 | <i>Sibynomorphus aff neuwiedi</i> | 1 |
| A3 | <i>Melanophryniscus dorsalis</i> | 0.416667 |
| A4 | <i>Physalaemus henselii</i> | 1 |
| A4 | <i>Rhinella dorbignyi</i> | 0.629032 |
| A4 | <i>Taeniophallus poecilopogon</i> | 0.62069 |
| A4 | <i>Melanophryniscus atroluteus</i> | 0.485714 |
| A5 | <i>Amphisbaena darwini</i> | 0.590909 |
| A5 | <i>Anisolepis undulatus</i> | 0.4 |
| A5 | <i>Calamodontophis paucidens</i> | 0.3 |
| A5 | <i>Melanophryniscus montevidensis</i> | 0.409091 |
| A5 | <i>Melanophryniscus pachyrhynus</i> | 0.384615 |
| A5 | <i>Melanophryniscus sanmartini</i> | 0.611111 |
| A6 | <i>Amphisbaena munoi</i> | 0.71875 |
| A6 | <i>Amphisbaena darwini</i> | 0.678571 |
| A6 | <i>Anisolepis undulatus</i> | 0.5 |

| | | |
|-----|---------------------------------------|----------|
| A6 | <i>Calamodontophis paucidens</i> | 0.75 |
| A6 | <i>Phyllomedusa iheringii</i> | 0.71875 |
| A6 | <i>Melanophryniscus pachyrhynus</i> | 0.607143 |
| A6 | <i>Melanophryniscus sanmartini</i> | 0.708333 |
| A7 | <i>Liolaemus occipitalis</i> | 1 |
| A7 | <i>Odontophrynuus maisuma</i> | 0.615385 |
| A7 | <i>Melanophryniscus dorsalis</i> | 0.681818 |
| A8 | <i>Amphisbaena darwini</i> | 0.571429 |
| A8 | <i>Anisolepis undulatus</i> | 0.5 |
| A8 | <i>Calamodontophis paucidens</i> | 0.40625 |
| A8 | <i>Ceratophysys ornata</i> | 0.583333 |
| A8 | <i>Melanophryniscus montevidensis</i> | 0.7 |
| A8 | <i>Melanophryniscus pachyrhynus</i> | 0.40625 |
| A8 | <i>Melanophryniscus sanmartini</i> | 0.583333 |
| A9 | <i>Amphisbaena munoai</i> | 0.705882 |
| A9 | <i>Amphisbaena darwini</i> | 0.666667 |
| A9 | <i>Calamodontophis paucidens</i> | 0.6 |
| A9 | <i>Phyllomedusa iheringii</i> | 1 |
| A9 | <i>Rhinella achavali</i> | 0.676471 |
| A9 | <i>Rhinella dorbignyi</i> | 0.314286 |
| A9 | <i>Melanophryniscus pachyrhynus</i> | 0.730769 |
| A10 | <i>Micrurus altirostris</i> | 0.89 |
| A10 | <i>Ophiodes aff striatus</i> | 0.73913 |
| A10 | <i>Phalotris lemniscatus</i> | 0.76 |

| | | |
|-----|-----------------------------------|----------|
| A10 | <i>Scinax granulatus</i> | 0.770833 |
| A11 | <i>Leptodactylus latinasus</i> | 0.927273 |
| A11 | <i>Rhinella fernandezae</i> | 0.807018 |
| A11 | <i>Scinax nasicus</i> | 0.776923 |
| A12 | <i>Micrurus altirostris</i> | 0.89 |
| A12 | <i>Ophiodes aff striatus</i> | 0.73913 |
| A12 | <i>Phalotris lemniscatus</i> | 0.76 |
| A12 | <i>Scinax granulatus</i> | 0.770833 |
| A13 | <i>Liolaemus occipitalis</i> | 0.6 |
| A13 | <i>Physalaemus lisei</i> | 0.5 |
| A13 | <i>Rhinella henseli</i> | 0.421053 |
| A13 | <i>Sibynomorphus aff neuwiedi</i> | 0.772727 |
| A13 | <i>Melanophryniscus dorsalis</i> | 0.818182 |
| A14 | <i>Aplastodiscus perviridis</i> | 0.766667 |
| A14 | <i>Echinanthera cyanopleura</i> | 0.84375 |
| A14 | <i>Ptychophis flavovirgatus</i> | 0.766667 |
| A15 | <i>Amphisbaena darwini</i> | 0.678571 |
| A15 | <i>Anisolepis undulatus</i> | 0.714286 |
| A15 | <i>Argenteohyla siemersi</i> | 0.607143 |
| A15 | <i>Ceratophrys ornata</i> | 0.708333 |
| A16 | <i>Leptodactylus latinasus</i> | 0.927273 |
| A16 | <i>Rhinella fernandezae</i> | 0.807018 |
| A16 | <i>Scinax nasicus</i> | 0.776923 |
| A17 | <i>Limnomedusa macroglossa</i> | 0.742857 |

| | | |
|-----|-------------------------------------|----------|
| A17 | <i>Phyllomedusa iheringii</i> | 0.724138 |
| A17 | <i>Physalaemus henselii</i> | 0.757576 |
| A17 | <i>Rhinella dorbignyi</i> | 0.844828 |
| A17 | <i>Taeniophallus poecilopogon</i> | 0.709677 |
| A17 | <i>Tomodon ocellatus</i> | 0.551282 |
| A17 | <i>Trachemys dorbigni</i> | 0.675676 |
| A17 | <i>Melanophryniscus atroluteus</i> | 0.614286 |
| A18 | <i>Calamodontophis paucidens</i> | 0.363636 |
| A18 | <i>Melanophryniscus sanmartini</i> | 1 |
| A19 | <i>Limnomedusa macroglossa</i> | 1 |
| A19 | <i>Taeniophallus poecilopogon</i> | 0.558824 |
| A19 | <i>Melanophryniscus atroluteus</i> | 0.573529 |
| A20 | <i>Apostolepis quirogai</i> | 0.8 |
| A20 | <i>Homonota uruguayensis</i> | 0.318182 |
| A20 | <i>Melanophryniscus devincenzii</i> | 0.3 |
| A21 | <i>Amphisbaena munoai</i> | 0.8125 |
| A21 | <i>Amphisbaena darwini</i> | 0.65625 |
| A21 | <i>Calamodontophis paucidens</i> | 0.714286 |
| A21 | <i>Phyllomedusa iheringii</i> | 0.964286 |
| A21 | <i>Rhinella achavali</i> | 0.666667 |
| A21 | <i>Rhinella dorbignyi</i> | 0.352941 |
| A21 | <i>Melanophryniscus pachyrhynus</i> | 0.714286 |
| A22 | <i>Amphisbaena munoai</i> | 0.617647 |
| A22 | <i>Amphisbaena darwini</i> | 0.692308 |

| | | |
|-----|---------------------------------------|----------|
| A22 | <i>Anisolepis undulatus</i> | 0.5 |
| A22 | <i>Calamodontophis paucidens</i> | 0.615385 |
| A22 | <i>Phyllomedusa iheringii</i> | 0.733333 |
| A22 | <i>Melanophryniscus pachyrhynus</i> | 0.615385 |
| A22 | <i>Melanophryniscus sanmartini</i> | 0.727273 |
| A23 | <i>Physalaemus lisei</i> | 0.8 |
| A23 | <i>Rhinella henseli</i> | 0.607143 |
| A23 | <i>Sibynomorphus aff neuwiedi</i> | 0.8 |
| B0 | <i>Liolaemus arambarensis</i> | 0.448276 |
| B0 | <i>Ophiodes enso</i> | 0.861111 |
| B1 | <i>Liolaemus arambarensis</i> | 0.697368 |
| B1 | <i>Liolaemus occipitalis</i> | 0.539063 |
| B1 | <i>Sibynomorphus aff neuwiedi</i> | 0.7875 |
| B1 | <i>Melanophryniscus dorsalis</i> | 0.717391 |
| B1 | <i>Melanophryniscus pachyrhynus</i> | 0.470588 |
| B2 | <i>Contomastix charrua</i> | 0.892857 |
| B2 | <i>Melanophryniscus montevidensis</i> | 0.364865 |
| B3 | <i>Amphisbaena munoi</i> | 0.582192 |
| B3 | <i>Anisolepis undulatus</i> | 0.518987 |
| B3 | <i>Calamodontophis paucidens</i> | 0.913043 |
| B3 | <i>Phyllomedusa iheringii</i> | 0.676923 |
| B3 | <i>Melanophryniscus sanmartini</i> | 0.802083 |
| B4 | <i>Calamodontophis paucidens</i> | 0.333333 |
| B4 | <i>Liolaemus arambarensis</i> | 0.75 |

| | | |
|----|-------------------------------------|----------|
| B4 | <i>Ophiodes enso</i> | 0.716667 |
| B4 | <i>Sibynomorphus aff neuwiedi</i> | 0.641026 |
| B4 | <i>Melanophryniscus dorsalis</i> | 0.433333 |
| B4 | <i>Melanophryniscus pachyrhynus</i> | 0.466667 |
| B5 | <i>Amphisbaena munoai</i> | 0.551282 |
| B5 | <i>Amphisbaena darwini</i> | 0.554054 |
| B5 | <i>Anisolepis undulatus</i> | 0.434783 |
| B5 | <i>Calamodontophis paucidens</i> | 0.736364 |
| B5 | <i>Phyllomedusa iheringii</i> | 0.689394 |
| B5 | <i>Melanophryniscus pachyrhynus</i> | 0.895833 |
| B6 | <i>Liolaemus arambarensis</i> | 0.916667 |
| B6 | <i>Ophiodes enso</i> | 0.565217 |
| B6 | <i>Sibynomorphus aff neuwiedi</i> | 0.583333 |
| B6 | <i>Melanophryniscus dorsalis</i> | 0.330189 |
| B7 | <i>Amphisbaena munoai</i> | 0.606667 |
| B7 | <i>Amphisbaena darwini</i> | 0.664179 |
| B7 | <i>Anisolepis undulatus</i> | 0.54321 |
| B7 | <i>Calamodontophis paucidens</i> | 0.826923 |
| B7 | <i>Phyllomedusa iheringii</i> | 0.683824 |
| B7 | <i>Melanophryniscus pachyrhynus</i> | 0.75 |
| B7 | <i>Melanophryniscus sanmartini</i> | 0.778846 |
| B8 | <i>Chthonerpeton indistinctum</i> | 0.625806 |
| B8 | <i>Limnomedusa macroglossa</i> | 0.773438 |
| B8 | <i>Ophiodes aff striatus</i> | 0.726619 |

| | | |
|----|-------------------------------------|----------|
| B8 | <i>Physalaemus henselii</i> | 0.857143 |
| B8 | <i>Rhinella dorbignyi</i> | 0.810345 |
| B8 | <i>Scinax granulatus</i> | 0.633758 |
| B8 | <i>Taeniophallus poecilopogon</i> | 0.833333 |
| B8 | <i>Melanophryniscus atroluteus</i> | 0.827434 |
| C0 | <i>Calamodontophis paucidens</i> | 1 |
| C0 | <i>Phyllomedusa iheringii</i> | 0.523256 |
| C0 | <i>Melanophryniscus pachyrhynus</i> | 0.636364 |
| C0 | <i>Melanophryniscus sanmartini</i> | 0.777778 |
| C1 | <i>Amphisbaena munoai</i> | 0.797619 |
| C1 | <i>Amphisbaena darwini</i> | 0.7625 |
| C1 | <i>Anisolepis undulatus</i> | 0.715909 |
| C1 | <i>Calamodontophis paucidens</i> | 0.819444 |
| C1 | <i>Phyllomedusa iheringii</i> | 0.881579 |
| C1 | <i>Rhinella dorbignyi</i> | 0.580645 |
| C1 | <i>Melanophryniscus pachyrhynus</i> | 0.833333 |
| C2 | <i>Liolaemus occipitalis</i> | 0.6625 |
| C2 | <i>Physalaemus lisei</i> | 0.680556 |
| C2 | <i>Rhinella henseli</i> | 0.65 |
| C2 | <i>Sibynomorphus aff neuwiedi</i> | 0.8 |
| C2 | <i>Melanophryniscus dorsalis</i> | 0.883333 |
| C3 | <i>Amphisbaena darwini</i> | 1 |
| C3 | <i>Anisolepis undulatus</i> | 0.666667 |
| C3 | <i>Ceratophrys ornata</i> | 0.787879 |

| | | |
|----|-------------------------------------|----------|
| C3 | <i>Phyllomedusa iheringii</i> | 0.521277 |
| C4 | <i>Liolaemus arambarensis</i> | 0.342105 |
| C4 | <i>Ophiodes enso</i> | 1 |
| C5 | <i>Liolaemus arambarensis</i> | 0.714286 |
| C5 | <i>Liolaemus occipitalis</i> | 0.47561 |
| C5 | <i>Physalaemus lisei</i> | 0.560606 |
| C5 | <i>Sibynomorphus aff neuwiedi</i> | 0.928571 |
| C5 | <i>Melanophryniscus dorsalis</i> | 0.689655 |
| C6 | <i>Amphisbaena darwini</i> | 0.808824 |
| C6 | <i>Anisolepis undulatus</i> | 0.7 |
| C6 | <i>Calamodontophis paucidens</i> | 0.883333 |
| C6 | <i>Ceratophrys ornata</i> | 0.710526 |
| C6 | <i>Phyllomedusa iheringii</i> | 0.7125 |
| C6 | <i>Melanophryniscus pachyrhynus</i> | 0.708333 |
| C6 | <i>Melanophryniscus sanmartini</i> | 0.85 |
| C7 | <i>Limnomedusa macroglossa</i> | 0.788732 |
| C7 | <i>Physalaemus henselii</i> | 0.846154 |
| C7 | <i>Rhinella dorbignyi</i> | 0.798507 |
| C7 | <i>Taeniophallus poecilopogon</i> | 0.942623 |
| C7 | <i>Tomodon ocellatus</i> | 0.873016 |
| C7 | <i>Trachemys dorbigni</i> | 0.873134 |
| C7 | <i>Melanophryniscus atroluteus</i> | 0.865079 |
| C8 | <i>Liolaemus arambarensis</i> | 1 |
| C8 | <i>Ophiodes enso</i> | 0.342105 |

| | | |
|-----|-------------------------------------|----------|
| C8 | <i>Sibynomorphus aff neuwiedi</i> | 0.333333 |
| C9 | <i>Amphisbaena munoai</i> | 0.775 |
| C9 | <i>Amphisbaena darwini</i> | 0.642857 |
| C9 | <i>Calamodontophis paucidens</i> | 0.794118 |
| C9 | <i>Phyllomedusa iheringii</i> | 1 |
| C9 | <i>Rhinella dorbignyi</i> | 0.484848 |
| C9 | <i>Melanophryniscus pachyrhynus</i> | 0.808824 |
| C10 | <i>Physalaemus henselii</i> | 0.85 |
| C10 | <i>Rhinella dorbignyi</i> | 0.833333 |
| C10 | <i>Taeniophallus poecilopogon</i> | 1 |
| C10 | <i>Tomodon ocellatus</i> | 0.773438 |
| C10 | <i>Trachemys dorbigni</i> | 0.722222 |
| C10 | <i>Melanophryniscus atroluteus</i> | 0.765625 |
| C11 | <i>Homonota uruguayensis</i> | 0.36 |
| C11 | <i>Liolaemus gardeli</i> | 0.5 |
| C11 | <i>Melanophryniscus langonei</i> | 1 |
| D0 | <i>Aplastodiscus perviridis</i> | 0.712766 |
| D0 | <i>Echinanthera cyanopleura</i> | 0.892157 |
| D1 | <i>Aplastodiscus perviridis</i> | 0.717391 |
| D1 | <i>Echinanthera cyanopleura</i> | 0.9 |
| D2 | <i>Sibynomorphus aff neuwiedi</i> | 0.411765 |
| D2 | <i>Melanophryniscus dorsalis</i> | 1 |
| D3 | <i>Physalaemus lisei</i> | 0.5625 |
| D3 | <i>Sibynomorphus aff neuwiedi</i> | 0.875 |

| | | |
|----|---------------------------------------|----------|
| D3 | <i>Melanophryniscus dorsalis</i> | 0.714286 |
| D4 | <i>Physalaemus lisei</i> | 0.466667 |
| D4 | <i>Sibynomorphus aff neuwiedi</i> | 1 |
| D4 | <i>Melanophryniscus dorsalis</i> | 0.411765 |
| E0 | <i>Contomastix charrua</i> | 0.714286 |
| E0 | <i>Melanophryniscus montevidensis</i> | 0.519231 |
| E1 | <i>Phyllomedusa iheringii</i> | 0.820313 |
| E1 | <i>Physalaemus henselii</i> | 0.686111 |
| E1 | <i>Rhinella dorbignyi</i> | 0.722892 |
| E2 | <i>Amphisbaena munoi</i> | 0.583333 |
| E2 | <i>Calamodontophis paucidens</i> | 0.791667 |
| E2 | <i>Phyllomedusa iheringii</i> | 0.6 |
| E2 | <i>Melanophryniscus pachyrhynus</i> | 0.691358 |
| E3 | <i>Liolaemus arambarensis</i> | 0.660714 |
| E3 | <i>Ophiodes enso</i> | 0.74 |
| E4 | <i>Contomastix charrua</i> | 0.730769 |
| E4 | <i>Melanophryniscus montevidensis</i> | 0.462963 |
| E5 | <i>Amphisbaena darwini</i> | 0.876471 |
| E5 | <i>Anisolepis undulatus</i> | 0.809783 |
| E5 | <i>Ceratophrys ornata</i> | 0.724138 |
| E6 | <i>Amphisbaena munoi</i> | 0.495868 |
| E6 | <i>Calamodontophis paucidens</i> | 0.859375 |
| E6 | <i>Phyllomedusa iheringii</i> | 0.55 |
| F0 | <i>Homonota uruguayensis</i> | 0.3375 |

| | | |
|----|-----------------------------------|----------|
| F0 | <i>Liolaemus gardeli</i> | 0.821429 |
| F0 | <i>Melanophryniscus langonei</i> | 0.821429 |
| F1 | <i>Homonota uruguayensis</i> | 0.3375 |
| F1 | <i>Liolaemus gardeli</i> | 0.821429 |
| F1 | <i>Melanophryniscus langonei</i> | 0.821429 |
| F2 | <i>Homonota uruguayensis</i> | 0.3375 |
| F2 | <i>Liolaemus gardeli</i> | 0.821429 |
| F2 | <i>Melanophryniscus langonei</i> | 0.821429 |
| F3 | <i>Physalaemus lisei</i> | 0.647727 |
| F3 | <i>Sibynomorphus aff neuwiedi</i> | 0.852941 |
| F3 | <i>Melanophryniscus dorsalis</i> | 0.861111 |
| F4 | <i>Liolaemus arambarensis</i> | 0.821429 |
| F4 | <i>Ophiodes enso</i> | 0.821429 |
| F5 | <i>Homonota uruguayensis</i> | 0.3375 |
| F5 | <i>Liolaemus gardeli</i> | 0.821429 |
| F5 | <i>Melanophryniscus langonei</i> | 0.821429 |
| F6 | <i>Amphisbaena darwini</i> | 0.872727 |
| F6 | <i>Anisolepis undulatus</i> | 0.885965 |
| F6 | <i>Phyllomedusa iheringii</i> | 0.769841 |
| F7 | <i>Amphisbaena munoi</i> | 0.87069 |
| F7 | <i>Calamodontophis paucidens</i> | 0.807692 |
| F7 | <i>Phyllomedusa iheringii</i> | 0.898148 |
| F8 | <i>Tomodon ocellatus</i> | 0.908163 |
| F8 | <i>Trachemys dorbigni</i> | 0.964286 |

| | | |
|-----|-----------------------------------|----------|
| F9 | <i>Liolaemus gardeli</i> | 1 |
| F9 | <i>Melanophrynniscus langonei</i> | 0.5 |
| F10 | <i>Liolaemus arambarensis</i> | 0.342105 |
| F10 | <i>Ophiodes enso</i> | 1 |
| F11 | <i>Amphisbaena darwini</i> | 0.801887 |
| F11 | <i>Anisolepis undulatus</i> | 1 |

Table 2. Individual areas and number of species that form each consensus.

| Consensus | Individual Areas | species number |
|-----------|---------------------|----------------|
| A0 | A0, A1, A4, A17 | 8 |
| A1 | A2, A5, A6, A8, A22 | 9 |
| A2 | A3, A13, S23 | 5 |
| A3 | A7 | 3 |
| A4 | A6, A9, A21, A22 | 9 |
| A5 | A10, A12 | 4 |
| A6 | A11, A16 | 3 |
| A7 | A14 | 3 |
| A8 | A15 | 4 |
| A9 | A18 | 2 |
| A10 | A19 | 3 |
| A11 | A20 | 3 |
| B0 | B0, B6 | 4 |

| | | |
|----|--------------------|---|
| B1 | B1, B4, B6 | 7 |
| B2 | B2 | 2 |
| B3 | B3, B5, B7 | 7 |
| B4 | B8 | 8 |
| C0 | C0, C6 | 7 |
| C1 | C1, C6 | 9 |
| C2 | C2, C5 | 6 |
| C3 | C3, C6 | 7 |
| C4 | C4, C8 | 3 |
| C5 | C7, C10 | 7 |
| C6 | C1, C9 | 7 |
| C7 | C11 | 3 |
| D0 | D0, D1 | 2 |
| D1 | D2, D3, D4 | 3 |
| E0 | E0, E4 | 2 |
| E1 | E1 | 3 |
| E2 | E2, E6 | 4 |
| E3 | E3 | 2 |
| E4 | E5 | 3 |
| F0 | F0, F1, F2, F5, F9 | 3 |
| F1 | F3 | 3 |
| F2 | F4, F10 | 2 |
| F3 | F6, F11 | 3 |
| F4 | F7 | 3 |

F5

F8

2

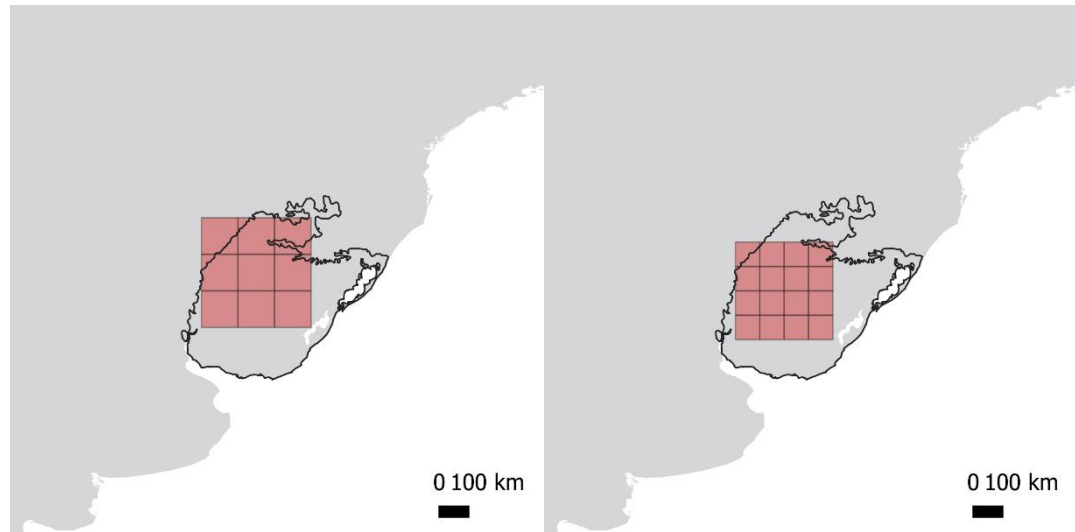
Appendix IV

Consensus areas that compose each chorotype presented according to agglomerative cluster groups based in β sim index.

Chorotype 1

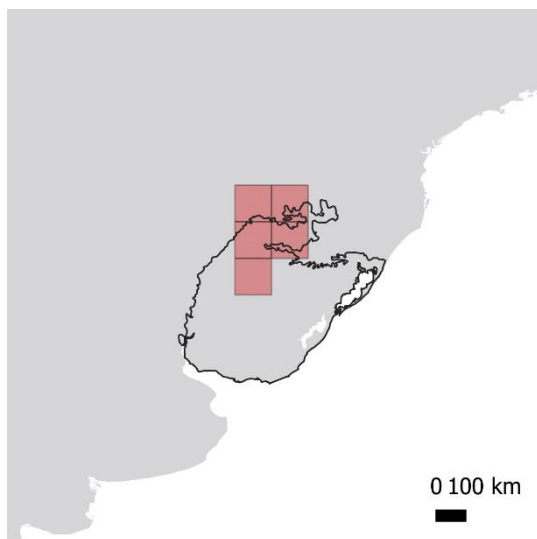
C7

F0



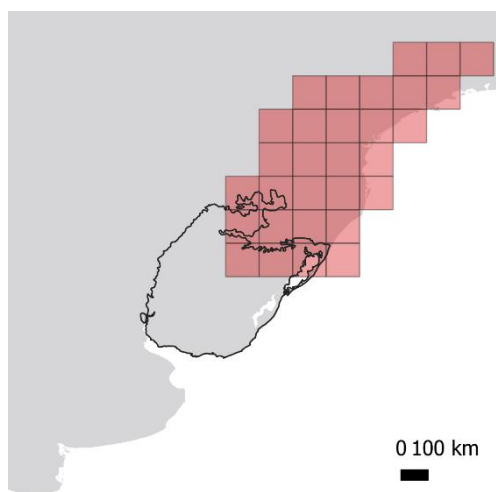
Chorotype 2

A11

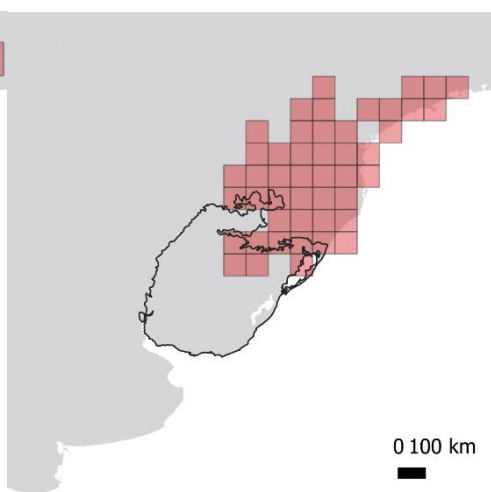


Chorotype 3

A7

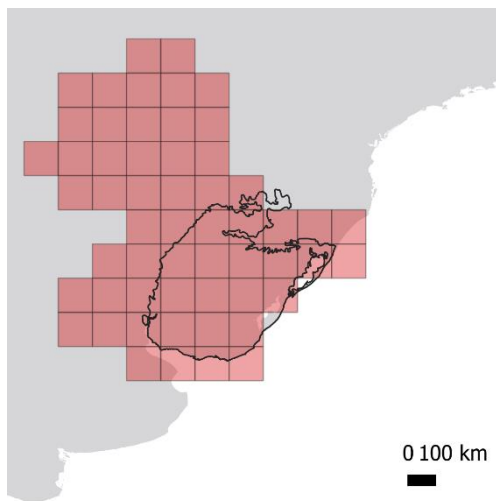


D0



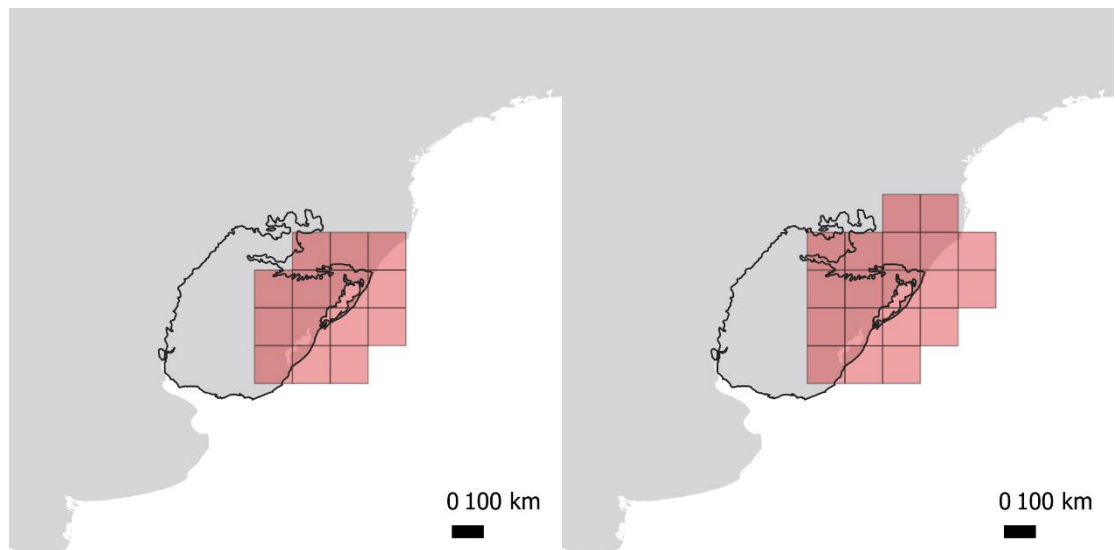
Chorotype 4

A6

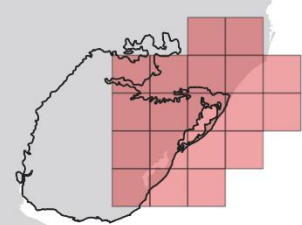


Chorotype 5

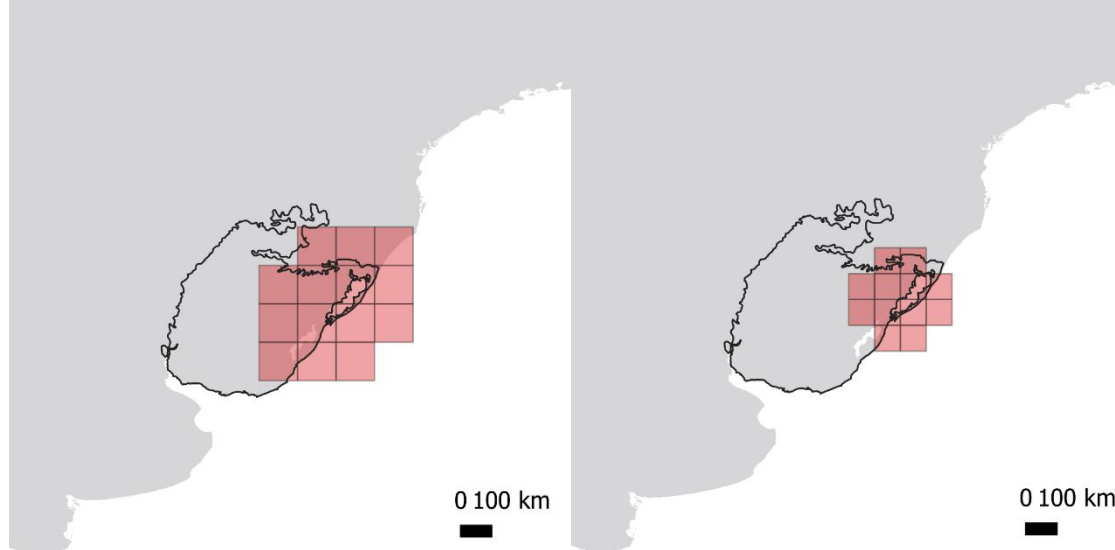
B0



B1



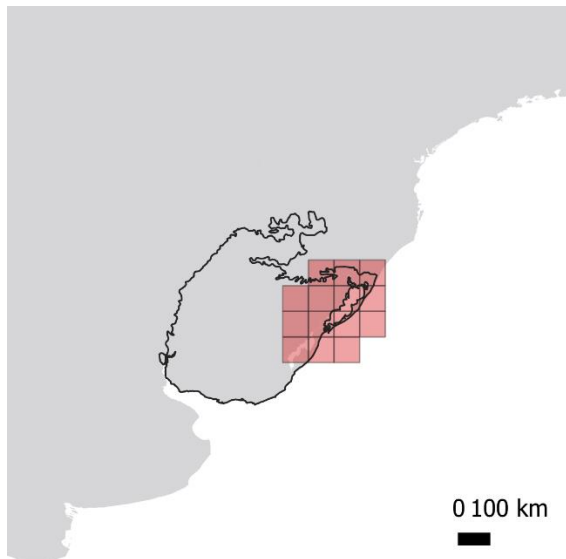
C4



E3

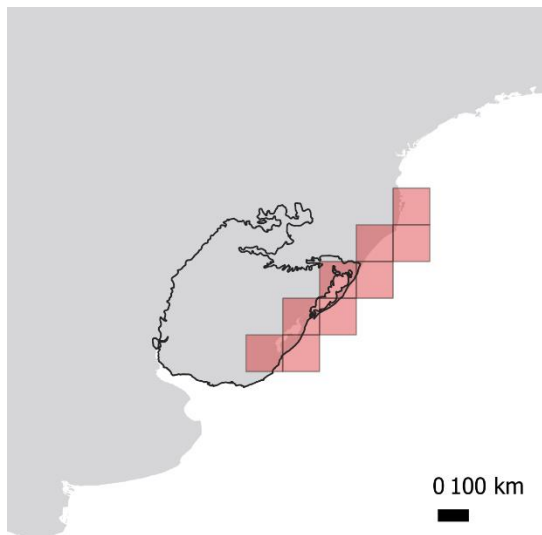


F2



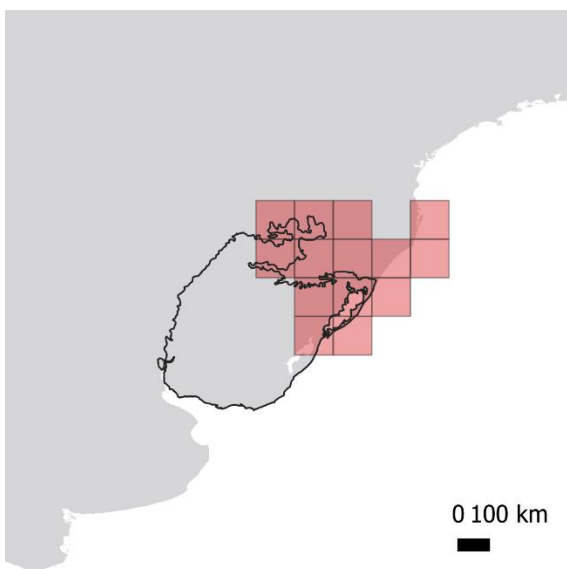
Chorotype 6

A3

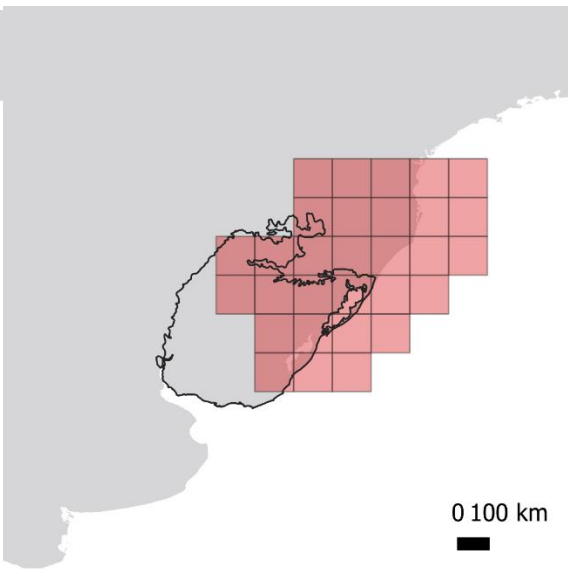


Chorotype 7

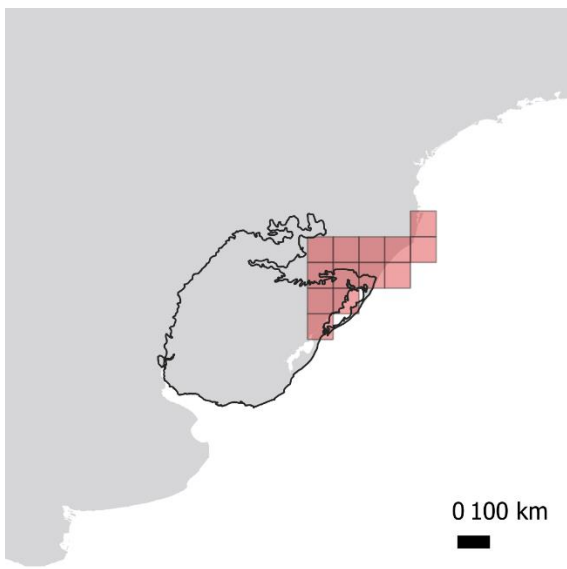
A2



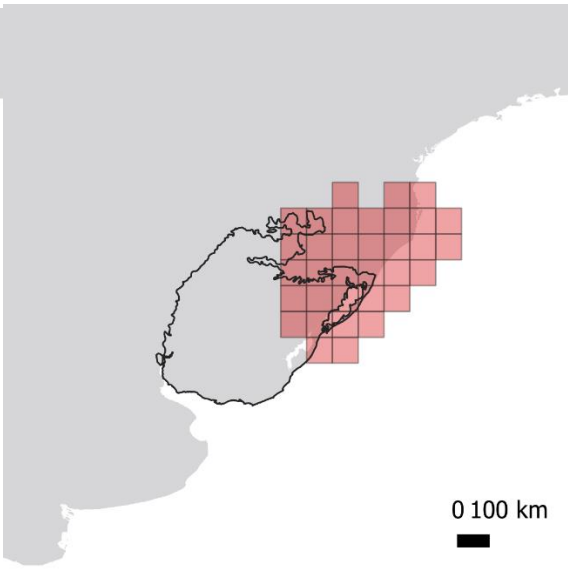
C2



D1



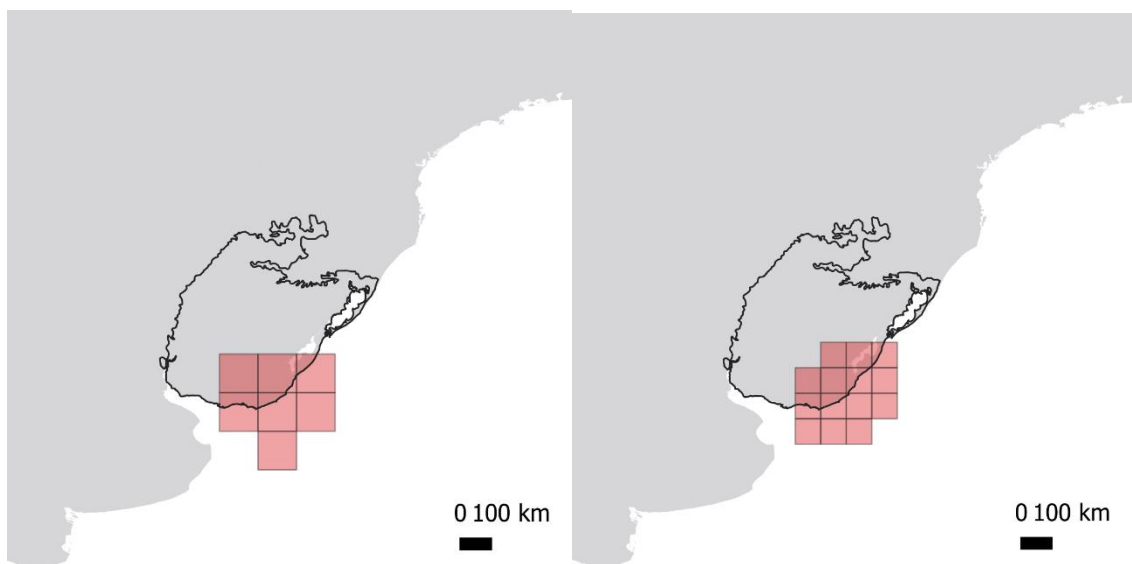
F1



Chorotype 8

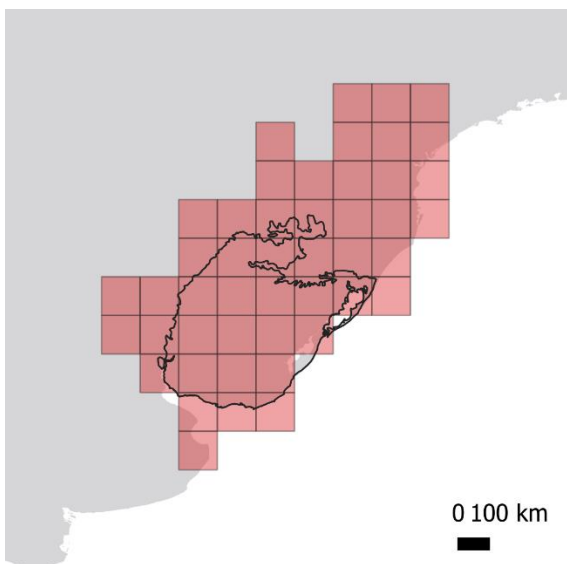
B2

E0



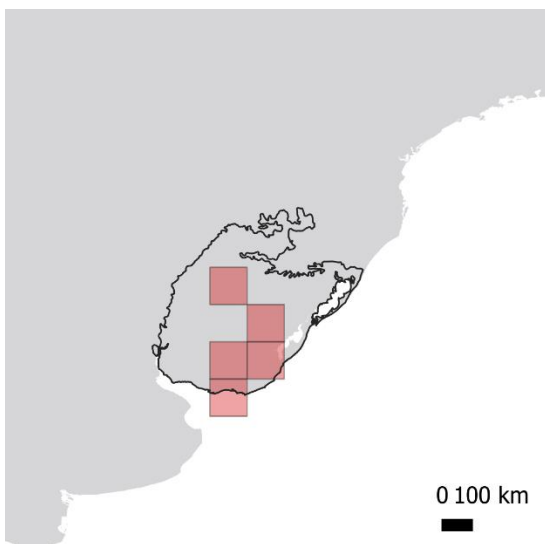
Chorotype 9

A5



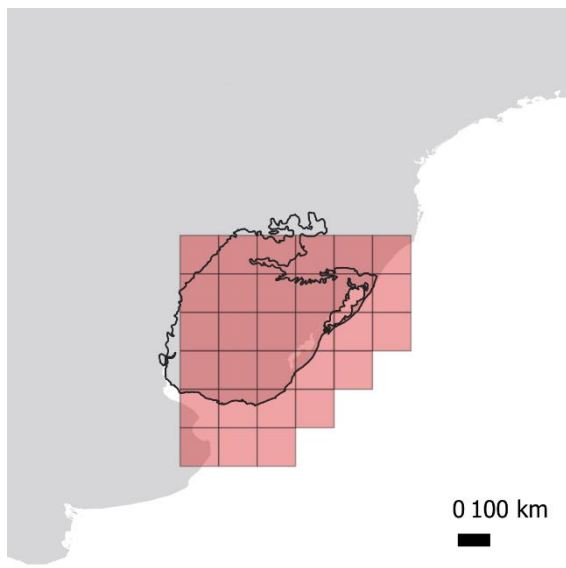
Chorotype 10

A9

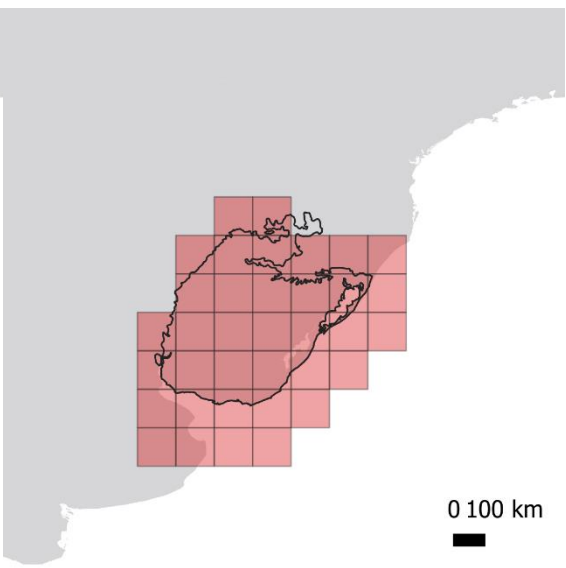


Chorotype 11

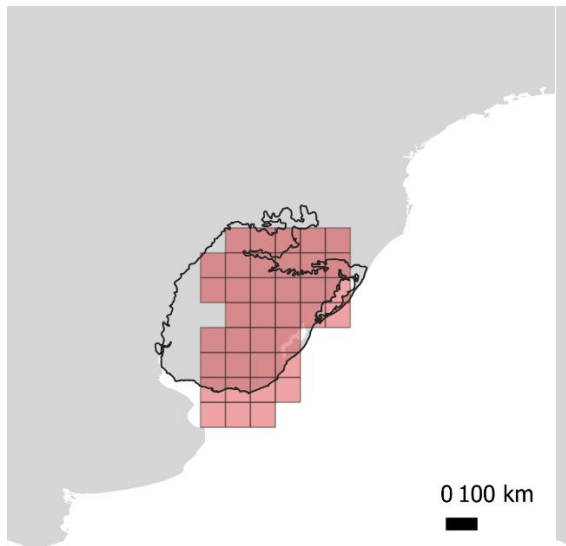
B3



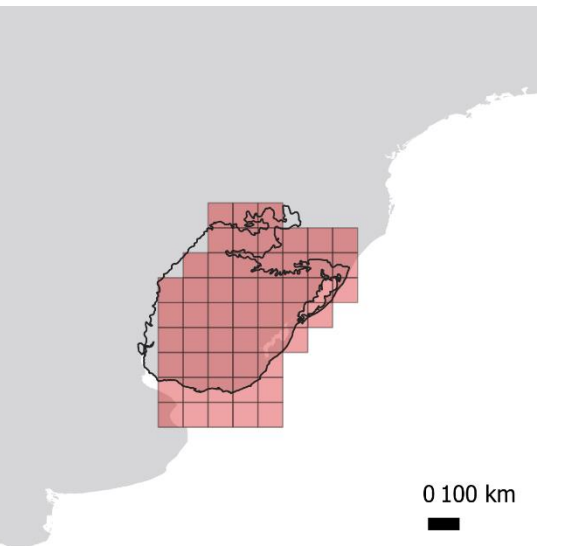
C1



E2

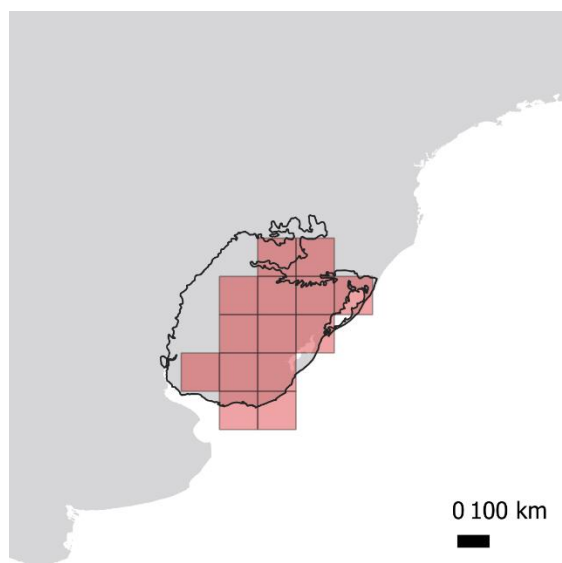


F4

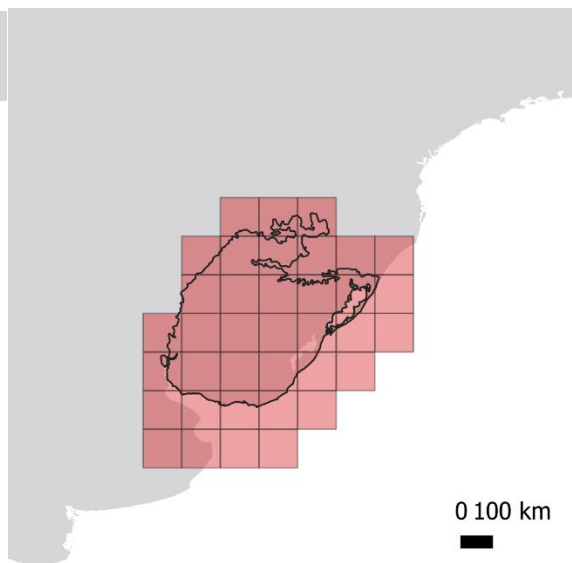


Chorotype 12

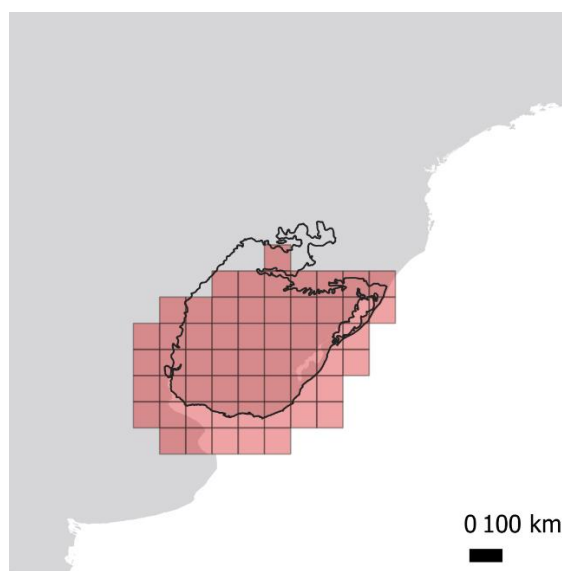
A4



C6

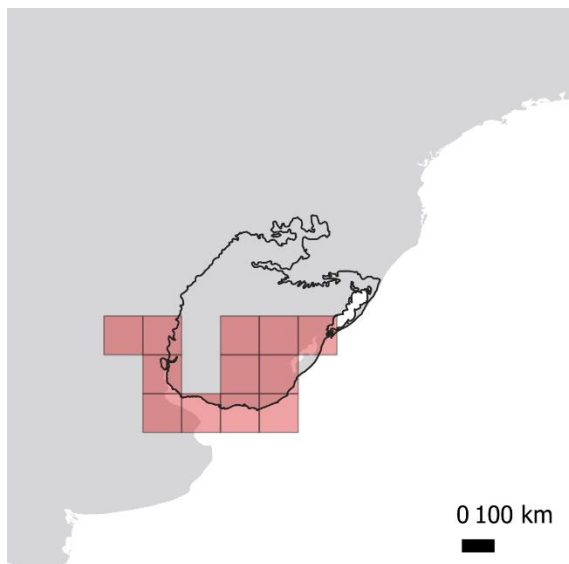


F3



Chorotype 13

A8



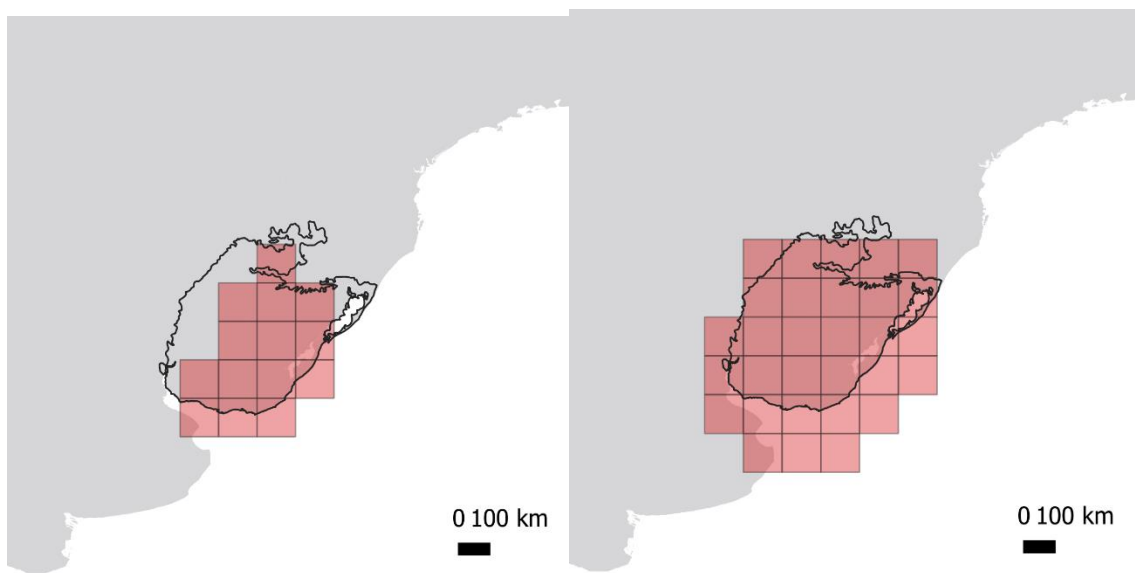
0 100 km



Chorotype 14

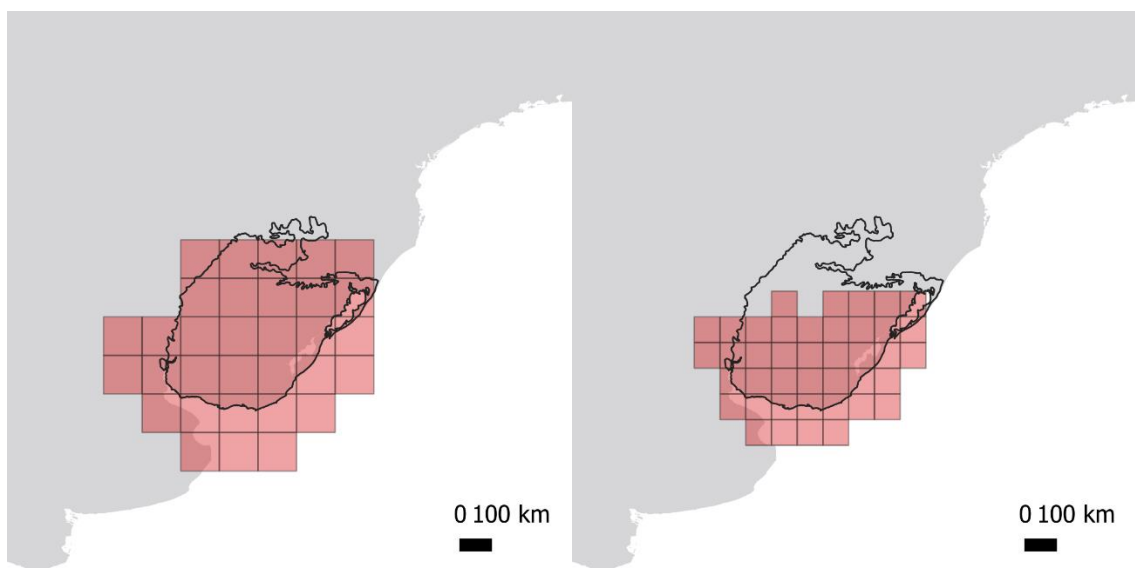
A1

C0



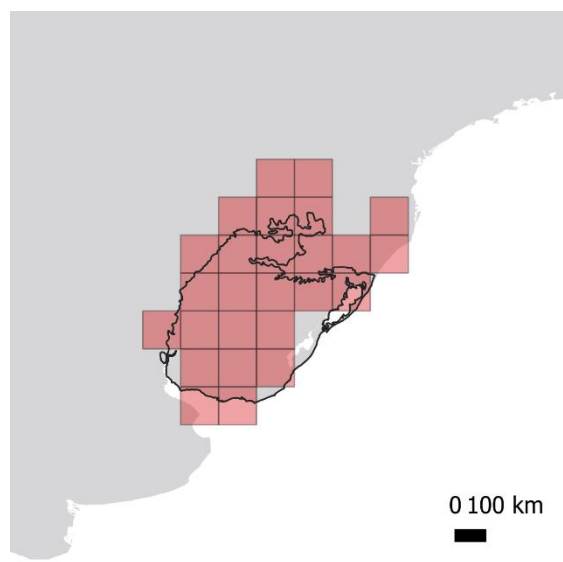
C3

E4

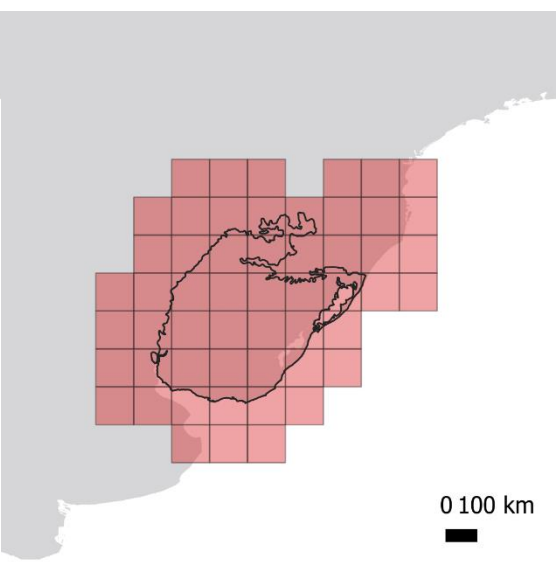


Chorotype 15

A10

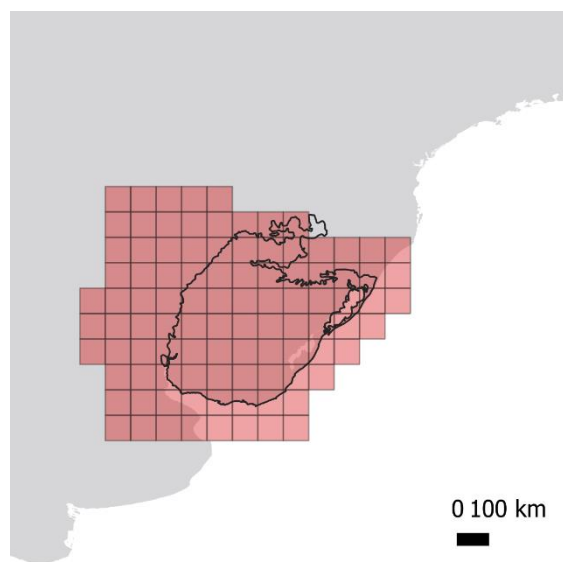


B4

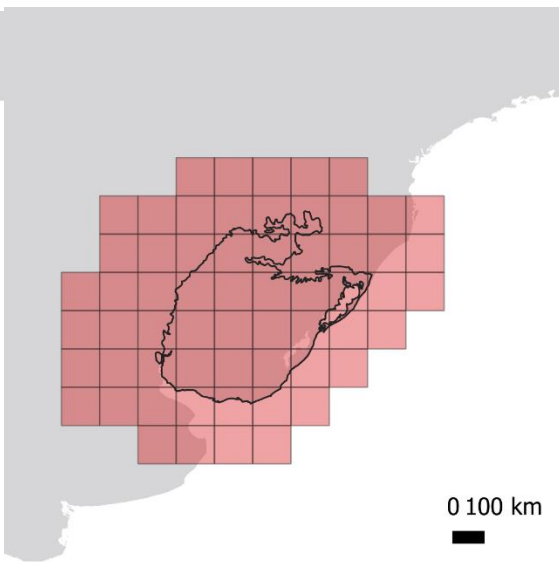


Chorotype 16

F5



C5



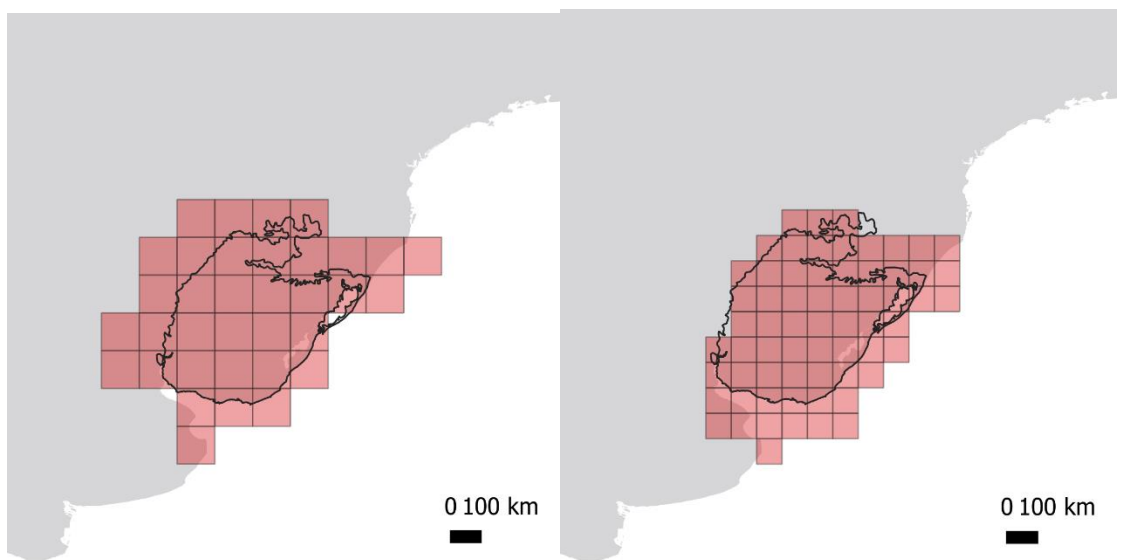
Chorotype 17

A0



E1





Material Suplementar II

Apêndice I

Tabela 1.: Comparação de sobreposição (D) par a par das 43 espécies que foram incluídas em algum dos corótipos (valores em laranja indicam valores de D significativos).

Material Suplementar III

Apêndice I

Tabela 1. Lista de espécies de anfíbios e répteis com ocorrência no Bioma Pampa.

| Grupo | Família | Espécie |
|------------|-----------------|---------------------------------------|
| Anura | Alsodidae | <i>Limnophryne macroglossa</i> |
| Squamata | Amphisbaenidae | <i>Amphisbaena munoi</i> |
| Squamata | Amphisbaenidae | <i>Amphisbaena trachura</i> |
| Squamata | Amphisbaenidae | <i>Amphisbaena darwini</i> |
| Squamata | Amphisbaenidae | <i>Amphisbaena prunicolor</i> |
| Squamata | Amphisbaenidae | <i>Amphisbaena kingii</i> |
| Squamata | Anguidae | <i>Ophiodes aff. striatus</i> |
| Squamata | Anguidae | <i>Ophiodes enso</i> |
| Squamata | Anguidae | <i>Ophiodes fragilis</i> |
| Squamata | Anomalepididae | <i>Liotyphlops ternetzi</i> |
| Squamata | Boidae | <i>Eunectes notaeus</i> |
| Anura | Bufonidae | <i>Melanophryniscus atroluteus</i> |
| Anura | Bufonidae | <i>Melanophryniscus devincenzi</i> |
| Anura | Bufonidae | <i>Melanophryniscus dorsalis</i> |
| Anura | Bufonidae | <i>Melanophryniscus montevidensis</i> |
| Anura | Bufonidae | <i>Melanophryniscus pachyrhynus</i> |
| Anura | Bufonidae | <i>Melanophryniscus sanmartini</i> |
| Anura | Bufonidae | <i>Rhinella abei</i> |
| Anura | Bufonidae | <i>Rhinella achavali</i> |
| Anura | Bufonidae | <i>Rhinella arenarum</i> |
| Anura | Bufonidae | <i>Rhinella azarai</i> |
| Anura | Bufonidae | <i>Rhinella dorbignyi</i> |
| Anura | Bufonidae | <i>Rhinella fernandezae</i> |
| Anura | Bufonidae | <i>Rhinella henseli</i> |
| Anura | Bufonidae | <i>Rhinella icterica</i> |
| Anura | Bufonidae | <i>Rhinella schneideri</i> |
| Anura | Ceratophrydidae | <i>Ceratophrys ornata</i> |
| Testudines | Chelidae | <i>Acanthochelys spixii</i> |
| Testudines | Chelidae | <i>Hydromedusa testifera</i> |
| Testudines | Chelidae | <i>Phrynos hilarii</i> |
| Testudines | Chelidae | <i>Phrynos williamsi</i> |
| Squamata | Colubridae | <i>Chironius bicarinatus</i> |
| Squamata | Colubridae | <i>Chironius brasili</i> |
| Squamata | Colubridae | <i>Mastigodryas bifossatus</i> |
| Squamata | Colubridae | <i>Spilotes pullatus</i> |
| Squamata | Dipsadidae | <i>Apostolepis quirogai</i> |
| Squamata | Dipsadidae | <i>Atractus paraguayensis</i> |
| Squamata | Dipsadidae | <i>Atractus reticulatus</i> |
| Squamata | Dipsadidae | <i>Boiruna maculata</i> |
| Squamata | Dipsadidae | <i>Calamodontophis paucidens</i> |
| Squamata | Dipsadidae | <i>Ditaxodon taeniatus</i> |
| Squamata | Dipsadidae | <i>Echinanthera cyanopleura</i> |
| Squamata | Dipsadidae | <i>Erythrolamprus almadensis</i> |
| Squamata | Dipsadidae | <i>Erythrolamprus jaegeri</i> |
| Squamata | Dipsadidae | <i>Erythrolamprus miliaris</i> |
| Squamata | Dipsadidae | <i>Erythrolamprus poecilogyrus</i> |
| Squamata | Dipsadidae | <i>Gomesophis brasiliensis</i> |
| Squamata | Dipsadidae | <i>Helicops infrataeniatus</i> |
| Squamata | Dipsadidae | <i>Hydrodynastes gigas</i> |

| | | |
|------------|------------------|--------------------------------------|
| Squamata | Dipsadidae | <i>Lygophis anomalus</i> |
| Squamata | Dipsadidae | <i>Lygophis flavifrenatus</i> |
| Squamata | Dipsadidae | <i>Oxyrhopus rhombifer</i> |
| Squamata | Dipsadidae | <i>Paraphimophis rusticus</i> |
| Squamata | Dipsadidae | <i>Phalotris lemniscatus</i> |
| Squamata | Dipsadidae | <i>Philodryas aestiva</i> |
| Squamata | Dipsadidae | <i>Philodryas agassizii</i> |
| Squamata | Dipsadidae | <i>Philodryas olfersii</i> |
| Squamata | Dipsadidae | <i>Philodryas patagoniensis</i> |
| Squamata | Dipsadidae | <i>Phimophis aff. guerini</i> |
| Squamata | Dipsadidae | <i>Psomophis obtusus</i> |
| Squamata | Dipsadidae | <i>Ptychophis flavovirgatus</i> |
| Squamata | Dipsadidae | <i>Sibynomorphus aff. neuwiedi</i> |
| Squamata | Dipsadidae | <i>Sibynomorphus ventrimaculatus</i> |
| Squamata | Dipsadidae | <i>Taeniophallus occipitalis</i> |
| Squamata | Dipsadidae | <i>Taeniophallus poecilopogon</i> |
| Squamata | Dipsadidae | <i>Thamnodynastes hypoconia</i> |
| Squamata | Dipsadidae | <i>Thamnodynastes strigatus</i> |
| Squamata | Dipsadidae | <i>Tomodon dorsatus</i> |
| Squamata | Dipsadidae | <i>Tomodon ocellatus</i> |
| Squamata | Dipsadidae | <i>Xenodon dorbignyi</i> |
| Squamata | Dipsadidae | <i>Xenodon histricus</i> |
| Squamata | Dipsadidae | <i>Xenodon merremii</i> |
| Squamata | Dipsadidae | <i>Xenodon neuwiedii</i> |
| Squamata | Elapidae | <i>Micrurus altirostris</i> |
| Squamata | Elapidae | <i>Micrurus silviae</i> |
| Testudines | Emydidae | <i>Trachemys dorbignyi</i> |
| Squamata | Gymnophthalmidae | <i>Cercosaura olivacea</i> |
| Squamata | Gymnophthalmidae | <i>Cercosaura schreibersii</i> |
| Squamata | Colubridae | <i>Chironius maculoventris</i> |
| Anura | Hylidae | <i>Aplastodiscus pervillei</i> |
| Anura | Hylidae | <i>Boana albopunctata</i> |
| Anura | Hylidae | <i>Boana caingua</i> |
| Anura | Hylidae | <i>Boana faber</i> |
| Anura | Hylidae | <i>Boana pulchella</i> |
| Anura | Hylidae | <i>Dendropsophus minutus</i> |
| Anura | Hylidae | <i>Dendropsophus nanus</i> |
| Anura | Hylidae | <i>Dendropsophus sanborni</i> |
| Anura | Hylidae | <i>Julianus uruguayus</i> |
| Anura | Hylidae | <i>Oolygon aromothyella</i> |
| Anura | Hylidae | <i>Oolygon berthae</i> |
| Anura | Hylidae | <i>Pseudis minuta</i> |
| Anura | Hylidae | <i>Scinax fuscovarius</i> |
| Anura | Hylidae | <i>Scinax granulatus</i> |
| Squamata | Colubridae | <i>Leptophis ahaetulla</i> |
| Anura | Hylidae | <i>Scinax nasicus</i> |
| Anura | Hylidae | <i>Scinax squalirostris</i> |
| Anura | Hylidae | <i>Scinax tymbamirim</i> |
| Anura | Hylidae | <i>Trachycephalus mesophaeus</i> |
| Squamata | Leiosauridae | <i>Anisolepis undulatus</i> |
| Anura | Leptodactylidae | <i>Leptodactylus chaquensis</i> |
| Anura | Leptodactylidae | <i>Leptodactylus furnarius</i> |
| Anura | Leptodactylidae | <i>Leptodactylus fuscus</i> |
| Anura | Leptodactylidae | <i>Leptodactylus gracilis</i> |
| Anura | Leptodactylidae | <i>Leptodactylus latinasus</i> |

| | | |
|-------------|------------------|-------------------------------------|
| Anura | Leptodactylidae | <i>Leptodactylus latrans</i> |
| Anura | Leptodactylidae | <i>Leptodactylus mystacinus</i> |
| Anura | Leptodactylidae | <i>Leptodactylus podicipinus</i> |
| Anura | Leptodactylidae | <i>Physalaemus biligonigerus</i> |
| Anura | Leptodactylidae | <i>Physalaemus cuvieri</i> |
| Anura | Leptodactylidae | <i>Physalaemus gracilis</i> |
| Anura | Leptodactylidae | <i>Physalaemus henselii</i> |
| Anura | Leptodactylidae | <i>Physalaemus lisei</i> |
| Anura | Leptodactylidae | <i>Physalaemus riograndensis</i> |
| Anura | Leptodactylidae | <i>Pleurodema bibroni</i> |
| Anura | Leptodactylidae | <i>Pseudopaludicola falcipes</i> |
| Squamata | Leptotyphlopidae | <i>Epictia munoai</i> |
| Squamata | Liolaemidae | <i>Liolaemus arambarensis</i> |
| Squamata | Dipsadidae | <i>Sibynomorphus turgidus</i> |
| Squamata | Liolaemidae | <i>Liolaemus occipitalis</i> |
| Squamata | Mabuyidae | <i>Aspronema dorsivittatum</i> |
| Squamata | Mabuyidae | <i>Notomabuya frenata</i> |
| Anura | Microhylidae | <i>Elachistocleis bicolor</i> |
| Anura | Odontophrynidiae | <i>Odontophrynus americanus</i> |
| Anura | Odontophrynidiae | <i>Odontophrynus maisuma</i> |
| Squamata | Phyllodactylidae | <i>Homonota uruguayensis</i> |
| Anura | Phylomedusidae | <i>Phylomedusa iheringii</i> |
| Gymnophiona | Siphonopidae | <i>Siphonops paulensis</i> |
| Squamata | Teiidae | <i>Contomastix lacertoides</i> |
| Squamata | Teiidae | <i>Salvator merianae</i> |
| Squamata | Teiidae | <i>Teius oculatus</i> |
| Squamata | Tropiduridae | <i>Stenocercus azureus</i> |
| Squamata | Tropiduridae | <i>Tropidurus catalanensis</i> |
| Gymnophiona | Typhlonectidae | <i>Chthonerpeton indistinctum</i> |
| Squamata | Typhlopidae | <i>Amerotyphlops brongersmianus</i> |
| Squamata | Viperidae | <i>Bothrops alternatus</i> |
| Squamata | Viperidae | <i>Bothrops diporus</i> |
| Squamata | Viperidae | <i>Bothrops jararaca</i> |
| Squamata | Viperidae | <i>Bothrops pubescens</i> |
| Squamata | Viperidae | <i>Crotalus durissus</i> |

Tabela 2.: Lista das espécies analisadas pelo algoritmo Zonation. São apresentados os valores brutos e os pesos padronizados.

| Grupo | Espécie | Score inicial por grupo | ED | ED pad | Ameaça BR | Scores ameaça | % endemism | % end pad | Score final specie | score final por grupo |
|----------|-------------------------------------|-------------------------|-------------|--------|-----------|---------------|------------|-----------|--------------------|-----------------------|
| reptilia | <i>Acanthochelys spixii</i> | 0.012658228 | 45.20689918 | 1.8 | LC | 1 | 13.5 | 1.1 | 2.08 | 0.025063 |
| reptilia | <i>Amerotyphlops brongersmianus</i> | 0.012658228 | 13.67692854 | 1.2 | LC | 1 | 4.3 | 1 | 1.25 | 0.01519 |
| reptilia | <i>Amphisbaena darwini</i> | 0.012658228 | 12.56965506 | 1.2 | LC | 1 | 39.8 | 1.4 | 1.65 | 0.021266 |
| reptilia | <i>Amphisbaena munoai</i> | 0.012658228 | 11.18975334 | 1.2 | LC | 1 | 48.8 | 1.5 | 1.72 | 0.022785 |
| reptilia | <i>Amphisbaena prunicolor</i> | 0.012658228 | 13.32259246 | 1.2 | LC | 1 | 21.2 | 1.2 | 1.45 | 0.018228 |
| reptilia | <i>Amphisbaena trachura</i> | 0.012658228 | 12.34070716 | 1.2 | LC | 1 | 21.2 | 1.2 | 1.43 | 0.018228 |
| reptilia | <i>Anisolepis undulatus</i> | 0.012658228 | 11.91816142 | 1.2 | DD | 1.25 | 34 | 1.3 | 1.96 | 0.024684 |
| reptilia | <i>Anops kingii</i> | 0.012658228 | 13.36389066 | 1.2 | LC | 1 | 32.1 | 1.3 | 1.58 | 0.019747 |
| amphibia | <i>Aplastodiscus</i> | 0.017241379 | 13.3318143 | 1.2 | LC | 1 | 12.3 | 1.1 | 1.34 | 0.022759 |

| perviridis | | | | | | | | | | |
|------------|------------------------------------|-------------|-------------|-----|----|------|------|-----|------|----------|
| | | | | | | | | | | |
| reptilia | <i>Apostolepis quirogai</i> | 0.012658228 | 3.22913309 | 1 | EN | 1.5 | 25 | 1.3 | 1.86 | 0.024684 |
| reptilia | <i>Aspronema dorsivittatum</i> | 0.012658228 | 9.689469969 | 1.1 | LC | 1 | 6.8 | 1.1 | 1.2 | 0.015316 |
| reptilia | <i>Atractus paraguayensis</i> | 0.012658228 | 5.015450445 | 1 | LC | 1 | 18.3 | 1.2 | 1.22 | 0.01519 |
| reptilia | <i>Atractus reticulatus</i> | 0.012658228 | 5.261630966 | 1 | LC | 1 | 21.1 | 1.2 | 1.25 | 0.01519 |
| amphibia | <i>Boana albopunctata</i> | 0.017241379 | 13.02356979 | 1.2 | LC | 1 | 7.4 | 1.1 | 1.27 | 0.022759 |
| amphibia | <i>Boana caingua</i> | 0.017241379 | 9.829800578 | 1.1 | LC | 1 | 12.5 | 1.1 | 1.26 | 0.020862 |
| amphibia | <i>Boana faber</i> | 0.017241379 | 15.5950355 | 1.3 | LC | 1 | 8.5 | 1.1 | 1.34 | 0.024655 |
| amphibia | <i>Boana pulchella</i> | 0.017241379 | 8.116097792 | 1.1 | LC | 1 | 24.7 | 1.2 | 1.36 | 0.022759 |
| reptilia | <i>Boiruna maculata</i> | 0.012658228 | 4.766380876 | 1 | LC | 1 | 6.7 | 1.1 | 1.09 | 0.013924 |
| reptilia | <i>Bothrops alternatus</i> | 0.012658228 | 7.074754877 | 1.1 | LC | 1 | 6.2 | 1.1 | 1.13 | 0.015316 |
| reptilia | <i>Bothrops diporus</i> | 0.012658228 | 4.997857145 | 1 | LC | 1 | 5.5 | 1.1 | 1.08 | 0.013924 |
| reptilia | <i>Bothrops jararaca</i> | 0.012658228 | 5.136855679 | 1 | LC | 1 | 5.8 | 1.1 | 1.09 | 0.013924 |
| reptilia | <i>Bothrops pubescens</i> | 0.012658228 | 4.972637535 | 1 | LC | 1 | 37.1 | 1.4 | 1.41 | 0.017722 |
| reptilia | <i>Calamodontophis paucidens</i> | 0.012658228 | 6.139516169 | 1.1 | EN | 1.5 | 49.5 | 1.5 | 2.37 | 0.031329 |
| amphibia | <i>Ceratophrys ornata</i> | 0.017241379 | 13.24602286 | 1.2 | NT | 1 | 19.6 | 1.2 | 1.43 | 0.024828 |
| reptilia | <i>Cercosaura olivacea</i> | 0.012658228 | 6.801981959 | 1.1 | LC | 1 | 2.7 | 1 | 1.09 | 0.013924 |
| reptilia | <i>Cercosaura schreibersii</i> | 0.012658228 | 6.801981959 | 1.1 | LC | 1 | 8.5 | 1.1 | 1.15 | 0.015316 |
| reptilia | <i>Chironius bicarinatus</i> | 0.012658228 | 5.113901575 | 1 | LC | 1 | 11 | 1.1 | 1.14 | 0.013924 |
| reptilia | <i>Chironius brasili</i> | 0.012658228 | 4.870081151 | 1 | LC | 1 | 4.4 | 1 | 1.07 | 0.012658 |
| amphibia | <i>Chthonerpeton indistinctum</i> | 0.017241379 | 34.39541481 | 1.6 | LC | 1 | 19.6 | 1.2 | 1.94 | 0.033103 |
| reptilia | <i>Contomastix lacertoides</i> | 0.012658228 | 13.30798592 | 1.2 | LC | 1 | 32.5 | 1.3 | 1.59 | 0.019747 |
| reptilia | <i>Crotalus durissus</i> | 0.012658228 | 6.651849441 | 1.1 | LC | 1 | 3.5 | 1 | 1.1 | 0.013924 |
| amphibia | <i>Dendropsophus minutus</i> | 0.017241379 | 22.05131798 | 1.4 | LC | 1 | 17.2 | 1.2 | 1.61 | 0.028966 |
| amphibia | <i>Dendropsophus nanus</i> | 0.017241379 | 10.33064063 | 1.1 | LC | 1 | 11.4 | 1.1 | 1.26 | 0.020862 |
| amphibia | <i>Dendropsophus sanborni</i> | 0.017241379 | 10.8424559 | 1.2 | LC | 1 | 17.8 | 1.2 | 1.35 | 0.024828 |
| reptilia | <i>Ditaxodon taeniatus</i> | 0.012658228 | 5.662769993 | 1 | VU | 1.25 | 4.8 | 1 | 1.36 | 0.015823 |
| reptilia | <i>Echinanthera cyanopleura</i> | 0.012658228 | 5.899051648 | 1.1 | LC | 1 | 13.2 | 1.1 | 1.18 | 0.015316 |
| amphibia | <i>Elachistocleis bicolor</i> | 0.017241379 | 12.69484547 | 1.2 | LC | 1 | 15.8 | 1.2 | 1.37 | 0.024828 |
| reptilia | <i>Epictia munoai</i> | 0.012658228 | 12.76538801 | 1.2 | LC | 1 | 18 | 1.2 | 1.4 | 0.018228 |
| reptilia | <i>Erythrolamprus almadensis</i> | 0.012658228 | 3.670439927 | 1 | LC | 1 | 4.9 | 1 | 1.05 | 0.012658 |
| reptilia | <i>Erythrolamprus jaegeri</i> | 0.012658228 | 3.915415207 | 1 | LC | 1 | 11 | 1.1 | 1.12 | 0.013924 |
| reptilia | <i>Erythrolamprus miliaris</i> | 0.012658228 | 4.026133668 | 1 | LC | 1 | 2.7 | 1 | 1.03 | 0.012658 |
| reptilia | <i>Erythrolamprus poecilogyrus</i> | 0.012658228 | 3.341020838 | 1 | LC | 1 | 4.7 | 1 | 1.04 | 0.012658 |
| reptilia | <i>Eunectes notaeus</i> | 0.012658228 | 9.846952115 | 1.1 | LC | 1 | 3.2 | 1 | 1.16 | 0.013924 |
| reptilia | <i>Gomesophis brasiliensis</i> | 0.012658228 | 7.35654466 | 1.1 | LC | 1 | 2.1 | 1 | 1.09 | 0.013924 |
| reptilia | <i>Helicops infrataeniatus</i> | 0.012658228 | 5.802927523 | 1.1 | LC | 1 | 12 | 1.1 | 1.17 | 0.015316 |
| reptilia | <i>Homonota uruguensis</i> | 0.012658228 | 18.3344414 | 1.3 | VU | 1.25 | 20.3 | 1.2 | 1.95 | 0.024684 |
| reptilia | <i>Hydrodynastes gigas</i> | 0.012658228 | 6.806939845 | 1.1 | LC | 1 | 1.1 | 1 | 1.07 | 0.013924 |
| reptilia | <i>Hydromedusa tectifera</i> | 0.012658228 | 45.20689918 | 1.8 | LC | 1 | 21.3 | 1.2 | 2.23 | 0.027342 |

| | | | | | | | | | | |
|----------|---|-------------|-------------|-----|----|------|------|-----|------|----------|
| amphibia | <i>Julianus uruguayus</i> | 0.017241379 | 27.54691872 | 1.5 | LC | 1 | 26.4 | 1.3 | 1.87 | 0.033621 |
| amphibia | <i>Leptodactylus chaquensis</i> | 0.017241379 | 18.68390589 | 1.3 | LC | 1 | 10.1 | 1.1 | 1.43 | 0.024655 |
| amphibia | <i>Leptodactylus furnarius</i> | 0.017241379 | 18.20097317 | 1.3 | LC | 1 | 4.7 | 1 | 1.35 | 0.022414 |
| amphibia | <i>Leptodactylus fuscus</i> | 0.017241379 | 15.06233881 | 1.2 | LC | 1 | 10.8 | 1.1 | 1.36 | 0.022759 |
| amphibia | <i>Leptodactylus gracilis</i> | 0.017241379 | 14.06841932 | 1.2 | LC | 1 | 17.3 | 1.2 | 1.42 | 0.024828 |
| amphibia | <i>Leptodactylus latinasus</i> | 0.017241379 | 18.20097317 | 1.3 | LC | 1 | 15.9 | 1.2 | 1.5 | 0.026897 |
| amphibia | <i>Leptodactylus latrans</i> | 0.017241379 | 18.73417271 | 1.3 | LC | 1 | 14.9 | 1.1 | 1.5 | 0.024655 |
| amphibia | <i>Leptodactylus mystacinus</i> | 0.017241379 | 19.17455481 | 1.3 | LC | 1 | 8.6 | 1.1 | 1.42 | 0.024655 |
| amphibia | <i>Podicipinus Limnomedusa</i> | 0.017241379 | 17.18897116 | 1.3 | LC | 1 | 1.2 | 1 | 1.28 | 0.022414 |
| amphibia | <i>macroglossa Liolaemus arambarensis</i> | 0.017241379 | 28.34662153 | 1.5 | LC | 1 | 29.5 | 1.3 | 1.94 | 0.033621 |
| reptilia | <i>Liolaemus occipitalis</i> | 0.012658228 | 3.85576122 | 1 | EN | 1.5 | 38.2 | 1.4 | 2.09 | 0.026582 |
| reptilia | <i>Liopholops ternetzi</i> | 0.012658228 | 5.58152055 | 1 | VU | 1.25 | 55 | 1.6 | 2.02 | 0.025316 |
| reptilia | <i>Lygophis anomalus</i> | 0.012658228 | 6.103469509 | 1.1 | LC | 1 | 22.3 | 1.2 | 1.29 | 0.016709 |
| reptilia | <i>Lygophis flavifrenatus Mastigodryas bifossatus</i> | 0.012658228 | 6.704893789 | 1.1 | LC | 1 | 23.2 | 1.2 | 1.31 | 0.016709 |
| reptilia | <i>Melanophryniscus atroluteus</i> | 0.017241379 | 12.97812754 | 1.2 | LC | 1 | 19.8 | 1.2 | 1.42 | 0.024828 |
| amphibia | <i>Melanophryniscus devincenzi</i> | 0.017241379 | 12.84348267 | 1.2 | LC | 1 | 26.3 | 1.3 | 1.5 | 0.026897 |
| amphibia | <i>Melanophryniscus dorsalis</i> | 0.017241379 | 12.97812754 | 1.2 | VU | 1.25 | 53.3 | 1.5 | 2.29 | 0.038793 |
| amphibia | <i>Melanophryniscus montevidensis</i> | 0.017241379 | 12.97812754 | 1.2 | NT | 1 | 33.2 | 1.3 | 1.59 | 0.026897 |
| amphibia | <i>pachyrhynus</i> | 0.017241379 | 21.36839071 | 1.4 | LC | 1 | 49.4 | 1.5 | 2.03 | 0.036207 |
| amphibia | <i>Melanophryniscus sanmartini</i> | 0.017241379 | 12.97812754 | 1.2 | LC | 1 | 36.4 | 1.4 | 1.62 | 0.028966 |
| reptilia | <i>Micrurus altirostris</i> | 0.012658228 | 6.083359776 | 1.1 | LC | 1 | 18.7 | 1.2 | 1.25 | 0.016709 |
| reptilia | <i>Micrurus silviae</i> | 0.012658228 | 5.358733051 | 1 | LC | 1 | 41.8 | 1.4 | 1.47 | 0.017722 |
| reptilia | <i>Notomabuya frenata Odontophrynus americanus</i> | 0.012658228 | 10.78893403 | 1.2 | LC | 1 | 3.6 | 1 | 1.18 | 0.01519 |
| amphibia | <i>Odontophrynus maisuma</i> | 0.017241379 | 10.49510656 | 1.1 | LC | 1 | 8.4 | 1.1 | 1.23 | 0.020862 |
| amphibia | <i>Oolygon aromothyella</i> | 0.017241379 | 17.23112901 | 1.3 | LC | 1 | 49 | 1.5 | 1.7 | 0.028448 |
| amphibia | <i>Oolygon berthae</i> | 0.017241379 | 23.42628003 | 1.4 | LC | 1 | 17.9 | 1.2 | 1.5 | 0.026897 |
| reptilia | <i>Ophiodes aff. striatus</i> | 0.012658228 | 12.06788767 | 1.2 | LC | 1 | 11.8 | 1.1 | 1.56 | 0.026552 |
| reptilia | <i>Ophiodes enso</i> | 0.012658228 | 11.72027275 | 1.2 | NA | 1.25 | 26.5 | 1.3 | 1.48 | 0.019747 |
| reptilia | <i>Ophiodes fragilis</i> | 0.012658228 | 12.17064498 | 1.2 | LC | 1 | 10.4 | 1.1 | 1.29 | 0.016709 |
| reptilia | <i>Oxyrhopus rhombifer Paraphimophis rusticus</i> | 0.012658228 | 4.848679286 | 1 | LC | 1 | 5.6 | 1.1 | 1.08 | 0.013924 |
| reptilia | <i>Phalotris lemniscatus</i> | 0.012658228 | 5.840791505 | 1.1 | LC | 1 | 11.6 | 1.1 | 1.16 | 0.015316 |
| reptilia | <i>Philodryas aestiva</i> | 0.012658228 | 3.86250873 | 1 | LC | 1 | 24 | 1.2 | 1.25 | 0.01519 |
| reptilia | <i>Philodryas agassizii</i> | 0.012658228 | 6.321070214 | 1.1 | LC | 1 | 11.4 | 1.1 | 1.17 | 0.015316 |
| reptilia | <i>Philodryas olfersii</i> | 0.012658228 | 7.184993535 | 1.1 | LC | 1 | 7.3 | 1.1 | 1.15 | 0.015316 |
| reptilia | <i>Philodryas patagoniensis</i> | 0.012658228 | 7.435807086 | 1.1 | LC | 1 | 5.3 | 1.1 | 1.13 | 0.015316 |

| | | | | | | | | | | |
|----------|-------------------------------------|-------------|-------------|-----|----|------|------|-----|------|----------|
| reptilia | <i>Phimophis aff. guerini</i> | 0.012658228 | 4.637991238 | 1 | LC | 1 | 17.1 | 1.2 | 1.19 | 0.01519 |
| reptilia | <i>Phrynops hilarii</i> | 0.012658228 | 52.63478129 | 2 | DD | 1.25 | 13.1 | 1.1 | 2.8 | 0.03481 |
| reptilia | <i>Phrynops williamsi</i> | 0.012658228 | 52.63478129 | 2 | DD | 1.25 | 17.8 | 1.2 | 2.92 | 0.037975 |
| amphibia | <i>Phyllomedusa iheringii</i> | 0.017241379 | 9.848337037 | 1.1 | LC | 1 | 39.1 | 1.4 | 1.57 | 0.026552 |
| amphibia | <i>Physalaemus biligonigerus</i> | 0.017241379 | 17.11016008 | 1.3 | LC | 1 | 12.9 | 1.1 | 1.43 | 0.024655 |
| amphibia | <i>Physalaemus cuvieri</i> | 0.017241379 | 12.39543844 | 1.2 | LC | 1 | 18.7 | 1.2 | 1.4 | 0.024828 |
| amphibia | <i>Physalaemus fernandezae</i> | 0.017241379 | 16.65770532 | 1.3 | LC | 1 | 1.9 | 1 | 1.28 | 0.022414 |
| amphibia | <i>Physalaemus gracilis</i> | 0.017241379 | 14.47103841 | 1.2 | LC | 1 | 25 | 1.3 | 1.52 | 0.026897 |
| amphibia | <i>Physalaemus henselii</i> | 0.017241379 | 16.65770532 | 1.3 | LC | 1 | 32.7 | 1.3 | 1.68 | 0.029138 |
| amphibia | <i>Physalaemus lisei</i> | 0.017241379 | 16.65770532 | 1.3 | LC | 1 | 44.9 | 1.4 | 1.84 | 0.031379 |
| amphibia | <i>Physalaemus</i> | | | | | | | | | |
| amphibia | <i>riograndensis</i> | 0.017241379 | 16.15144621 | 1.3 | LC | 1 | 26.3 | 1.3 | 1.58 | 0.029138 |
| amphibia | <i>Pleurodema bibroni</i> | 0.017241379 | 14.65671441 | 1.2 | LC | 1 | 27.4 | 1.3 | 1.56 | 0.026897 |
| amphibia | <i>Pseudis minuta</i> | 0.017241379 | 19.19494941 | 1.3 | LC | 1 | 33.4 | 1.3 | 1.76 | 0.029138 |
| amphibia | <i>Pseudopaludicola falcipes</i> | 0.017241379 | 27.36106218 | 1.5 | LC | 1 | 14.5 | 1.1 | 1.69 | 0.028448 |
| reptilia | <i>Psomophis obtusus</i> | 0.012658228 | 8.734442782 | 1.1 | LC | 1 | 21.6 | 1.2 | 1.34 | 0.016709 |
| reptilia | <i>Ptychophis flavovirgatus</i> | 0.012658228 | 5.88743163 | 1.1 | LC | 1 | 14.5 | 1.1 | 1.2 | 0.015316 |
| amphibia | <i>Rhinella abei</i> | 0.017241379 | 9.220120484 | 1.1 | LC | 1 | 10 | 1.1 | 1.22 | 0.020862 |
| amphibia | <i>Rhinella achavali</i> | 0.017241379 | 6.661678666 | 1.1 | LC | 1 | 30.9 | 1.3 | 1.39 | 0.024655 |
| amphibia | <i>Rhinella arenarum</i> | 0.017241379 | 5.823977321 | 1.1 | LC | 1 | 23.7 | 1.2 | 1.29 | 0.022759 |
| amphibia | <i>Rhinella azarae</i> | 0.017241379 | 9.220120484 | 1.1 | LC | 1 | 29.7 | 1.3 | 1.45 | 0.024655 |
| amphibia | <i>Rhinella dorbignyi</i> | 0.017241379 | 9.220120484 | 1.1 | LC | 1 | 35.3 | 1.4 | 1.51 | 0.026552 |
| amphibia | <i>Rhinella fernandezae</i> | 0.017241379 | 9.220120484 | 1.1 | LC | 1 | 17 | 1.2 | 1.3 | 0.022759 |
| amphibia | <i>Rhinella henseli</i> | 0.017241379 | 9.220120484 | 1.1 | LC | 1 | 26.1 | 1.3 | 1.4 | 0.024655 |
| amphibia | <i>Rhinella icterica</i> | 0.017241379 | 5.837467045 | 1.1 | LC | 1 | 25.9 | 1.3 | 1.32 | 0.024655 |
| amphibia | <i>Rhinella schneideri</i> | 0.017241379 | 6.262169997 | 1.1 | LC | 1 | 6 | 1.1 | 1.11 | 0.020862 |
| reptilia | <i>Salvator merianae</i> | 0.012658228 | 17.0949097 | 1.3 | LC | 1 | 10.1 | 1.1 | 1.4 | 0.018101 |
| amphibia | <i>Scinax fuscovarius</i> | 0.017241379 | 15.54580897 | 1.2 | LC | 1 | 13.3 | 1.1 | 1.4 | 0.022759 |
| amphibia | <i>Scinax granulatus</i> | 0.017241379 | 17.23112901 | 1.3 | LC | 1 | 29.9 | 1.3 | 1.66 | 0.029138 |
| amphibia | <i>Scinax nasicus</i> | 0.017241379 | 13.81561982 | 1.2 | LC | 1 | 11.3 | 1.1 | 1.34 | 0.022759 |
| amphibia | <i>Scinax squalirostris</i> | 0.017241379 | 21.4019138 | 1.4 | LC | 1 | 11.6 | 1.1 | 1.51 | 0.026552 |
| amphibia | <i>Scinax tymbamirim</i> | 0.017241379 | 17.23112901 | 1.3 | LC | 1 | 28.4 | 1.3 | 1.64 | 0.029138 |
| reptilia | <i>Sibynophorus aff. neuwiedi</i> | 0.012658228 | 5.383654504 | 1 | LC | 1 | 40.7 | 1.4 | 1.46 | 0.017722 |
| reptilia | <i>Sibynophorus ventrimaculatus</i> | 0.012658228 | 5.222149456 | 1 | LC | 1 | 14.9 | 1.1 | 1.19 | 0.013924 |
| amphibia | <i>Siphonops paulensis</i> | 0.017241379 | 34.4274552 | 1.6 | LC | 1 | 3.8 | 1 | 1.68 | 0.027586 |
| reptilia | <i>Spilotes pullatus</i> | 0.012658228 | 10.57422501 | 1.1 | LC | 1 | 3.2 | 1 | 1.17 | 0.013924 |
| reptilia | <i>Stenocercus azureus</i> | 0.012658228 | 11.82767866 | 1.2 | EN | 1.5 | 20.6 | 1.2 | 2.11 | 0.027342 |
| reptilia | <i>Taeniophallus occipitalis</i> | 0.012658228 | 5.642082071 | 1 | LC | 1 | 3.8 | 1 | 1.08 | 0.012658 |
| reptilia | <i>poecilopogon</i> | 0.012658228 | 5.64785151 | 1 | LC | 1 | 21.7 | 1.2 | 1.27 | 0.01519 |
| reptilia | <i>Teius oculatus</i> | 0.012658228 | 17.47654406 | 1.3 | LC | 1 | 10.7 | 1.1 | 1.41 | 0.018101 |
| reptilia | <i>Thamnodynastes hypoconia</i> | 0.012658228 | 4.193194536 | 1 | LC | 1 | 8.2 | 1.1 | 1.09 | 0.013924 |
| reptilia | <i>Thamnodynastes strigatus</i> | 0.012658228 | 4.473225137 | 1 | LC | 1 | 13.7 | 1.1 | 1.16 | 0.013924 |

| | | | | | | | | | | |
|----------|---------------------------|-------------|-------------|-----|----|------|------|-----|------|----------|
| reptilia | <i>Tomodon dorsatus</i> | 0.012658228 | 3.543268656 | 1 | LC | 1 | 12.7 | 1.1 | 1.12 | 0.013924 |
| reptilia | <i>Tomodon ocellatus</i> | 0.012658228 | 3.454964279 | 1 | LC | 1 | 18.4 | 1.2 | 1.18 | 0.01519 |
| reptilia | <i>Trachemys dorbigni</i> | 0.012658228 | 7.854604612 | 1.1 | NT | 1 | 28.9 | 1.3 | 1.4 | 0.018101 |
| amphibia | <i>mesophaeus</i> | 0.017241379 | 11.17098047 | 1.2 | LC | 1 | 11.4 | 1.1 | 1.28 | 0.022759 |
| | <i>Tropidurus</i> | | | | | | | | | |
| reptilia | <i>catalanensis</i> | 0.012658228 | 7.247304354 | 1.1 | LC | 1 | 13.3 | 1.1 | 1.21 | 0.015316 |
| reptilia | <i>Xenodon dorbignyi</i> | 0.012658228 | 4.16371247 | 1 | LC | 1 | 14.1 | 1.1 | 1.15 | 0.013924 |
| reptilia | <i>Xenodon histicus</i> | 0.012658228 | 3.674703557 | 1 | DD | 1.25 | 11.5 | 1.1 | 1.39 | 0.017405 |
| reptilia | <i>Xenodon merremii</i> | 0.012658228 | 4.173793424 | 1 | LC | 1 | 2.6 | 1 | 1.03 | 0.012658 |
| reptilia | <i>Xenodon neuwiedii</i> | 0.012658228 | 6.009466786 | 1.1 | LC | 1 | 5.4 | 1.1 | 1.1 | 0.015316 |

Apêndice II

Tabela 1.: Sistemas ecológicos com ocorrência no bioma Pampa e quantificação das área de remanescentes pertencentes, da média dos esquemas de priorização e da área protegida por unidades de conservação de uso sustentável (US) e de proteção integral (PI).

| Sistema Ecológico | Remanescente florestal | Áreas úmidas não florestais | Remanescentes camprestres | Afloramento rochoso | Dunas | Área total sistema | Área total remanescentes | remanescentes (%) | Priorização répteis | Priorização anfíbios | Área protegida US | proteção US (%) | Área protegida PI | proteção PI (%) |
|--|------------------------|-----------------------------|---------------------------|---------------------|-------|--------------------|--------------------------|-------------------|---------------------|----------------------|-------------------|-----------------|-------------------|-----------------|
| Campo com espinilho | 719 | 145 | 6450 | 0 | 0 | 13923 | 7314 | 52.5 | 0.690 | 0.696 | 0 | 0.00 | 60 | 0.43 |
| Campo arbustivo | 6188 | 86 | 21122 | 11 | 1 | 30195 | 27407 | 90.8 | 0.301 | 0.451 | 2 | 0.01 | 36 | 0.12 |
| Campo com barba de bode | 2889 | 872 | 10531 | 0 | 0 | 20930 | 14292 | 68.3 | 0.457 | 0.712 | 0 | 0.00 | 0 | 0.00 |
| Campos do cristalino oriental | 83 | 19 | 848 | 0 | 0 | 1162 | 950 | 81.7 | 0.627 | 0.218 | 0 | 0.00 | 0 | 0.00 |
| Campo graminoso | 465 | 10 | 7813 | 4 | 4 | 11530 | 8296 | 72.0 | 0.254 | 0.063 | 0 | 0.00 | 2 | 0.01 |
| Campo de solos rasos | 568 | 18 | 11506 | 0 | 0 | 13729 | 12092 | 88.1 | 0.721 | 0.333 | 2433 | 17.72 | 0 | 0.00 |
| Campo misto de andropogoneas e compostas | 4380 | 1553 | 18226 | 1273 | 1272 | 31038 | 26704 | 86.0 | 0.473 | 0.351 | 1791 | 5.77 | 171 | 0.55 |
| Campo com areais | 376 | 23 | 2476 | 0 | 0 | 4651 | 2876 | 61.8 | 0.719 | 0.614 | 0 | 0.00 | 0 | 0.00 |
| Floresta estacional | 3131 | 49 | 3672 | 1 | 0 | 8773 | 6854 | 78.1 | 0.264 | 0.555 | 0 | 0.00 | 0 | 0.00 |
| Campo litorâneo | 1711 | 2198 | 5828 | 21 | 592 | 22835 | 10350 | 45.3 | 0.746 | 0.756 | 14 | 0.06 | 858 | 3.76 |
| Outras | 1589 | 923 | 2418 | 819 | 827 | 6949 | 6577 | 94.6 | 0.541 | 0.466 | 1 | 0.02 | 10 | 0.14 |

Tabela 2. Unidades de conservação e médias dos valores de priorização nos esquemas de anfíbios e répteis.

| Ucs Uso sustentavel | repteis média | anfibios média |
|---------------------|---------------|----------------|
|---------------------|---------------|----------------|

| | zonation | zonation |
|---|------------|-----------|
| Reserva Particular do patrimônio natural estadual barba negra | 0.98449183 | 0.6389602 |
| Area de proteção ambiental da lagoa verde | 0.8762691 | 0.8214883 |
| Area de proteção ambiental estadial delta do jacuí | 0.96887201 | 0.6643981 |
| Area de proteção ambiental ibirapuitã | 0.71974061 | 0.3004809 |
| Reserva Particular do patrimônio natural boa vista | 0.09812563 | 0.7433895 |
| Reserva Particular do patrimônio natural farroupilha | 0.45397747 | 0.603481 |
| Area de proteção do banhado grande | 0.523368 | 0.6970078 |
| Reserva Particular do patrimônio natural rincão das flores | 0.54858863 | 0.9966529 |

Ucs Proteção integral

| | | |
|--|-----------|------------|
| Reserva Biológica São Donato | 0.7443192 | 0.52110528 |
| Estação Ecológica do Taim | 0.9128696 | 0.83614861 |
| Refúgio da vida silvestre banhado dos pacheco | 0.4737253 | 0.5202499 |
| Parque estadual do podocarpus | 0.4253598 | 0.82405445 |
| parque estadual de itapeva | 0.8897133 | 0.99364051 |
| Reserva Biológica bioma pampa | 0.3321432 | 0.15485886 |
| Parque estadual da lagoa do peixe | 0.9707836 | 0.95401094 |
| Reserva biologica do Ibirapuitã | 0.7358771 | 0.24753617 |
| Refúgio da vida silvestre banhado do maçarico | 0.8167355 | 0.69755661 |
| Parque estadual de itapuã | 0.8853062 | 0.62707797 |
| Parque estadual delta do jacuí | 0.8704197 | 0.71788783 |
| Reserva biológica do mato grande | 0.681617 | 0.53557217 |
| Parque natural municipal banhado da imperatriz | 0.6111235 | 0.7366953 |
| parque natural municipal do pampa | 0.1954703 | 0.07307821 |
| parque natural municipal Saint Hilaire | 0.6417494 | 0.85663283 |
| Parque estadual do espinilho | 0.9551489 | 0.67901373 |
| parque estadual do camaquã | 0.7215696 | 0.7329338 |
| monumento natural municipal capão da amizade | 0.5143367 | 0.59310496 |